

Івано-Франківський національний технічний університет нафти і газу
Інститут інженерної механіки та робототехніки
Кафедра комп'ютеризованого машинобудування

Вірстюк Андрій Богданович
(прізвище, ім'я, по батькові)

УДК 621

МАГІСТЕРСЬКА РОБОТА

Технологічний процес виготовлення деталі «Стойка КО-8.04.00.004»
(назва роботи)

для умов середньосерійного типу виробництва

Комп'ютеризовані та роботизовані технології машинобудування
(назва освітньої програми)

131 Прикладна механіка
(шифр і назва спеціальності)

А.Б. Вірстюк

(підпис, ініціали та прізвище здобувача освітнього ступеня)

Науковий керівник Шуляр Ірина Орестівна, к.т.н., доц.
(прізвище, ім'я, по батькові, науковий ступень, вчене звання)

Допущено до захисту

Завідувач кафедри

Проф. В.Г. Панчук
(посада) (підпис) (дата) (ініціали та прізвище)

Рецензент

(посада) (підпис) (дата) (ініціали та прізвище)

Робота містить результати власних досліджень. Використання ідей, результатів і текстів інших авторів мають посилання на відповідне джерело

Івано-Франківськ - 2024 р.

Івано-Франківський національний технічний університет нафти і газу

(повне найменування закладу вищої освіти)

Інститут інженерної механіки та робототехніки

Кафедра комп'ютеризованого машинобудування

Освітній рівень Магістр

Спеціальність 131 - Прикладна механіка

(шифр і назва)

ЗАТВЕРДЖУЮ

Завідувач кафедри _____

« ____ » _____ 20__ року

**З А В Д А Н Н Я
НА МАГІСТЕРСЬКУ РОБОТУ СТУДЕНТОВІ**

Вірстюк Ануріто Іванович

(прізвище, ім'я, по батькові)

1. Тема роботи Технологічний процес виготовлення деталі «Стійка К0-08-04.004» для чов середньосерійного типу виробництва

керівник роботи Шульц Ірина Арестівна канд. техн. наук

(прізвище, ім'я, по батькові, науковий ступінь, вчене звання)

затверджені наказом закладу вищої освіти від "22" листопада 2024 року № 780/4

2. Строк подання студентом роботи 12 грудня 2024 року

3. Вихідні дані до роботи 1. Креслення деталі

1. Матеріал передувальної практики

3. Тип виробництва - середньосерійний

4. Зміст розрахунково-пояснювальної записки (перелік питань, які потрібно розробити)

1. Технологічна частинка

2. Конструкторська частинка

3. Імітаційне моделювання критичної ланки фрезерного пристрою

5. Перелік графічного матеріалу (з точним зазначенням обов'язкових креслень)

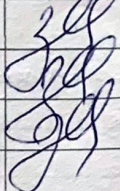



1. Карта розроблення - аркуш F2-A1 2. Розрахунково технологічна карта F2-A1

3. Атлас технології обробки F2-A1 4. Інструцій фрезерний з невстановленим

F2-A1 5. Конструктивні умовності F2-A1 6. Імітаційне моделювання

критичної ланки F2-A1

6. Консультанти розділів роботи

Розділ	Прізвище, ініціали та посада консультанта	Підпис, дата	
		завдання видав	завдання прийняв
1	Шуляр І.О. доцент кафедр КМВ		
2	Шуляр І.О. доцент кафедр КМВ		
3	Шуляр І.О. доцент кафедр КМВ		

7. Дата видачі завдання 25 листопада 2024

КАЛЕНДАРНИЙ ПЛАН

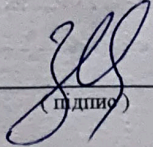
№ з/п	Назва етапів магістерської роботи	Термін виконання етапів роботи	Примітка
1	Технологія ветики	28.11.2024	
2	Конструкторська частинка	02.12.2024	
3	Ініціативне моделювання критичної ланки фрезерною пристроєм	06.12.2024	
4	Оформлення пояснювальної частинки та графічної частинки магістерської роботи	11.12.2024	

Студент


(підпис)

Вісентин Л. І.
(прізвище та ініціали)

Керівник роботи


(підпис)

Шуляр І.О.
(прізвище та ініціали)

РЕФЕРАТ

кваліфікаційної магістерської роботи на тему: Технологічний процес виготовлення деталі “Стойка КО-8.04.00.004” для умов середньо-серійного типу виробництва”.

Розрахунково-пояснювальна записка складається з 63 сторінок і містить: 12 таблиць, 18 рисунків, 18 посилання на літературні джерела та додатків на 7 сторінках.

Графічна частина: 7 аркушів формату А1.

Об’єкт дослідження – процес механічної обробки.

Предмет дослідження – деталь “Стойка КО-8.04.00.004”.

Мета роботи – розробити покращений маршрут технологічного процесу виготовлення стойки КО-8.04.00.004, на базі заводського, що здешевить її виготовлення, з дотриманням вимог щодо точності розмірів, форм та якості поверхонь. Також необхідно розробити конструкції верстатного та контрольного пристроїв, та перевірити їх працездатність.

Згідно завдання у роботі проведено аналіз креслення деталі, її конструкції, призначення і функцій у вузлі, аналіз заводського технологічного процесу її виготовлення. Опираючись на результати аналізу та рекомендації літературних джерел, розроблено проектний маршрут технологічного процесу механічної обробки корпусу, вибрано оптимальний спосіб отримання заготовки, пораховано припуски, режими різання та проведено нормування операцій. Для закріплення деталі на фрезерній операції з ЧПК (005) розроблено конструкцію спеціального верстатного пристрою із пневмоприводом, зроблено його складальне креслення та перевірено працездатність (розрахунки проведенні в 2-му та 3-му розділах пояснювальної записки), також сконструйовано контрольний пристрій і теж перевірено його працездатність.

Результати роботи можуть бути використані в машинобудівній галузі.

Ключові слова: *деталь, заготовка, операція, технологічний маршрут, обладнання, пристрій, інструмент, режими різання, сила різання.*

Студент: Вірстюк А.Б.

SUMMARY

of the qualification master's thesis on the topic: Technological process of manufacturing the part «Rack KO-8.04.00.004» for medium-sized batch production.

The explanatory note consists of 63 pages and contains: 12 tables, 18 figures, 18 references to literary sources and 7 pages of appendices.

Graphic part: 7 sheets of A1 format.

Object of study - the process of machining.

The subject of research is the part «Stand KO-8.04.00.004».

The purpose of the work is to develop an improved route of the technological process of manufacturing the KO-8.04.00.004 rack, based on the factory one, which will reduce the cost of its manufacture, in compliance with the requirements for dimensional accuracy, shape and surface quality. It is also necessary to develop designs for machine tools and control devices and test their performance.

In accordance with the task, the paper analyses the drawing of the part, its design, purpose and functions in the assembly, and analyses the factory technological process of its manufacture. Based on the results of the analysis and recommendations of literature sources, a design route for the technological process of machining the hull was developed, the optimal method of obtaining the workpiece was selected, allowances and cutting modes were calculated, and operations were rationed. To fix the workpiece in the CNC milling operation (005), a special machine tool device with a pneumatic drive was designed, its assembly drawing was made and its performance was tested (calculations were carried out in the 2nd and 3rd sections of the explanatory note), and a control device was designed and its performance was also tested.

The results of the work can be used in the machine-building industry.

Keywords: *part, workpiece, operation, technological route, equipment, device, tool, cutting modes, cutting force.*

Student: Virstyuk A.B.

Зміст

Вступ.....	
1 Технологічна частина	
1.1 Аналіз призначення та конструкції деталі	
1.2 Аналіз технологічності деталі	
1.3 Визначення програми випуску деталей і кількості деталей партії	
1.4 Розробка технологічного маршруту виготовлення деталі	
1.4.1 Техніко-економічне обґрунтування вибору заготовки	
1.4.2 Аналіз базового технологічного процесу	
1.4.3 Обґрунтування вибору технологічних баз	
1.5 Розробка операційної технології	
1.5.1 Розрахунок припусків на механічну обробку і визначення технологічних розмірів	
1.5.2 Розрахунок режимів різання і вибір верстатів	
1.5.3 Розробка структури операцій, технологічних налагоджень та керуючих програм	
1.5.4 Аналіз точності обробки поверхні в розмір $320_{-0,36}$ мм.....	
1.5.5 Нормування технологічного процесу	
2 Конструкторська частина	
2.1 Розробка пристрою на фрезерну операцію з ЧПК 005.....	
2.1.1 Опис призначення, будови та роботи пристрою	
2.1.2 Розрахунок сил затиску і визначення основних параметрів механізму затиску	
2.1.3 Розрахунок слабкої ланки на міцність	
2.1.4 Розрахунок пристрою на точність	
2.1.5 Розрахунок коефіцієнту уніфікації.....	

					МР.ПМК – 628.00.00.000 ПЗ					
Зм.	Лист	№ Докум.	Підпис	Дата	Пояснювальна записка			Літ.	Арк.	Аркушів
Розроб.		Вірстюк А.Б.								
Перевір.		Шуляр І.О.								
Реценз.										
Н. Контр.		Шуляр І.О.								
Затверд.		Панчук В.Г.						ІФНТУНГ, ПМКм-23-1		

2.2 Розробка контрольного пристрою	
2.2.1 Опис призначення, будова і робота пристрою	
2.2.2 Розрахунок точності пристрою	
2.2.3 Розрахунок коефіцієнту уніфікації.....	
3 Імітаційне моделювання притискної ланки фрезерного пристрою	
Висновки	
Список посилань на джерела	
Додатки	

					МР.ПМК – 628.00.000 ПЗ	Арк.
Змн.	Арк.	№ докум.	Підпис	Дата		

Вступ

Машинобудування займає одне з провідних місць в розвитку економіки нашої країни. Ця галузь забезпечує матеріальну основу науково-технічного прогресу всіх галузей народного господарства. Саме тому розвитку машинобудування повинно надаватися велике значення.

Важливими умовами розвитку машинобудування, як і будь-якої галузі, є випуск конкурентоздатної продукції, підвищення її якості, зростання продуктивності праці. Вдосконалення технологічних методів виготовлення машин має при цьому першочергове значення. Якість машин, надійність, довговічність і економічність в експлуатації залежить не тільки від досконалості, але і від технології виробництва. Використання прогресивних високопродуктивних методів обробки, які забезпечують високу точність і якість поверхонь, покращуючи ресурс роботи деталей, методів ефективного використання метало оброблюваних верстатів, іншої нової техніки, застосування прогресивних форм організації виробничих процесів - все це направлене на вирішення головних завдань: підвищення ефективності виробництва і якості продукції .

Ринкові відносини підсилюють тенденцію випуску високоефективних машин і устаткування, оснащеними роботизованими приладами та мікропроцесорами. В сучасних технологічних процесах передбачається: концентрація операцій з використанням багато цільових верстатів, застосування комбінованого і високопродуктивного різального інструменту багатозмінних головок, застосування групової обробки.

Для підвищення продуктивності праці та покращення експлуатаційних властивостей виробу важливе значення має правильний вибір матеріалу для виготовлення та способу отримання заготовок. Від точності та шорсткості базових поверхонь цих деталей, показників поверхневого шару, в значній мірі буде залежати якість виготовлених виробів.

					MP.ПМК-628.00.000 ПЗ	Арк.
Змн.	Арк.	№ докум.	Підпис	Дата		

1 Технологічна частина

1.1 Аналіз призначення та конструкції деталі

Деталь «Стойка КО-8.04.00.004» застосовується в механізмі керування нитководами на круглов'язальній машині моделі КО-8. Круглов'язальна машина КО-8 призначена для отримання трикотажного полотна .

Механізм керування нитководами призначений для забезпечення спрямування необхідного волокна в в'язальній машині. Стійка в механізмі керування нитководами використовується для створення робочого об'єму механізму, а також з'єднує між собою нитковід, механізм керування нитководом і корпус в'язального вузла поверхні М і Е є базовими поверхнями деталі. Поверхнею Е та за допомогою двох отворів $\varnothing 14$ мм деталь кріпиться до корпусу в'язального вузла. До поверхні М приєднується ниткопровід за допомогою двох отворів 14мм. Пластинки призначені для забезпечення з'єднання стійки з ниткопроводом і корпусом в'язального вузла за допомогою болтів, шайб та гайок. Оглядовий отвір служить для періодичного контролю роботи механізму керування нитководами. За допомогою шести різьбових отворів М4 оглядовий отвір закривається кришкою з оргскла. За допомогою різьбового отвору М5 до стійки кріпиться тяга. В отвір діаметром 20мм розміщується вісь штовхача механізму керування нитководом. Для перемикачання режимів подач волокон в в'язальний вузол в пазі з радіусом 11мм знаходиться упор перемикача .

Всі навантаження, які діють на стійку сталі і направлені перпендикулярно до поверхонь М , Е. Виходячи з експлуатаційних умов та технічних вимог деталь «Стойка КО-8.04.00.004» виготовляється із сірого чавуну СЧ25 ГОСТ1412-85. ГОСТ1412-85 в даний момент не є діючим, замінений на ДСТУ 8833:2019.

Дані про хімічний склад і механічні властивості даного матеріалу наведені в таблицях 1.1-1.2 (1, с. 313, таблиця 3.11, с. 316 таблиця 3.121)

					МП.ПМК-628.00.000 ПЗ	Арк.
Змн.	Арк.	№ докум.	Підпис	Дата		

Таблиця 1.1 Хімічний склад чавуну СЧ25 (ДСТУ 8833:2019),%

Вуглець С	Кремній SI	Марганець Mn	Не більше	
			Сірка ,S	Фосфор ,P
3,5-3,7	2,0-2,4	0,5-0,8	0,2	0,15

Таблиця 1.2 – Механічні властивості СЧ 25 (ДСТУ 8833:2019).

Тимчасовий опір розриву σ_B , МПа	Твердість по Брінелю НВ	Покази після старіння , $t=280^\circ\text{C}$		
		Час витримки	Твердість по Брінелю НВ	Тимчасовий опір розриву σ_B , МПа
245	180-250	3 години	225	262

Отже, сірий чавун СЧ 25 ДСТУ 8833:2019 за своїми механічними властивостями, хімічному складу та області застосування підібрано правильно для забезпечення технологічних вимог та експлуатаційних умов роботи деталі.

1.2 Аналіз технологічності деталі.

«Стойка КО-8.04.00.004» представляє собою вилівок коробчастої форми із сірого чавуну СЧ25. Вилівок складної конфігурації, потребує застосування стержневої формовки для утворення внутрішньої порожнини вікна. Крім того, в опоці повинні бути передбаченні роз'єми виходячи з наявності у деталі виступів і заглиблень.

З точки зору механічної обробки деталь має наступні недоліки відносно технологічності.

Деталь має незручні поверхні для базування на перших операціях. Незручними для обробки є платики 3 та різьбовий отвір М5.

Для витримування вказаних допустимих відхилень розмірів, шорсткості та просторових відхилень геометричної форми і взаємного розташування поверхонь потрібні верстати нормальної точності .

Більшість поверхонь мають плоску або циліндричну форму і можуть оброблятися стандартизованими різьбовими інструментами . Переважну більшість поверхонь можна обробити напрохід .

					MP.ПМК-628.00.000 ПЗ	Арк.
Змн.	Арк.	№ докум.	Підпис	Дата		

З точки зору забезпечення шорсткості поверхонь деталь не представляє технологічних труднощів, а з точки зору забезпечення точності представляє складність обробки в розмір (320_{-0,36})мм та забезпечення паралельності поверхонь Ж і Е в межах допуску 0,05мм.

Для перевірки геометричних параметрів деталі необхідні контрольні операції. Переважну кількість поверхонь можна контролювати стандартним вимірювальним інструментом, за виключенням поверхонь Ж і Е, які потребують використання нестандартного вимірювального інструменту для контролю забезпечення паралельності цих поверхонь. Всі вказані на креслені розміри, можливо виміряти безпосередньо.

Порівняно невелика маса деталі (6,2 кг); та її конфігурація дозволяють транспортувати її без особливих витрат під час транспортних операцій.

В загальному деталь не досить технологічна, так як поверхні розміщені не під прямими кутами, що ускладнює пристосування для обробки даної деталі.

1.3 Визначення програми випуску деталей і кількості деталей партії

Таблиця 1.3 – Трудомісткість операцій

Номер і назва операції		Т _{шт.к.} , хв
005	горизонтально-фрезерна	6,17
010	поздовжньо-фрезерна	5,2
015	поздовжньо-фрезерна	6,84
020	радіально-свердлильна	6,42
025	радіально-свердлильна	4,86
030	радіально-свердлильна	2,92
035	горизонтально-фрезерна	2,39
040	контрольна	

$$\text{Середній штучний час: } T_{\text{шт.к.сер.}} = \Sigma T_{\text{шт.к.}} / n \quad (1.1)$$

$$T_{\text{шт.к.сер.}} = (6,17 + 5,2 + 6,84 + 6,42 + 4,86 + 2,92 + 2,39) / 7 = 4,97 \text{ хв.}$$

Такт випуску деталей:

$$t_0 = K_2 \cdot T_{\text{шт.к.сер.}} \quad (1.2)$$

					MP.ПМК-628.00.000 ПЗ	Арк.
Змн.	Арк.	№ докум.	Підпис	Дата		

$K_3 = 10 \dots 20$ – для серійного виробництва

$$t_B = 10 \cdot 4,97 \dots 20 \cdot 4,97 = 49,7 \dots 99,4$$

Річна програма випуску деталей:

$$N = \frac{F_\delta \cdot 60}{t_g} \quad (1.3)$$

де F_δ - дієний річний фонд рокового часу устаткування годин,

$$F_\delta = 4015 \text{ год.}$$

$$N = \frac{4015 \cdot 60}{2,5} \dots \frac{4015 \cdot 60}{99,4} = 8452 \dots 2423, \text{ приймаємо } N=3000 \text{ шт.}$$

Розрахункова кількість деталей в партії:

$$n_\delta = \frac{N \cdot a}{F} \quad (1.4)$$

де, a – періодичність запуску виробів.

Приймаємо $a=6$

F – число робочих днів в році $F = 251$ день.

$$n_\delta = \frac{3000 \cdot 12}{251} = 141,7$$

Розрахункове число змін на обробку партії деталей:

$$n = \frac{T_{шк.сер} \cdot n_\delta}{480 \cdot 0,8} \quad (1.5)$$

де, 480 – дійсний фонд часу робочого обладнання за зміну, год.

0,8 – нормативний коефіцієнт завантаження верстатів у серійному виробництві

$$C = \frac{4,97 \cdot 141,7}{480 \cdot 0,8} = 1,85, \text{ приймаємо } C_{пр} = 2 \text{ зміни}$$

Прийняти кількість деталей в партії

$$n_{пр} = \frac{C_{пр} \cdot 480 \cdot 0,8}{T_{шт.сер.}} = \frac{2 \cdot 480 \cdot 0,8}{4,97} = 159,5 \text{ шт}$$

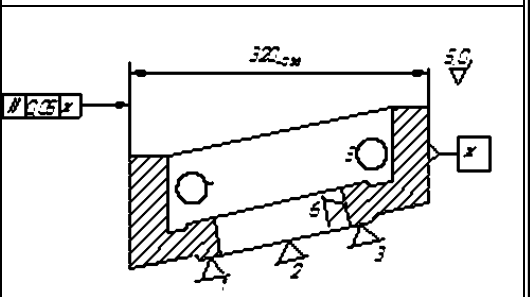
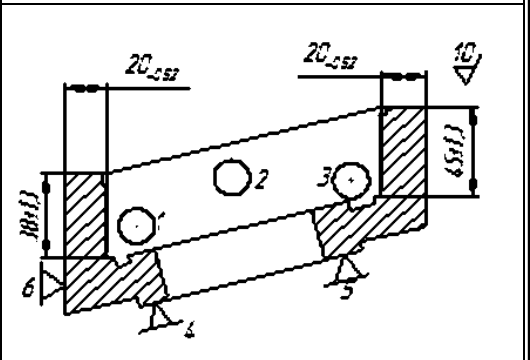
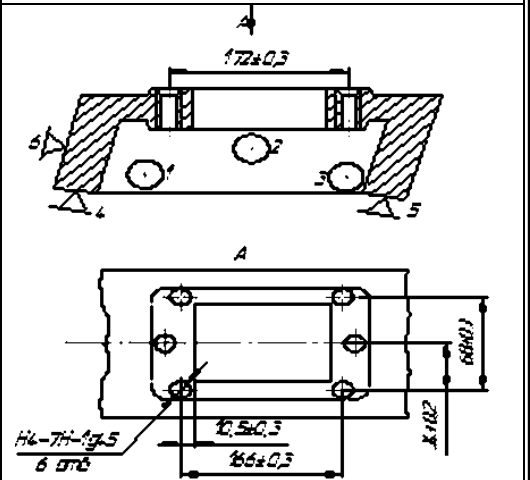
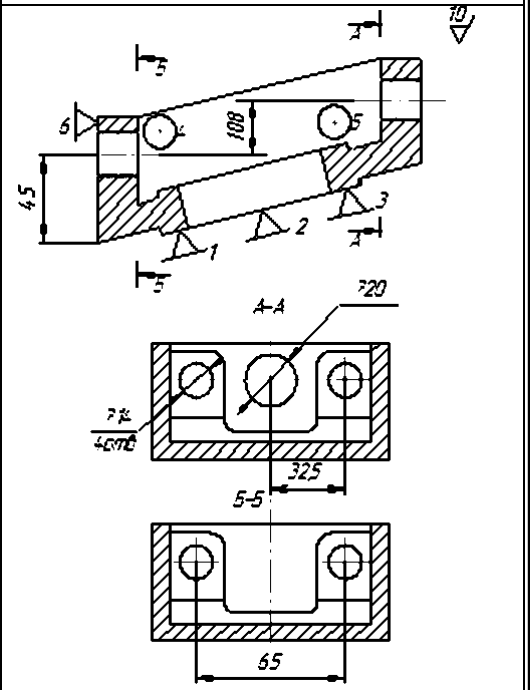
Приймаємо $n_\delta = 160$ шт.

Арк.

MP.ПМК-628.00.000 ПЗ

Змн. Арк. № докум. Підпис Дата

Продовження таблиці 1.3

1	2	3	4
<p>010 Поздовжньо-фрезерна. Фрезерувати одночасно поверхні М і Е</p>	<p>Поздовжньо-фрезерний мод. 6608</p>	<p>Пристрій спеціальний, фреза торцева, \varnothing 160 мм, ВК8, ГОСТ 9473-80, Штангенрейсмас ШР-630-0,05 ГОСТ 164-80</p>	
<p>015 Поздовжньо-фрезерна. Фрезерувати послідовно поверхні 4-ьох платиків поверхні З.</p>	<p>Поздовжньо-фрезерний мод. 6608.</p>	<p>Пристрій спеціальний, фреза кінцева діаметром 20мм, Р6М5 штангенциркуль ШЦ-2-160-0,05 ГОСТ 166-02-80.</p>	
<p>020 Радіально-свердлильна. Послідовна обробка отворів 7.</p>	<p>Радіально-свердлильний мод. 2А53.</p>	<p>Кондуктор спеціальний Свердло \varnothing3,3мм, Р6М5 ГОСТ 10902-77 Зенковка \varnothing16x3 мм Р6М5 ГОСТ 0151-79, Мітчик М4x0,7 ГОСТ 3266-81 Штангенциркуль ШЦ-2-250-0.05 ГОСТ 166-80, Пробка N4x0,7, ГОСТ 17758-72</p>	
<p>025 Радіально-свердлильна. Послідовна обробка отворів 4</p>	<p>Радіально-свердлильний моделі 2А53</p>	<p>Кондуктор спеціальний, свердла спіральні \varnothing14 мм, 20мм Р6М5 ГОСТ 10903-77, Зенковка \varnothing22x4мм Р6М5 ГОСТ 0151-79 Штангенциркуль ШЦ-2-160-0,05 ГОСТ 166-80</p>	

Змн.	Арк.	№ докум.	Підпис	Дата

МР.ПМК-628.00.000 ПЗ

Арк.

Продовження таблиці 1.3

1	2	3	4
030 Радіально-свердлильна. Послідовна обробка різьбового отвору 9, по розмітці.	Радіально-свердлильний моделі 2А53	Свердло спіральне Ø 4,2 мм Р6М5 ГОСТ 10902-77, Зенковка Р6М5 Ø16х3мм ГОСТ 151-79 Мітчик М5х0,8	
040 Контрольна	Стіл ВТК		

Аналіз базового технологічного процесу проводимо з точки зору забезпечення продуктивності виробництва і якості продукції. Верстатне оснащення використане стандартизоване, універсальне, універсально-складальне і спеціальне з ручним затиском. Перевагою цього оснащення є простота в експлуатації, недоліки-збільшені витрати допоміжного часу на закріплення і відкріплення заготовок.

Різальний інструмент застосовується стандартизований з різальною частиною із швидкорізальних сталей Р6М5 або твердого сплаву ВК8.

Вимірювальний інструмент, що використовується у базовому технологічному процесі є стандартний, дозволяє проконтролювати з необхідною точністю. Всі задані на кресленні деталі геометричні параметри.

Отже, можна виділити такі недоліки базового технологічного процесу:

- низький рівень складності операцій механізованими верстатними пристроями;
- на всіх операціях застосовується послідовна обробка поверхонь, що веде до збільшення основного часу; собівартості виготовлення продукції;
- низька концентрація обробки на операціях;
- низький рівень використання потужності технологічного обладнання.

																		Арк.	
MP.ПМК-628.00.000 ПЗ																			
Змн.	Арк.	№ докум.	Підпис	Дата															

$$\text{Тоді } \rho_0 = \rho_{\text{кор}} = 1 \cdot 130 = 130 \text{ мкм.} \quad (1.5.4)$$

Для фрезерування поверхонь $Rz=25$ мкм; $T=25$ мкм [3, с. 185, таблиця 10]

Величина сумарних розташувань відхилень заготовки після виконання переходу, мкм;

$$\rho_{\text{зал}} = K_y \cdot \rho_0 \quad [2, \text{ с. 73}] \quad (1.5.5)$$

де, K_y - коефіцієнт уточнення форми: $K_y = 0,06$ [2, с. 73]

$$\text{Тоді: } \rho_{\text{зал}} = 0,06 \cdot 130 = 7,8 \text{ мкм.}$$

Похибка установки заготовки $\epsilon_y = 130$ мкм [3, с. 43, таблиця 14]

Всі отримані значення елементів припусків заносимо в розрахункову таблицю 1.5.1.

Таблиця 1.5.1 - Розрахункова таблиця для визначення припусків ,граничних розмірів і допусків .

Вид заготовки і технологіч-на операція	Квалітет ІТ	Елементи припуску, мкм				Розрахунковий припуск $2Z_{\text{min}}$, мкм	Розрахунковий розмір, мм	Допуск δ_i , мкм	Граничні розміри, мкм		Граничні допуски мкм	
		Rz	T	ρ_0	ϵ_y				V_{max}	V_{min}	$2Z_{\text{max}}$	$2Z_{\text{min}}$
Заготовка виливка	$\pm \frac{14}{2}$	60	0	130	-	-	321,34	2400	323,74	321,34	-	-
Фрезерування	11	25	25	7,8	130	2·180	319,64	360	320	319,64	2×1870	2×850

$$\text{Проведемо перевірку } Z_{\text{max}} - Z_{\text{min}} = \delta_{i-1} - \delta_i \quad (1.5.6)$$

$$2 \cdot 1870 - 2 \cdot 850 = 2400 - 360$$

$$2040 = 2040$$

Умова виконується – отже розрахунки правильні, на їх основі будуємо схему розташування граничних розмірів, допусків і припусків (див. рисунок 1.5.1)

					МР.ПМК-628.00.000 ПЗ				Арк.
Змн.	Арк.	№ докум.	Підпис	Дата					

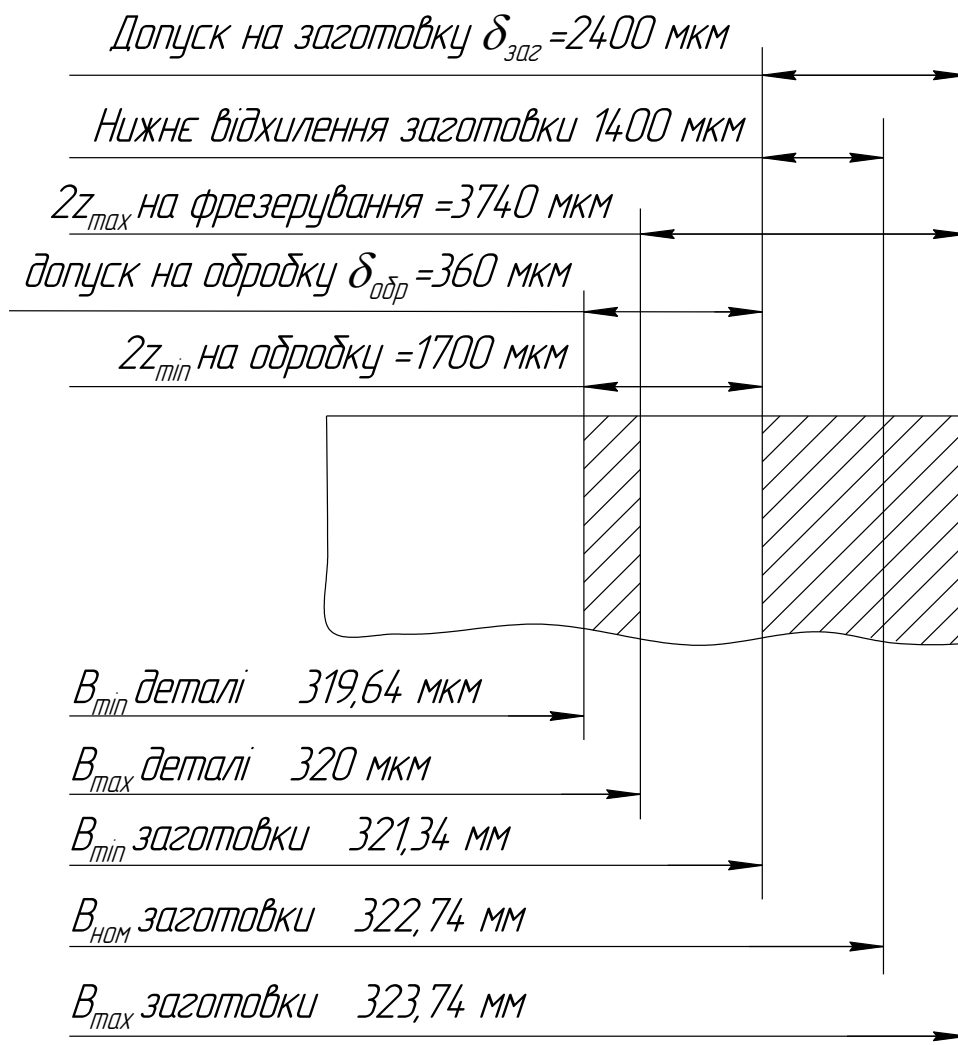


Рисунок 1.5.1 – Схема розташування полів допусків і проміжних розмірів для обробки поверхонь з розміром $320_{-0,36}$ мм.

Розрахунок припусків на обробку поверхні в розмір $16_{-0,43}$ мм.

Розмір $16_{-0,43}$ відмежовується двома площинами, одна з яких обробляється з шорсткістю $Ra=10$ мкм. При розрахунку припуску використовуємо формулу

$$Z_{i\min} = R_{z\ i-1} + T_{i-1} + \rho_{i-1} + \epsilon_i \quad [2, \text{с. 62, таблиця 4.2}] \quad (1.5.7)$$

Назначаєм маршрут обробки:

1. Заготовка (виливка).
2. Фрезерування однократне.

Для заготовки: $Rz+T=600$ мкм [2, с. 63, таблиця 4.3]

Просторові похибки відвилівка ρ_0 , мкм знаходимо за формулою:

$$\rho = \rho_{\text{кор}} = \Delta K \cdot L, \quad (1.5.8)$$

					MP.ПМК-628.00.000 ПЗ	Арк.
Змн.	Арк.	№ докум.	Підпис	Дата		

$L=320$ мм –довжина заготовки в напрямку обробки;

$$\Delta K_{=1\text{мкм/мм}}$$

[2, с. 71]

Для фрезерування: $Rz= T=30\text{мкм}$.

Величина просторових відхиень:

$$\rho_{\text{зал}}=\rho_0 \cdot K_y;$$

$$\text{де } K_y=0,06 \quad - \quad [2, \text{с. 73}].$$

Тоді, $\rho_{\text{заг}}=0,06 \cdot 320=19.2$ мкм

Похибка устанокки заготовки: $\epsilon_y=110\text{мкм}$ - [3, с. 43]

Всі отримані значення елементів припуску заносимо в таблицю 1.5.2

Таблиця 1.5.2 – Розрахункова таблиця для визначення припусків, граничних розмірів і допусків .

Вид заготовки і техноло-гічна операція	Ква-літет IT	Елементи припуску, мкм				Розрахунковий Припуск $Z_{i\text{min}}$, мкм	Розрахунковий розмір , мм	До-пуск δ_i , мкм	Граничні розміри, мкм		Граничні допуски мкм	
		Rz	T	ρ_0	ϵ_y				B_{max}	B_{min}	$2 Z_{\text{max}}$	$2 Z_{\text{min}}$
Заготовка вилівка	$\pm \frac{14}{2}$	60	0	320	-	-	16,60	1600	1820	1660	-	-
Фрезерування	H14	30	30	19,2	110	1030	15,57	430	1600	1557	2200	1300

Проведемо перевірку користуючись співвідношенням:

$$Z_{i\text{max}} - Z_{i\text{min}} = \delta_{i-1} - \delta_i \quad (1.5.9)$$

$$2200-1030=1600-430$$

$$1170=1170$$

Перевірка показує, що розрахунки проведено правильно. На основі розрахункової таблиці 1.5.2 будемо схему розташування граничних розмірів, допусків і припусків.

					MP.ПМК-628.00.000 ПЗ				Арк.
Змн.	Арк.	№ докум.	Підпис	Дата					

$$\Delta K_{=1\text{мкм/мм}}$$

[2, с. 71, таблиця 4.8]

$$\rho_0 = 1 \cdot 130 = 130 \text{ мкм}$$

Для фрезерування: $Rz = T = 25 \text{ мкм}$.

[3, с. 185, таблиця 10]

Величина залишкових сумарних відхилень після виконання переходу мкм :

$$\rho_{\text{зал}} = K_y \cdot \rho_0;$$

Де, K_y -коєфіцієнт уточнення форми, $K_y = 0,06$

[2, с.73]

$$\text{Тоді, } \rho_{\text{зал}} = 0,06 \cdot 130 = 7,8 \text{ мкм}$$

Похибка установки для даного розміру буде рівна нулю

Всі отримані значення елементів припуску заносимо в таблицю 1.5.3

Таблиця 1.5.3 – Розрахункова таблиця для визначення припусків, граничних розмірів і допусків .

Вид заготовки і техноло-гічна операція	Квалітет ІТ	Елементи припуску, мкм				Розрахунковий припуск $2Z_{\text{min}}$, мкм	Розрахунковий розмір, мм	Допуск δ_i , мкм	Граничні розміри, мкм		Граничні припуски, мкм	
		Rz	T	ρ_0	ε_y				V_{max}	V_{min}	$2Z_{\text{max}}$	$2Z_{\text{min}}$
Заготовка виливка	H14		600	130	-	-	20,33	1600	21,93	20,33	-	-
Фрезерування	H14	25	25	7,8	130	850	19,48	520	2000	19480	1930	850

Проведемо перевірку користуючись співвідношенням:

$$Z_{\text{imax}} - Z_{\text{imin}} = \delta_{i-1} - \delta_i \quad (1.5.9)$$

$$1930 - 850 = 1600 - 520$$

$$1080 = 1080$$

Перевірка показує ,що розрахунки проведено правильно.На основі розрахункової таблиці 3.3 будуємо схему розташування граничних розмірів, допусків і припусків .

					MP.ПМК-628.00.000 ПЗ				Арк.
Змн.	Арк.	№ докум.	Підпис	Дата					

$$S_{XB} = 57,5 \text{ мм/хв}$$

Розрахуємо силу різання при фрезеруванні:

$$P_z = \frac{10C_p \cdot t^x S_z^y \cdot B^u \cdot z}{D^q \cdot n^w} \cdot K_{mp} \quad (1.5.15)$$

де, $C_p=30$; $x=0,83$; $y=0,65$; $u=10$; $q=0,83$; $w=0$ [4, с. 291, таблиця 41]

Поправочний коефіцієнт на якість обробленого матеріалу:

$$K_{mp} = (HB/190)^n \quad (1.5.16)$$

де, $n=0.55$ [4, с. 264, таблиця 9]

$$K_{mp} = \left(\frac{225}{190}\right)^{0,55} = 1.1$$

$$\text{Тоді: } P_z = \frac{10 \cdot 30 \cdot 22^{0,83} \cdot 0,05^{0,65} \cdot 15^{-40} \cdot 5 \cdot 1,1}{22^{0,83} \cdot 230} = 3531 \text{ Н}$$

Визначемо крутний момент

$$M_{кр} = \frac{P_z \cdot D}{2 \cdot 100} = \frac{3531 \cdot 22}{2 \cdot 100} = 388,4 \text{ Н.м}$$

Розрахуємо ефективну потужність:

$$N_e = \frac{P_z \cdot V}{1020 \cdot 60} = \frac{3531 \cdot 22}{1020 \cdot 60} = 0,91 \text{ кВт} \quad (1.5.17)$$

Потужність електродвигуна приводу головного руху верстату моделі 2204:

$N_{дв} = 6,3 \text{ кВт}$, отже обробка можлива, так як $N_e < N_{дв}$, $0,91 \text{ кВт} < 6,3 \text{ кВт}$

Розрахунок режимів різання для свердління отвору $\varnothing 20 \text{ мм}$

Свердління для даного отвору є однократною обробкою і проводиться спіральним свердлом з швидкорізальної сталі Р6М5 з конічним хвостовиком по ГОСТ 10903-77: діаметр свердла $D=20 \text{ мм}$; загальна довжина $L=223 \text{ мм}$, довжина робочої частини $l=135 \text{ мм}$.

Визначимо геометричні елементи свердла :

$\alpha = 11^\circ$; $f_n=0.3 \text{ мм}$; $\alpha_1 = 8^\circ$; конус морзе №3; $\varphi=55^\circ$; $\omega = 30^\circ$; $2\varphi=118^\circ$; $2\varphi_0=70^\circ$; форма заточки подвійна – з підточною поперечної кромки і стрічки ППС [4, с.150-152, таблиці 42-45].

					МР.ПМК-628.00.000 ПЗ	Арк.
Змн.	Арк.	№ докум.	Підпис	Дата		

Встановимо глибину різання :

$$\frac{D}{t=2} \frac{20}{2} = 10\text{мм} \quad (1.5.18)$$

Назначаєм осьову подачу : $S_0=0,47\text{мм/об}$ [4, с.277, таблиця 25]

Регулювання приводу подач безступінчасте , тому $S_0=0.47\text{мм/об}$. Період стійкості свердла : $T=60\text{хв}$ [4, с. 280, таблиця 30]

Визначаєм швидкість головного руху різання, яку допускають ріжучі

властивості свердла:
$$V = \frac{c_v \cdot D^q \cdot K_v}{T^m \cdot S_0^y} \quad [4, \text{с.276}] \quad (1.5.19)$$

де , $C_v=71.1$; $q=0.25$; $y=0.4$; $m=0.125$ [4 с. 278, таблиця 28]

Врахуєм загальний поправочний коефіцієнт K_v

$$K_v = K_{mv} \cdot K_{ev} \cdot K_{iv} \quad [4, \text{с.276}] \quad (1.5.20)$$

де, K_{mv} - поправочний коефіцієнт ,що враховує вплив властивостей оброблюваного матеріалу;

де, $p_v=1,3$ [4, с. 262, таблиця 2]

$$\text{Де } K_{mv} = \left(\frac{190}{H_B} \right)^{p_v} = \left(\frac{190}{225} \right)^{1,3} = 0,8 \quad (1.5.21)$$

$K_{ev} = 1$; [4, с. 280, таблиця 31];

$K_{iv} = 1$ [4 с. 263, таблиця 6]

$$K_v = 1,0 \cdot 1,0 \cdot 0,8 = 0,8$$

Тоді
$$V = \frac{17,1 \cdot 2^{0,05} \cdot 0,8}{60^{0,125} \cdot 0,47^{0,4}} = 24,1\text{м/хв}$$

Визначимо частоту обертання шпінделя верстата :

$$n = \frac{1000v}{\pi \cdot D} = \frac{1000 \cdot 24.1}{3.14 \cdot 20} = 384 \text{ хв}^{-1} .$$

Так як регулювання приводу головного руху безступінчасте то приймаємо $n=384 \text{ хв}^{-1}$.

Визначимо величину подачі : $S_{хв}=S_0 \cdot n=0,47 \cdot 384=100,5\text{мм/хв}$.

Обертний момент на шпінделі верстата $M_{об}$, Н·м

$$M_{об} = 10 \cdot C_m \cdot D^q \cdot S^y \cdot K_p; \quad [4, \text{с. 277}] \quad (1.5.22)$$

де, $C_m=0,021$; $q=2,0$; $y=0,8$ [4, с. 281, таблиця 32]

					МР.ПМК-628.00.000 ПЗ	Арк.
Змн.	Арк.	№ докум.	Підпис	Дата		

K_p - поправочний коефіцієнт, що враховує вплив якості оброблюваного матеріалу: $K_p = K_{m0} = \left(\frac{HB}{190}\right)^n = \left(\frac{225}{190}\right)^{0.6} = 1.11$ [4, с. 264, таблиця 9] (1.5.23)

Тоді: $M_{об} = 10 \cdot 0,021 \cdot 2^{2,0} \cdot 0,47^{0,8} \cdot 1,11 = 5.1 \text{ Н}\cdot\text{М}$

Осьова сила при свердлінні P_0 , Н визначається за формулою:

$$P_0 = 10 C_p \cdot D^q \cdot S^y \cdot K_p, \quad [4, \text{с. 277}] \quad (1.5.24)$$

де, $C_p = 42,7$, $q = 1,0$, $y = 0,8$ [4, с. 281, таблиця 32]

Тоді $P_0 = 10 \cdot 42,7 \cdot 20^{1,0} \cdot 0,47^{0,8} \cdot 1,11 = 5182 \text{ Н}$

Визначимо ефективну потужність різання: N_e , кВт

$$N_e = \frac{M_{об} \cdot n}{9750} = \frac{51,384}{9750} = 2,01 \text{ кВт} \quad (1.5.25)$$

Потужність електродвигуна приводу головного руху верстата 2204ВМФ4, $N_{дв} = 6,3 \text{ кВт}$. Отже, обробка можлива так як $N_e < N_{дв}$,

$2,01 \text{ кВт} < 6,3 \text{ кВт}$.

Розрахунок режимів різання для фрезерування поверхонь в розмір 320-0.36

Однократне фрезерування поверхонь в розмір 320-0.36 проводимо торцевою фрезою з вставними ножами оснащеними пластинами з твердого сплаву ВК8 ГОСТ 9473-80 [4, с.187, таблиця 94]. Діаметр фрези $D = 160 \text{ мм}$ висота фрези $L = 39 \text{ мм}$.

Визначимо геометричні елементи зубів фрези: $\alpha = 8^\circ$; $\gamma = 10^\circ$; $\varphi_0 = 45^\circ$; $\varphi_1 = 5^\circ$ [5, с. 248-250, таблиця 77-78]

Встановлюємо глибину різання t , мм. Припуск знімаємо за один робочий хід, отже $t = h = \frac{323,74 - 320}{2} = 1,87 \text{ мм}$.

Ширина фрезерування $B = 130 \text{ мм}$.

Назначаємо подачу на зуб фрези: $S_z = 0,12 \text{ мм/зуб}$ – [4, с. 283, таблиця 33]

Період стійкості фрези $T = 180 \text{ хв}$ [4, с. 290, таблиця 40]

Визначаємо швидкість головного руху різання, яка допускається різальними

властивостями, фрези:
$$V = \frac{C_v \cdot D^q \cdot K_v}{T^m \cdot t^x \cdot S_z^y \cdot B^v \cdot Z^p} \quad [4, \text{с. 282}] \quad (1.5.26)$$

де, $C_v = 445$ коефіцієнт на умови обробки; $q = 0,2$; $x = 0,5$; $u = 0,2$; $m = 0,32$

[4, с.288, таблиця 39]

					МР.ПМК-628.00.000 ПЗ	Арк.
Змн.	Арк.	№ докум.	Підпис	Дата		

Враховуємо загальний поправочний коефіцієнт K_v

$$K_v = K_{mv} \cdot K_{nv} \cdot K_{iv} \quad [4, \text{с. 282}] \quad (1.5.27)$$

де K_{mv} - коефіцієнт, що враховує якість оброблюваного матеріалу:

$$n_v = 1,25 \quad [4, 262, \text{таблиця 2}]$$

$$\text{Тоді } K_{mv} = \left(\frac{190}{\text{HB}} \right)^{n_v} = \left(\frac{190}{225} \right)^{1,25} = 0,81; \quad (1.5.28)$$

$K_{nv} = 0,85$ - коефіцієнт що враховує стан поверхні заготовки;

$$[4, \text{с. 263, таблиця 5}]$$

$K_{iv} = 0,83$ - коефіцієнт, що враховує матеріал інструмента;

$$[4, \text{с. 263, таблиця 6}]$$

$$\text{Тоді } K_v = 0,81 \cdot 0,85 \cdot 0,83 = 0,57$$

$$\text{Отже } V = \frac{445 \cdot 160^{0,2} \cdot 0,57}{180^{0,32} \cdot 1,87^{0,15} \cdot 0,29^{0,35} \cdot 130^{0,2} \cdot 10^{0,3}} = 96,96 \text{ м/хв};$$

Визначаємо частоту обертання шпинделя :

$$n = \frac{1000v}{\pi \cdot D} = \frac{1000 \cdot 96,96}{3,14 \cdot 160} = 188,5 \text{ хв}^{-1} \quad (1.5.29)$$

Так як регулювання частот верстата безступінчасте то приймаємо $n_d = 190 \text{ хв}^{-1}$

Визначаємо хвилину подачу

$$S_{xv} = S_z \cdot Z \cdot n_d = 0,12 \cdot 16 \cdot 190 = 367,2 \text{ мм/хв} \quad (1.5.30)$$

$$\text{Приймаємо } S_{xvd} = 370 \text{ мм/хв}$$

Розрахуємо силу різання при фрезеруванні P_z , Н за формулою:

$$P_z = \frac{10 \cdot C_p \cdot t^x \cdot S_z^y \cdot B^u \cdot Z \cdot K_{mp}}{D^q \cdot n_d^w} \quad [4, \text{с.282}] \quad (1.5.31)$$

$$\text{де, } C_p = 54,5; \quad x = 0,9; \quad y = 0,74; \quad u = 1,0; \quad q = 1,0; \quad w = 0 \quad [4, \text{с.291, таблиця 41}]$$

K_{mp} - поправочний коефіцієнт на якість матеріалу;

$$K_{mp} = \left(\frac{\text{HB}}{190} \right)^n \quad [4, \text{с. 264, таблиця 9}] \quad (1.5.32)$$

$$\text{де, } n = 1,0 \quad [4, \text{с. 264, таблиця 9}]$$

$$K_{mp} = \left(\frac{225}{190} \right)^{0,75} = 1,18;$$

$$\text{Тоді } P_z = \frac{10 \cdot 54,5 \cdot 1,87^{0,9} \cdot 130^{1,0} \cdot 16 \cdot 1,18}{160^{1,0} \cdot 190^0} = 3058 \text{ Н};$$

Визначимо крутний момент $M_{кр}$, Н·м;

					МР.ПМК-628.00.000 ПЗ	Арк.
Змн.	Арк.	№ докум.	Підпис	Дата		

Паспортні дані вибраних верстатів

Паспортні дані верстатів вибрані згідно [4, 8] і занесені до таблиці 1.5.4.

Таблиця 1.5.4 - Паспортні дані верстатів .

Парамери	6P13PФ3	2204BMФ4
Розміри робочої поверхні стола, мм (ширина×довжина)	400×600	500×400
Найбільше переміщення стола, мм:		
поздовжне	1000	500
поперечне	400	500
вертикальне	380	500
Число швидкостей шпінделя	18	Б/с
Частоти обертання шпінделя хв ⁻¹	40-2000	32-2000
Число подач стола	Б/с	Б/с
Подача стола , мм/хв:		
поздовжня поперечна	10-1200	2,5-2500
вертикальна	10-1200	2,5-2500
Швидкість прискореного руху стола, мм/хв:		
поздовжнього і поперечного	2400	10000
вертикального	2400	10000
система ЧПК	Н33-1М	Розмір 2М-1300
Число керуємих координат	3	6
з них одночасно	2	5
Потужність електродвигуна приводу головного руху, кВт	7,5	6,3
Габаритні розміри, мм:		
довжина	3425	3085
ширина	3200	2000
висота	2520	2475
маса, кг	6750	7000

					MP.ПМК-628.00.000 ПЗ	Арк.
Змн.	Арк.	№ докум.	Підпис	Дата		

1.5.3 Розробка структури операцій, технологічних налагоджень та керуючих програм

1.5.3.1 Вибір системи координат верстата з ЧПК, деталі та інструменти

В технологічному процесі використано вертикально-фрезерний верстат з ЧПК моделі 6P13PФ3.

Для керування рухом формоутворення інструмента необхідно визначити взаємне розміщення заготовок та інструмента в робочому просторі верстата. Це пов'язано з тим, що точність розмірів деталі витримують відносно початку координатної системи верстата, а не відносно базуючи поверхонь пристрою. Розташування окремих поверхонь і конструктивних елементів в об'єкті деталі задають в системах координат деталі яку зв'язують із системою координат верстата. Тому підчас обробки заготовок на верстатах з ЧПК використовують три системи координат:

- систему координат верстата (СКВ) хуз;
- систему координат деталі (СКД) X_d, Y_d, Z_d ;
- систему координат вихідної точки $O_{вт}$.

СКВ вибираємо відповідно до рекомендацій КО та ГОСТ 23597-79, як прямокутну декартову пряму вісь Z збігається з віссю обертання шпінделя, а її додатній напрям відповідає виходу фрези із заготовки. Початок СКВ називають його нульовою точкою O_v . Відносно O_v в керуючій програмі задаються абсолютні переміщення робочих органів. На верстаті 6P13PФ3, який має «плаваючий нуль» підрахунок, початок підрахунку переміщення робочого органу може бути перенесений в будь-яку точку СКВ. В систему координат вихідної точки вибираємо в робочій зоні верстата на певній відстані від деталі для зручності затискання заготовки, зменшення довжини холостих ходів, безпеки заміни інструменту. У вихідній точці $O_{вт}$ починається програмування переміщення інструменту по керуючій програмі. Положення точки $O_{вт}$ задають в СКВ і зв'язують з базуючими елементами пристрою для затискання деталі.

СКД використовуємо для задання розмірів деталі за допомогою координат опорних точок. Почато СКД (нульову точку деталі) O_d виберемо в порожнині

					MP.ПМК-628.00.000 ПЗ	Арк.
Змн.	Арк.	№ докум.	Підпис	Дата		

N005G01 X 290,000 F0960 LF
N006G00 Z 400,000 F2400 LF
N007G00 X0Y0 F2400 M05 LF
N008G00 T 02 S200 M03 LF
N009G00 Z 18600 F2400 LF
N010G00 X 105000 Y65000 F2400 LF
N011G01 Z 175000 F0220 LF
N012G00 Z 18600 F2400 LF
N013G00 X 108,000 Y31000 F2400 LF
N014G01 Z 175000 F0220 LF
N015G00 Z 186,000 F2400 LF
N016G00 Y 99000 F2400 LF
N017G01 Z 175000 F0220 LF
N018G00 Z 186000 F2400 LF
N019G00 X 274000 F2400LF
N020G01 Z 175000 F0220 LF
N021G00 Z 186000 F2400 LF
N022G00 Y 31000 F2400 LF
N023G01 Z 175000 F0220 LF
N024G00 Z 186000 F2400 LF
N025G00 X 217000 Y65000 F2400 LF
N026G01 Z 175000 F0220 LF
N027G00 Z 400000 F2400 LF
N028G00 X0Y0 M05 LF
N029T03 S200 M03 LF
N030G00 Z 209000 F2400 LF
N031G00 X 105000 Y65000 F2400 LF
N032G01 Z 183000 F0180 LF
N033G00 Z 209000 F2400 LF
N034G00 X 108000 Y31000 F2400 LF
N035G01 Z 183000 F0180 LF
N036G00 Z 209000 F2400 LF

					MP.ПМК-628.00.000 ПЗ	Арк.
Змн.	Арк.	№ докум.	Підпис	Дата		

N037G00 Y 99000 F2400 LF
 N038G01 Z 183000 F0180 LF
 N039G00 Z 209000 F2400 LF
 N040G00 X 274000 F2400 LF
 N041G01 Z 183000 F0180 LF
 N042G00 Z 209000 F2400 LF
 N043G00 Y 31000 F2400 LF
 N044G01 Z 183000 F0180 LF
 N045G00 Z 209000 F2400
 N046G00 X 277000
 N047G01 Z 183000
 N048G00 Z 400000
 N049G00 X0Y0 M05 LF
 N050T04 S560 M03 LF
 N051G00 X – 5000 Y129000 F2400 LF
 N052G00 Z 16000 F2400 LF
 N053G01 X 40000 F0250 LF
 N054G00 Y 13500 F2400 LF
 N055G00 X 37000 F2400 LF
 N056G00 Y 12900 F2400 LF
 N057G01 X 33000 F0250 LF
 N058G00 Y 13500 F2400 LF
 N059G00 Z 400000 F2400 LF
 N060G00 X0Y0 M05 LF
 N061 M02 LF

					<i>MP.ПМК-628.00.000 ПЗ</i>	Арк. <input type="text"/>
Змн.	Арк.	№ докум.	Підпис	Дата		

K_p, K_v - коефіцієнт, що враховує відхилення закону розподілу елементарних величин $\Delta_{рег}$ та $\Delta_{вим}$ від нормального закону розподілу $K_p=1,73; K_v=1$ [3, с. 70]

$\Delta_{рег}$ - похибка регулювання інструменту при налазці інструменту на розмір;

$$\Delta_{рег}=0,61\text{мм}; \quad [3, \text{с. 71}]$$

$$\Delta_{вим}=0,01\text{мм} - \text{похибка вимірювання деталей} \quad [8, \text{с. 577 таблиця 36}]$$

$$\Delta_H = \sqrt{(1,73 \cdot 10)^2 + (1 \cdot 10)^2} = 20\text{мкм}$$

$$\text{Похибка } \Sigma\Delta_v = 12 \text{ мкм} \quad [3, \text{с.59, таблиця 23}]$$

Систематична похибка Δ_i , мкм зумовлена зносом фрез визначаємо виходячи

$$\text{з залежності: } \Delta_i = 2U_0 \cdot \left(1 + \frac{V \cdot \tau}{1000}\right) \cdot K \quad [3, \text{с.73}] \quad (1.5.50)$$

де, $U_0=14\text{мкм/км}$ - відстань зношення фрези [див. пункт 1.5.2]

τ - час обробки, хв.

$$K = (B+100) \cdot 1/2 \cdot D_{ф} = (80+100) \cdot 1/2 \cdot 160 = 0,56.$$

Похибка Δ - береться із знаком «+», тобто розміри спрацювання проводять для збільшення витримуваного розміру.

$$\Delta_i = 2 \cdot 14(1 + 0,097 \cdot \tau)$$

Визначаємо похибку миттєвого розсіювання розміру Δ_{MH} з врахуванням

$$\text{похибок: } \Delta_{MH} = 1,2 \sqrt{\Delta_{\epsilon_y}^2 + \Delta_H^2 + \Delta_y^2 + \Delta_e^2} = 2 \cdot (1,2 \cdot \sqrt{20^2 + 39^2} + 12) = 129\text{мкм}$$

Похибка від теплових деформацій

$$\Sigma\Delta T = 0,1 \cdot \Delta_{MH} = 0,1 \cdot 129 = 12,9 \text{ мкм.}$$

В цьому випадку $\Sigma\Delta T$ - систематична постійна похибка розміру, яку в розрахунок приймають із знаком «-» так як теплова деформація інструмента приводить до зменшення витримуваного розміру .

Величини Δ_i та $\Sigma\Delta T$ складають в сумі систематичну закономірну змінну складову $\Delta_{сист}$, мкм похибки обробки:

$$\Delta_{сист} = \Delta_i + \Sigma\Delta T \quad (1.5.51)$$

Результати розрахунку $\Delta_{сист}$ зводимо в таблицю.

					MP.ПМК-628.00.000 ПЗ	Арк.
Змн.	Арк.	№ докум.	Підпис	Дата		

Таблиця 1.5.8 – Результати розрахунку систематичної похибки, мкм

$\tau, \text{хв}$	0	2	4	8	16	32	60	90	120	200
Δ_i	0	18,8	21,9	27,9	40,1	64,6	107,4	153,2	199,1	321,3
$\sum_{\Delta T}$	0	12,9	12,9	12,9	12,9	12,9	12,9	12,9	12,9	12,9
$\Delta_{\text{сист}} = \Delta_i - \Delta T$	0	5,9	9	15	27,2	51,7	94,5	140,3	186,2	308,4

З діаграми визначаємо економічну стійкість фрези $T_c = 80$ хв, тоді загальна похибка обробки $\Delta_{\text{сум}} = 0,36$ мм.

Налагоджувальний розмір визначаємо за формулою:

$$N_{\text{ном}} = N_{\text{мін}} + 0,5 \cdot \Delta_{\text{мн}} = 319,64 + \frac{129}{2} = 319,74 \quad (1.5.52)$$

де, $N_{\text{мін}} = 319,64$ - найменше граничне значення розміру, $\Delta_{\text{мн}} = 12,9$ мкм.

Тривалість обробки до вимушеної зміни інструмента:

$$T_{\text{зм}} = \frac{T_c(T_0 + T_{\text{пер}})}{T_0} = \frac{147(0,46 + 8,56)}{0,46} = 1568 \quad (1.5.54)$$

де, $T_0 = 0,46$ – основний час.

Питомий вклад C_3 первинних похибок в загальну похибку визначаємо за

формулою: $C_3 = \frac{\Delta_j}{\Delta_{\text{сум}}} \cdot 100\% \quad (1.5.54)$

де, Δ_j - вершина j -ї похибки.

Результати зведені в таблицю на основі яких будуємо гістограму.

Таблиця 1.5.9 - Результати розрахунку питомого вкладу первинних похибок обробки в загальну похибку.

Позначення похибки Δ_j	Δ_v	Δ_u	Δ_n	Δ_i	ΔT	$\Delta_{\text{сист}}$	$\Delta_{\text{мн}}$
Значення похибки	12	39	20	218	12,9	231	129
$C_3, \%$	3,3	11	5,6	60	3,6	64	36

Арк.

MP.ПМК-628.00.000 ПЗ

Змн. Арк. № докум. Підпис Дата

1.5.5 Нормування технологічного процесу

1.5.5.1 Розрахунок норм часу на фрезерну операцію з ЧПК

Норма часу на виконання операції на верстаті з ЧПК визначається за

$$\text{формулою: } T_{\text{шк}} = T_{\text{шт}} + \frac{T_{\text{н.з}}}{n}; \text{ хв.} \quad [6, \text{ с.4}] \quad (1.5.35)$$

де, $T_{\text{шт}}$ - норма штучного часу, хв.;

$T_{\text{н.з}}$ - норма підготовчо-заключного часу, хв.

$$T_{\text{шт}} = (T_{\text{ца}} + T_{\text{доп}}) \cdot \left(1 + \frac{a_{\text{тех}} + a_{\text{орг}} + a_{\text{вс}}}{100}\right), \quad [6, \text{ с. 5}] \quad (1.5.36)$$

де, $T_{\text{ца}}$ – час циклу автоматичної роботи верстата по програмі

$$T_{\text{ца}} = T_0 + T_{\text{м.доп}}, \text{ хв.} \quad [6, \text{ с. 5}] \quad (1.5.37)$$

де, T_0 – основний час на обробку однієї деталі, хв.:

$$T_0 = \sum_{i=1}^n \frac{L_i}{S_{\text{мі}}}, \text{ хв.} \quad [6, \text{ с. 5}] \quad (1.5.38)$$

де, L_i – довжина шляху який проходить інструмент чи деталь в напрямі подачі при обробці i -того переходу, мм;

$S_{\text{мі}}$ - хвилинна подача на довжину технологічного переходу мм/хв.

$T_{\text{м.доп}}$ - максимально допустимий час по програмі(на підвід деталі чи інструменту від вихідних точок в зони обробки та відвід установа інструменту на розмір, зміна інструменту ;зміна величини і напрямку подач і час технологічних пауз.

Допоміжний час $T_{\text{доп}}$ -визначається по формулі

$$T_{\text{доп}} = T_{\text{д.в}} + T_{\text{д.оп}} \pm T_{\text{д.вим}}, \text{ хв.} \quad [6, \text{ с. 5}] \quad (1.5.39)$$

де, $T_{\text{д.в}}$ – час на встановлення зняття деталі в ручну, хв.

$T_{\text{д.оп}}$ – допоміжний час, пов'язаний з операцією (що не ввійшов в керуючу програму), хв.;

$T_{\text{д.вим}}$ – допоміжний не перекриваючий час на вимірювання, хв.;

$a_{\text{тех}}$, $a_{\text{орг}}$, $a_{\text{вс}}$ - відсоток від оперативного часу на технічне і організаційне обслуговування робочого місця, на відпочинок та особисті потреби при одноверстатному обслуговуванні.

					MP.ПМК-628.00.000 ПЗ	Арк.
Змн.	Арк.	№ докум.	Підпис	Дата		

Визначаємо основний час за формулою

$$T_0 = \frac{l+l_1+l_2}{S_{\text{хв}}} \cdot i, \text{ хв} \quad (1.5.40)$$

де, i - кількість переходів

$l_1 + l_2$ - величина врізання і перебігу, мм

$l = 182 \text{ мм}$ довжина обробки (з креслення)

$l_1 + l_2 = 100 \text{ мм}$

$$\begin{aligned} \text{Тоді } T_{01} &= \frac{4+5}{220} \cdot 6 = 0,24 \text{ хв}; & T_{02} &= \frac{16+5}{180} \cdot 6 = 0,7 \text{ хв}; & T_{03} &= \frac{30+5}{250} \cdot 2 = 0,28; \\ T_{04} &= \frac{182+100}{130} = 0,27 \text{ хв}; \end{aligned} \quad (1.5.41)$$

Визначаємо машинно-допоміжний час по програмі, в який входить час на підвід деталі і інструмента від вихідних точок в зону обробки (на автоматичні допоміжні ходи) та відвід, за формулою:

$$T_{\text{дх}} = L/V \quad [6, \text{ с. 5}] \quad (1.5.42)$$

де, L - довжина автоматичних допоміжних ходів, мм

V - швидкість прискореного руху;

$$V = 2,400 \text{ мм / хв} \quad [7, \text{ с. 463, додаток 48, арк. 1}]$$

Довжина допоміжних ходів розраховується виходячи з габаритних розмірів робочої зони і розмірів деталі по кресленню. Тоді

$$T_{\text{дх}} = 1128/2400 = 0,47 \text{ хв} \quad (1.5.43)$$

$$T_{\text{м.доп}} = T_{\text{дх}} = 0,47 \text{ хв} \quad (1.5.44)$$

Тоді, час роботи одного циклу верстата: $T_{\text{ца}} = 0,47 + 0,27 + 0,24 + 0,7 + 0,28 = 1,96 \text{ хв}$;

Визначаємо допоміжний час $T_{\text{доп}}$, хв:

Час на встановлення і зняття деталі складається з:

- часу на закріплення і відкріплення деталі - 0,03 хв [6, с.78, карта 13, арк. 3]

- часу на установку і зняття деталі - 0,14 хв [6, с.76, карта 13, арк. 1]

- часу на очищення пристрою від стружки - 0,07 [6, с.77, карта 13, арк. 2]

$$\text{Тоді } T_{\text{дс}} = 0,03 + 0,14 + 0,07 = 0,24 \text{ хв} \quad (1.5.45)$$

Визначаємо допоміжний час, пов'язаний з операцією $T_{\text{доп}}$, хв в який входить:
0,04 хв – час на включення і виключення стрічкопротяжного механізму;

					MP.ПМК-628.00.000 ПЗ	Арк.
Змн.	Арк.	№ докум.	Підпис	Дата		

0,6 хв – час на встановлення заданого взаємного розташування деталі і інструменту по координатах x, y, z ;

0,2 хв – час на перевірку проходу деталі і інструменту в дану точку;

0,35 хв – час на повернення перфострічки в початковий стан [6, с.79, карта 14];

Тоді $T_{\text{доп}}=0,04+0,6+0,2+0,35=1,19$ хв.

Контрольні вимірювання виконуються під час виконання програми обробки, тому їх час не враховуємо.

Отже: $T_{\text{доп}}=0,24+1,19=1,43$ хв.

Час на організаційне і технічне обслуговування, відпочинок і особисті потреби - складає 8 % від оперативного часу:

$$T_{\text{оп}}=T_{\text{ц,а}}+T_{\text{доп}} \quad [6, \text{с. 90, карта 16}] \quad (1.5.46)$$

Тоді $T_{\text{шт}}=(1,96+1,43) \cdot (1+8/100)=3,66$ хв.

Підготовчо-заключний час $T_{\text{п,з}}$, хв складається:

14хв - на отримання наряду, креслень, технологічної документації, програмоносія, ріжучого, допоміжного і контрольно-вимірювального інструменту, пристрою, заготовок і на здачу їх після закінчення обробки партії деталей ;

2хв - ознайомлення з роботою, кресленням, технологічною документацією;

8 хв- час на встановлення пристрою краном без вивірки;

2 хв- час на підключення пристрою до пневмосистеми;

0,2 хв - час на встановлення вихідних режимів роботи верстата;

0,4 хв - час на встановлення і зняття інструменту ;

1.0 хв- час на встановлення програмоносіїв в зчитуючий пристрій;

0,5 хв - час на перевірку працездатності зчитуючого пристрою ;

0,8 хв - час на ввід програми в пам'ять системи ЧПК з програмоносія ;

3 хв - на встановлення вихідних норм x, y (нуль) [6, с.102, карта 26]

Тоді : $T_{\text{п,з}}=14+2+8+2+0,2+0,4+1+0,5+0,8+3=31,9$ хв;

$a=160$ партія запуску деталей .

Тоді $T_{\text{штк}}=3,66+\frac{31,9}{160}=3,87$ хв .

Арк.

МР.ПМК-628.00.000 ПЗ

Змн. Арк. № докум. Підпис Дата

1.5.5.2 Розрахунок норм часу табличним способом.

Норми часу табличним методом визначаємо згідно рекомендацій [6, 7] і заносимо в таблицю 1.5.7.

Таблиця 1.5.7 - Норми часу по операціях, хв.

Номер назва операції і переходу	T _{ца}		T _{доп}			T _{оп}	T _{орг} T _{во} T _{тех}	T _{шт}	T _{п.з}	T _{шк}
	T _о	Σ T _{м.доп}	T _{д.в}	T _{доп}	T _{вим.}					
005 Фрезерна з ЧПК	1,49	0,47	0,24	1,19	-	3,39	0,2	3,66	31,9	3,87
1 Фрезерувати поверхню 6	0,27									
2 Центрувати в отв	0,24									
3 Свердлити в отворах Ø33мм.	0,7									
4 Фрезерувати 2 пластини	0,28									
010 Багатоцільова з ЧПК	3,03	1,55	0,24	3,3	-	8,12	0,65	8,77	40,35	9,02
1 Фрезерувати поверхні ЕІМ	0,46									
2 Свердлити 4 отв. Ø14 мм.	0,41									
3 свердлити 3 отв. Ø20 мм.	0,5									
4 Фрезерувати паз 5	0,66									
5 Фрезерувати 4 платики 3	0,48									
6 Центрувати отвір	0,4									
7 Свердлити отв Ø4,2 мм	0,12									
Слюсарна										
Контрольна										

					MP.ПМК-628.00.000 ПЗ					Арк.
Змн.	Арк.	№ докум.	Підпис	Дата						

2 Конструкторська частина

2.1 Розробка пристрою на фрезерну операцію з ЧПК 005

2.1.1 Опис призначення, будови та роботи пристрою

Пристрій фрезерний з пневмоприводом застосовується на фрезерній операції з ЧПК 005 на котрій фрезерується поверхня вікна 6 в розмірі 16_{-1,2} на вертикально-фрезерному верстаті з ЧПК моделі 6P13PФ3.

Заготовка встановлюється на призму 8 і планку 9 напрямними елементами є дві опори, які з'єднані з корпусом 2. Корпус зварний, основою до якої приєднані пальці для установки пристрою в пази стола верстата. В корпус вмонтовано пневмоциліндр 1. До штоку в різьбовий отвір вгвинчено гвинт 3, який через важіль 4 передає зусилля затиску заготовці. Важіль з корпусом і гвинтом 3 з'єднаний осями 5.

Принцип дії пристрою полягає в наступному: при подачі повітря в безштокову камеру, шток з гвинтом через важіль притискають деталь до призми і планки. Після завершення обробки, повітря подається в штокову камеру пневмоциліндра і відбувається звільнення важелем деталі.

2.1.2 Розрахунок сил затиску і визначення основних параметрів механізму затиску

Виходячи з конструкції пристрою і умов обробки на фрезерній операції 005 складаємо схему дії сил на деталь:

					MP.ПМК-628.00.000 ПЗ	Арк.
Змн.	Арк.	№ докум.	Підпис	Дата		

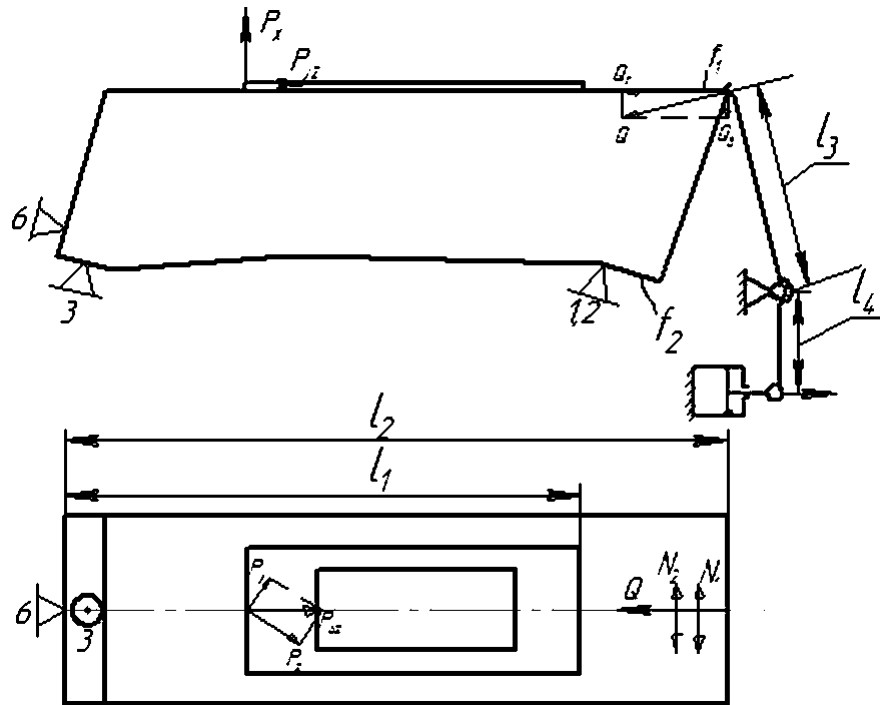


Рисунок 2.1 – Схема дії сил на деталь

Складаємо рівняння рівноваги з урахуванням коефіцієнту запасу міцності K

$$K = K_0 \cdot K_1 \cdot K_2 \cdot K_3 \cdot K_4 \cdot K_5 \quad [4, \text{с. } 85] \quad (2.1)$$

де, $K_0 = 1,5$ – гарантований коефіцієнт запасу міцності;

$K_1 = 1,2$ – коефіцієнт, який враховує стан бази;

$K_2 = 1,2$ – коефіцієнт, який враховує спрацювання різального інструменту;

$K_3 = 1,0$ – коефіцієнт, який враховує перервність процесу різання;

$K_4 = 1,0$ – коефіцієнт, який враховує постійність сил затиску;

$K_5 = 1,0$ – коефіцієнт, який враховує розміщення ручок управління.

$K_6 = 1,5$ – коефіцієнт при встановленні заготовки на опорні пластини

$$\text{Отже } K = 1,5 \cdot 1,2 \cdot 1,2 \cdot 1,0 \cdot 1,0 \cdot 1,0 \cdot 1,5 = 3,24$$

Складаємо рівняння рівноваги з врахуванням коефіцієнту запасу міцності K

$$\Sigma F_y = 0 \quad K P_{yz} - Q \cdot \cos 15^\circ = 0 \quad (2.2)$$

$$Q = \frac{K P_{yz}}{\cos 15^\circ} \quad (2.3)$$

Проаналізуємо можливість повертання заготовки навколо точки 3. Для цього складемо рівняння моментів усіх сил відносно точки 3.

$$l_1 = 280 \text{ мм}; \quad l_2 = 360 \text{ мм};$$

$$\text{Тоді: } D=1,13\sqrt{\frac{7267}{1,0}} = 96,3\text{мм}$$

Приймаємо пневмоциліндр двосторонньої дії по ГОСТ 1560-81 - 7020-02283

з такими основними параметрами:

- діаметр циліндра - $D=100\text{мм}$;
- хід поршня - $L= 40\text{мм}$;
- діаметр штока - $d= 28\text{мм}$;
- сила на штоці:
 - тягнуча - 7350 Н ;
 - штовхаюча - 7830 Н .

2.1.3 Розрахунок слабкої ланки на міцність

Найбільш навантажуючою ланкою механізму затиску пристрою є важіль 4. Виконаєм перевірку його працездатності . Розрахункова схема показана на рисунку

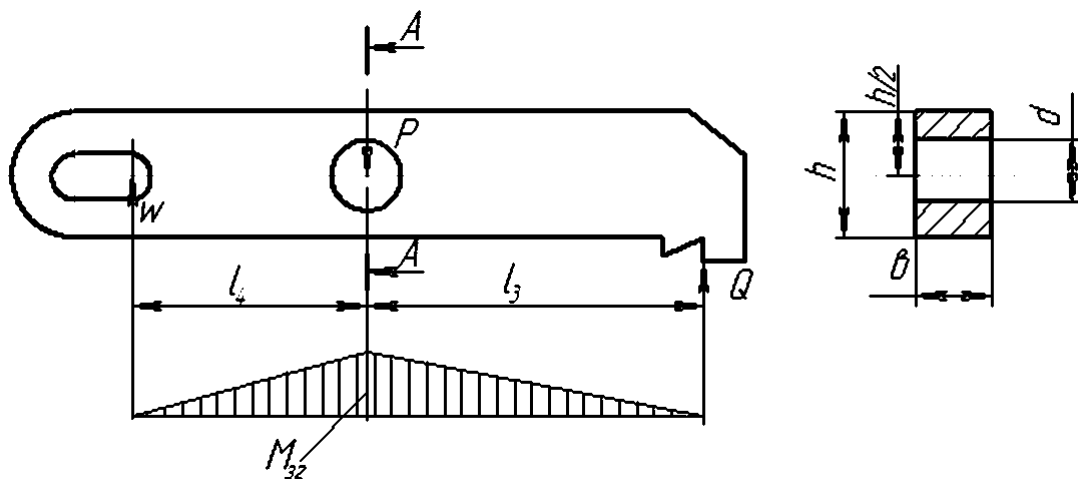


Рисунок 2.2 - Розрахункова схема.

$$W_n=6750\text{ Н}; l_4=75\text{мм}; l_3=95\text{мм}; b=20\text{ мм}; d=15\text{мм}; h=40\text{мм}.$$

Матеріал важеля сталь 45 ДСТУ 7809:2015, НРС 42-46.

Найбільше навантаження для важеля є переріз А-А. Тут діє найбільший згинаючий момент:

$$M_{зг} = W_n \cdot l_4 = 75 \cdot 6750 = 506250\text{ Н}\cdot\text{м}$$

І виникають найбільші напруження на згині:

$$\sigma_{зг} = \frac{M_{зг}}{W}; \quad (2.9)$$

					МР.ПМК-628.00.000 ПЗ	Арк.
Змн.	Арк.	№ докум.	Підпис	Дата		

де, W - момент опору перерізу А-А, м^2 ;

$$W = \frac{b \cdot (h^3 - d^3)}{6 \cdot h} = \frac{20 \cdot (40^3 - 15^3)}{6 \cdot 40} = 5052 \text{ мм}^3;$$

$$\sigma_3 = \frac{506250}{5052} = 100,2 \text{ МПа};$$

Це менше допустимого значення міцності сталі 45 рівне 220 МПа для загартованої сталі або 110 МПа для відпаленої. Тому важіль достатньо піддати тільки місцевому термічному зміцненню СВЧ.

Питомий тиск P дорівнює:

$$P = \frac{W_n + Q}{b \cdot d} = \frac{6750}{15 \cdot 20} = 36,7 \text{ МПа}; \quad (2.10)$$

Що менше допустимого напруження на зминання рівного 130 МПа для сталі 45. Отже міцність слабкої ланки достатня.

2.1.4 Розрахунок пристрою на точність

Для забезпечення необхідної точності обробки при конструюванні пристрою необхідно, щоб виконувалася умова:

$$T_{\text{пр}} \leq T_3 - 1,2 \cdot \sqrt{(0,8 \cdot \varepsilon_\delta)^2 + \varepsilon_s^2 + (0,8 \cdot \omega)} \quad [11, \text{с.151}] \quad (2.11)$$

де, $T_{\text{пр}}$ - допустима точність пристрою ;

T_3 - допуск на виконуваний при обробці розмір ;

ε_δ - похибки закріплення заготовки в пристрої;

ε_s - похибки закріплення заготовки в пристрої;

ω - економічна точність обробки даним методом, мкм;

Похибка закріплення заготовки в пристрої $\varepsilon_s = 120 \text{ мкм}$; [3, с.43, таблиця 14]

Розрахункова схема формування точності при обробці заготовки з виконанням розміру показана на рисунку.

Похибка базування для розміру $16 \pm 1 \text{ мм}$ буде залежати від допуску на розмір 75 мм , який згідно ГОСТ 26645-85 і класу точності розмірів виливки 9 допуск рівний $1,8 \text{ мм}$. Отже $\varepsilon_\delta = 1,8 \text{ мм}$, $\omega = 120 \text{ мкм}$, [3, с.7, таблиця 2]

Допуск на розмір 16 мм рівний 2 мм .

					МР.ПМК-628.00.000 ПЗ	Арк.
Змн.	Арк.	№ докум.	Підпис	Дата		

2.2 Розробка контрольного пристрою

2.2.1 Опис призначення, будови і робота пристрою

Контрольний пристрій призначений для вимірювання паралельності розташування поверхонь Ж і Е (див. креслення деталі).

Пристрій складається з повірочної плити 3, на якій встановлюється деталь поверхнею Ж і кріпиться прихватом 1 за допомогою гвинта 4 з рукояткою, індикаторна стійка 5 з індикатором 2, який контактує з поверхнею Е, переміщається по повірочній плиті. По зміні показів індикатора робим висновок про відповідність деталі вимогам.

2.2.2 Розрахунок точності пристрою

Основними складовими похибки вимірювання пристрою є:

ε_6 - похибки базування;

ε_3 -похибки закріплення;

$\Delta_{зв}$ - похибки засобу вимірювання;

Δ_m - похибки властиві даному методу.

$$\Delta_{\text{вим}}=1,2\sqrt{\varepsilon_6^2 + \varepsilon_3^2 + \Delta_{зв}^2 + \Delta_m^2} \quad (2.13)$$

Похибка базування в нашому випадку буде залежати від точності форми базової поверхні повірочної плити, яка складає 5мкм [5, с. 527, таблиця 36] .

Похибка засобу вимірювання (індикатора И402)

$$\Delta_{зв}=5\text{мкм}$$

[5, с. 562, таблиця 14]

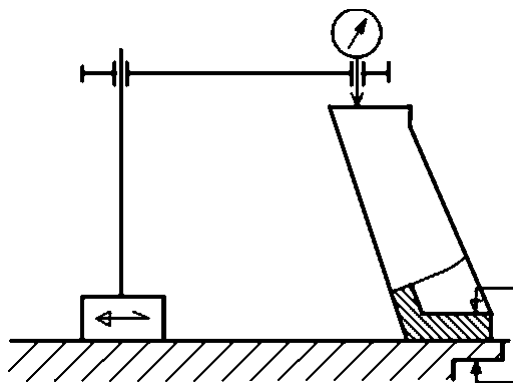


Рисунок 2.5 - Схема контролю

					MP.ПМК-628.00.000 ПЗ	Арк.
Змн.	Арк.	№ докум.	Підпис	Дата		

$$\text{Тоді } \Delta_{\text{вим}} = 1,2 \cdot \sqrt{5^2 + 6^2} = 9,4 \text{ мкм}$$

Співставляємо з допуском на паралельність поверхонь

$$\Delta_{\text{вим}} < 0,25 T_d$$

$$\text{Отже } 9,4 < 0,25 \cdot 50 = 12,5 \text{ мкм.}$$

Даний контрольний пристрій придатний для вимірювання необхідного параметру точності .

2.2.3 Розрахунок коефіцієнту уніфікації

Визначаємо рівень уніфікації і стандартизації пристрою за формулою

$$K_y = \frac{C}{K} \cdot 100\% \quad (2.15)$$

де, $C=5$ – кількість стандартних деталей в пристрої ;

$K=6$ – загальна кількість деталей в пристрої

$$\text{Тоді } K_y = \frac{5}{6} \cdot 100\% = 83\%.$$

					МР.ПМК-628.00.000 ПЗ	Арк.
Змн.	Арк.	№ докум.	Підпис	Дата		

3 Імітаційне моделювання притискної ланки фрезерного пристрою

Для проектування різноманітного обладнання, машин та інструментів застосовують спеціалізовані комп'ютерні програми САПР. Котрі є потужним інструментом для проведення чисельних аналізів і досліджень механічних характеристик конструкцій, зокрема для дослідження напружено-деформованого стану (НДС). Це дозволяє проводити статичний, динамічний та термічний аналізи, а також моделювати взаємодію матеріалів, що дає можливість оцінити роботу конструкцій в реальних умовах.

Дослідження НДС включає наступні етапи:

1. Моделювання геометрії конструкції (спочатку створюється тривимірна модель конструкції або деталі, яка має бути досліджена на міцність (цей етап включає точне визначення розмірів, форми, типу з'єднань і інших характеристик конструкції)).

2. Призначення матеріалів (модуль пружності, коефіцієнт Пуассона, межа міцності тощо).

3. Створення сітки (вибір типу елементів та їх розмірів визначають точність і швидкість симуляції (чим дрібніша сітка, тим точніші будуть результати, але й час обчислення буде більшим).

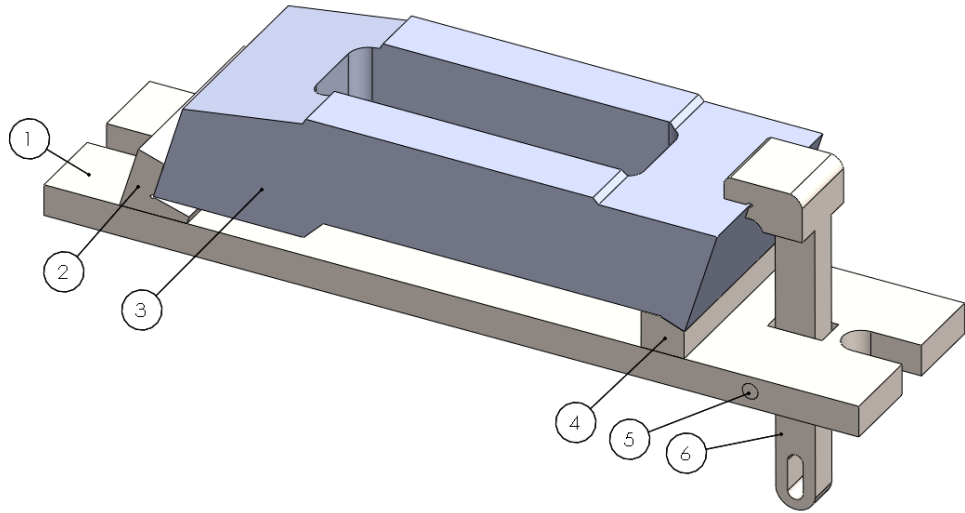
4. Визначення граничних умов і навантажень (для симуляції НДС необхідно задати відповідні граничні умови (приєднання до інших об'єктів, фіксації тощо) та навантаження (статичні чи динамічні сили, тиск, температурні зміни, моменти і т.д.).

5. Проведення аналізу.

6. Інтерпретація результатів (після завершення симуляції проводиться аналіз отриманих результатів, зокрема: розподілу напружень, деформації, коефіцієнта запасу міцності тощо).

					MP.ПМК-628.00.000 ПЗ	Арк.
Змн.	Арк.	№ докум.	Підпис	Дата		

Будуємо деталі пристрою та збираємо модель для дослідження, яку показано на рисунку 3.1. Деталлями пристрою є: плита 1, упор 2, деталь 3, опора 4, вісь 5 та важіль 6.



1 – плита; 2 – упор; 3 – деталь; 4 – опора; 5 – вісь; 6 – важіль

Рисунок 3.1 – Тривимірна модель для проведення імітаційного моделювання

Для проведення досліджень задано такі граничні умови: навантаження – сила, що діє на важіль складає 6750 Н, кріплення – за нижню частину плити 1.

На рисунку 3.2 показано розташування граничних умов, а на рисунку 3.3 – сітку його скінченних елементів.

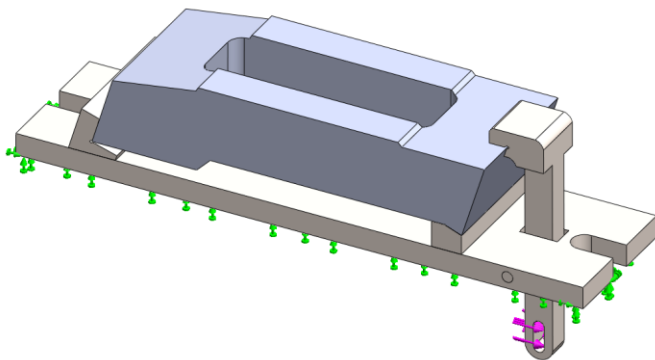


Рисунок 3.2 – Граничні умови

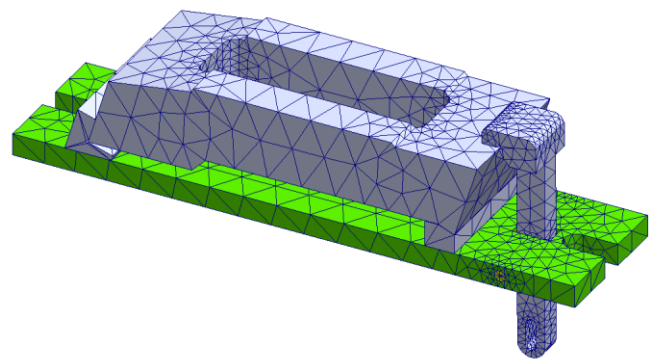


Рисунок 3.3 – Сітка скінченних елементів

Матеріалом для деталей притискного пристрою прийнято сталь, яка має такі характеристики: модуль Юнга 2×10^{11} Па та коефіцієнт Пуассона 0,28.

					МР.ПМК-628.00.000 ПЗ	Арк.
Змн.	Арк.	№ докум.	Підпис	Дата		

На рисунках, які показані нижче, наведено отримані результати імітаційного моделювання.

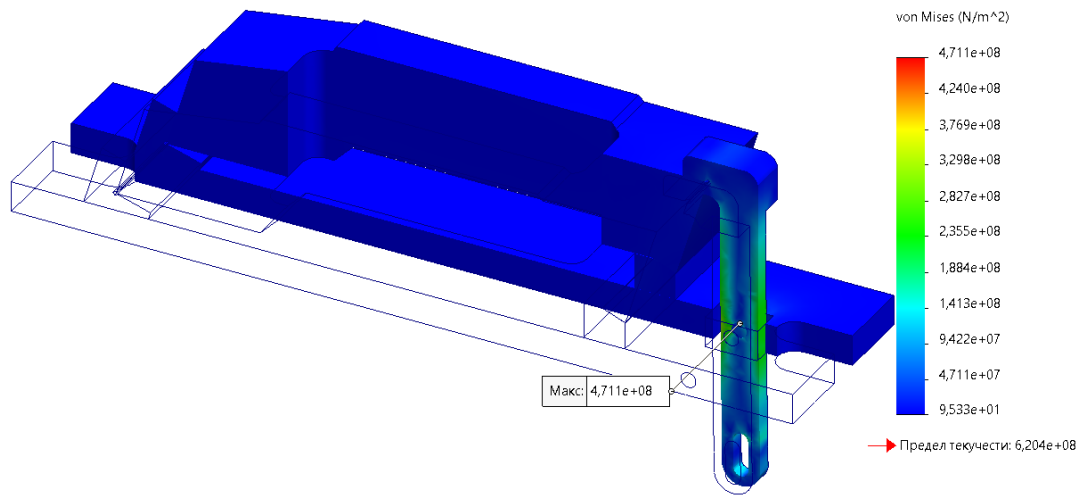


Рисунок 3.4 – Еквівалентні напруження

Еквівалентні напруження, що виникають у деталях притискного пристрою, мають максимальне значення 411 МПа. Концентруються ці напруження у осі, яка з'єднує плиту 1 з важелем 6.

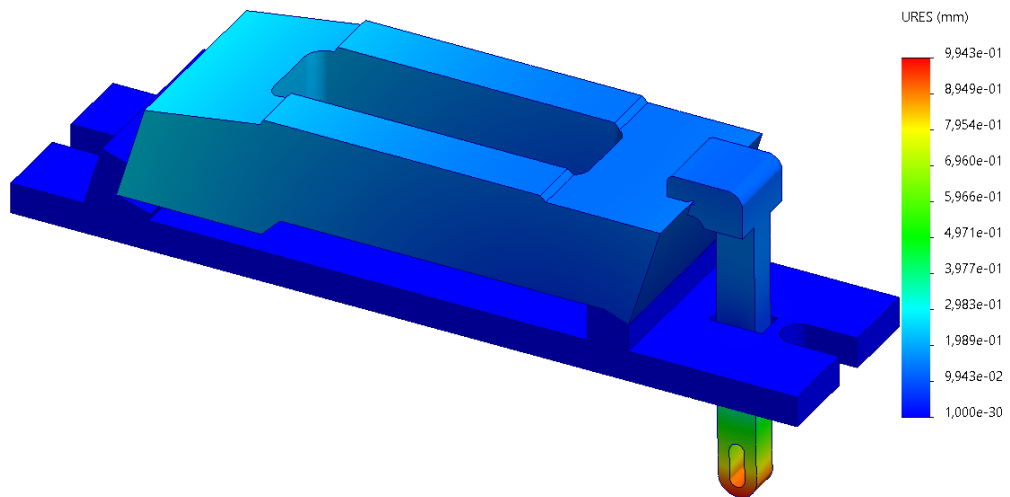


Рисунок 3.5 – Переміщення

Максимальна величина переміщення (рис. 3.5) спостерігається у важелі 6 та становить 0,99 мм.

					МР.ПМК-628.00.000 ПЗ	Арк.
Змн.	Арк.	№ докум.	Підпис	Дата		

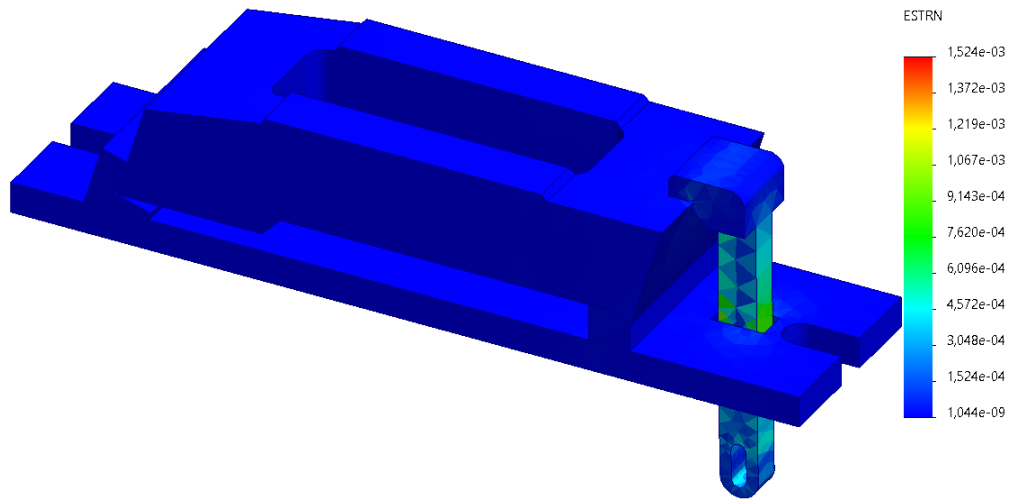


Рисунок 3.6 – Деформація

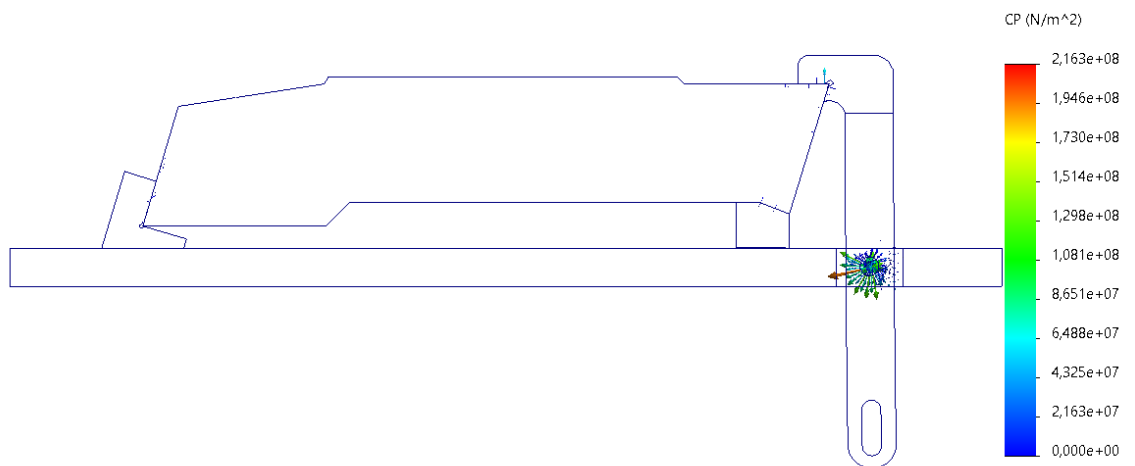


Рисунок 3.7 – Розподіл контактного тиску

Максимальна величина контактної тиску спостерігається на контакті осі з важелем 6. Контактний тиск має величину 216 МПа.

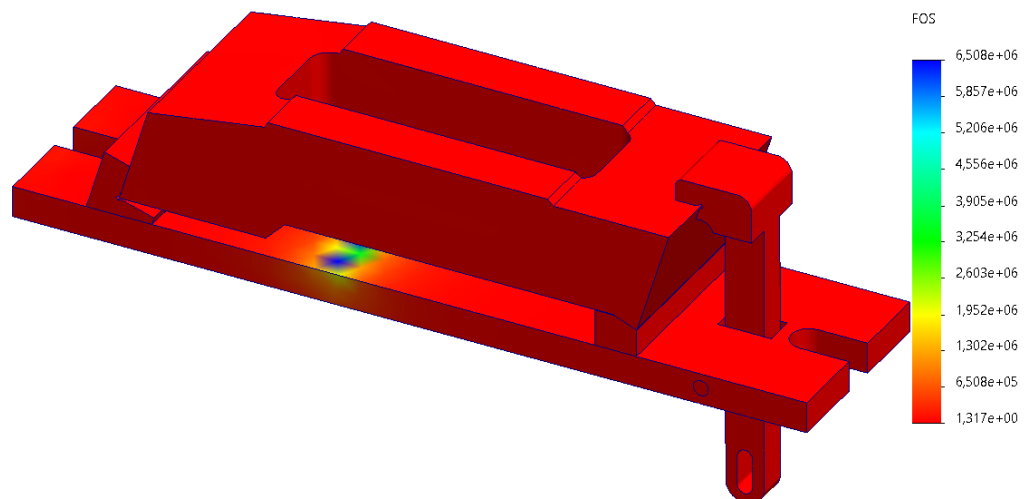


Рисунок 3.8 – Коефіцієнт запасу міцності

					МР.ПМК-628.00.000 ПЗ	Арк.
Змн.	Арк.	№ докум.	Підпис	Дата		

Коефіцієнт запасу міцності деталей притисного пристрою складає 1.3.

Висновки.

Провівши імітаційне моделювання притисного пристрою встановлено, що за заданих граничних умов максимальні величини напружень спостерігаються у осі, яка з'єднує плиту із важелем. Оскільки коефіцієнт запасу міцності складає 1.3, то пристрій може працювати. Проте, якщо порівняти напруження, які виникають у решти деталей пристрою, то вони є набагато меншими. Тому аби використовувати пристрій за більших навантажень необхідно або змінити матеріал осі, або збільшити її діаметр за використання наявного матеріалу.

					<i>MP.ПМК-628.00.000 ПЗ</i>	Арк.
<i>Змн.</i>	<i>Арк.</i>	<i>№ докум.</i>	<i>Підпис</i>	<i>Дата</i>		

Висновки

В даній магістерській роботі розроблено технологічний процес виготовлення деталі «Стойка КО-8.04.00.004» для умов середньосерійного виробництва. У порівнянні із заводською технологією у проектній досягнуто:

- 1) зменшення припусків на механічну обробку шляхом застосування більш точного методу отримання заготовки, що дало можливість скоротити розхід металу, значно зменшити трудоемність обробки, а також зменшити витрати на інструменти, електроенергію, тощо;
- 2) підвищення продуктивності праці шляхом застосування верстатів з - ЧПК, в комплекті із пристроями з швидкодіючими затискачами;
- 3) концентрацію декількох різних операцій на одному верстаті для обробки з прогресивними режимами різання і автоматизацією допоміжних операцій;
- 4) підвищення рівня автоматизації і механізації;
- 5) зменшення собівартості виготовлення деталі.

Основна мета роботи спрямована на зниження трудоемності виготовлення і собівартості продукції, але з досягненням вимог щодо якості та точності розмірів та форм деталі, а також і міцності.

					MP.ПМК-628.00.000 ПЗ	Арк.
Змн.	Арк.	№ докум.	Підпис	Дата		

Список посилань на джерела

1. Методичні вказівки до практичних занять з курсу «Механоскладальні дільниці та цехи у машинобудуванні» Частина 1 для студентів спеціальності 131 «Прикладна механіка» ОП «Технології машинобудування» /Укл. В.В. Кононов, В.О. Логомінов, – Запоріжжя: ЗНТУ, 2019. – 64 с
2. Руденко П.О., Проектування технологічних процесів у машинобудуванні:
3. Технологія обробки типових деталей і складання машин: курсове проектування. Методичні вказівки / Р. Т. Карпик, П. І Войтенко, – Івано-Франківськ: ІФНТУНГ, 2014. – 77 с.
4. <https://dominant-cnc.com/ua/p908764593-frezernyj-standok-chpu.html>
5. <https://www.sandvik.coromant.com/en-gb>
6. Ковальов В.А. Конструктивні особливості та основи програмування верстатів з числовим програмним керуванням. / В.А. Ковальов, А.Ю. Гаврушкевич, Н.В. Гаврушкевич; – КПІ ім. Ігоря Сікорського. – Київ, 2020. 158с.
7. Добрянський С.С., Малафеев Ю.М., Пуховський Є.С. Проектування і виробництво заготовок / підручник. –К.: НТУУ «КПІ», 2014. – 353 с.
8. Бочков В.М., Сілін Р.І. Обладнання автоматизованого виробництва. Навчальний посібник / За ред. Сіліна Р.І. Львів: Виробництво Державного університету Львівська політехніка, 2000. – 380 с.
9. Технологія та сап обробки на верстатах з чпк.методичні рекомендації до виконання лабораторних робіт. Бойко С. В. та ін..- – Чернігів: НУЧП, 2021.– 51 с.
10. Технологія обробки типових деталей і складання машин: курсове проектування. Методичні вказівки / Р. Т. Карпик, П. І Войтенко, – Івано-Франківськ: ІФНТУНГ, 2014. – 77 с.
11. Карпик Р. Т. Технологічна оснастка. Методичні вказівки / Р. Т.Карпик, Б. Д. Сторож. – Івано-Франківськ: Факел, 2010. – 80 с.

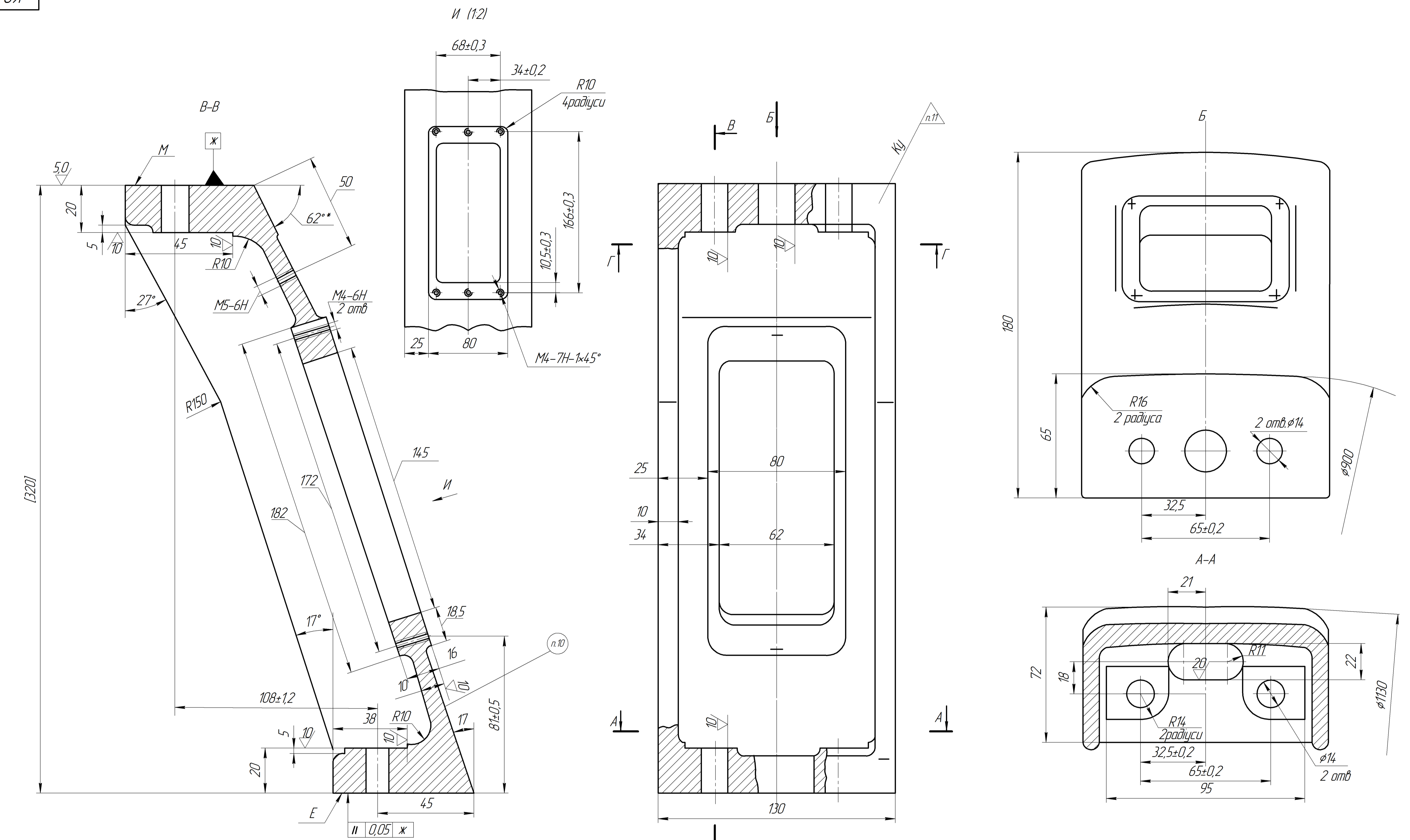
					МР.ПМК-628.00.000 ПЗ	Арк.
Змн.	Арк.	№ докум.	Підпис	Дата		

12. Ю. Є. Паливода, І. Г. Ткаченко, Ю. Б. Капаціла, Ів. Б. Гевко. Технологія оброблення корпусних деталей.. Навчальний посібник для студентів напрямку підготовки 6.050502 «Інженерна механіка» Тернопіль, 2016.-151 с.
13. Технологія обробки деталей машин : конспект лекцій для студентів спеціальності 7.05050201 «Технології машинобудування» усіх форм навчання. / В.М. Доля, О.В. Доля – Харків : НТУ «ХПІ», 2015. – 112 с.
14. Муляр Ю. І., Дерібо О. В. Програмування токарної обробки на верстатах з ЧПК. Навчальний посібник. – Вінниця: ВНТУ, 2004. – 91 с.
15. Панчук В.Г., Карпик Р.Т. та ін. Магістерська робота: методичні вказівки. - Івано-Франківськ: ІФНТУНГ, 2018.- 35 с.
16. Юрчишин І.І. та ін. Технологія машинобудування. Посібник-довідник для виконання кваліфікаційних робіт. Львів: Видавництво Львівської політехніки, 2009. 528с.
17. Автоматизоване проектування різальних інструментів:Навчальний посібник / Копей В.Б., Онисько О.Р., Борушак Л.О., Роп'як Л.Я.. Івано-Франківськ : ІФНТУНГ, 2012. 208с.
18. Петров О. В., Сухоруков С. І. Технологічна оснастка :навчальний посібник. Вінниця : ВНТУ, 2018. 123 с.

					MP.ПМК-628.00.000 ПЗ	Арк.
Змн.	Арк.	№ докум.	Підпис	Дата		

Додатки

					MP.ПМК-628.00.000 ПЗ	Арк.
Змн.	Арк.	№ докум.	Підпис	Дата		



- 1 Точність виливки 13-0-0-13 ГОСТ 26645-85
- 2 Невказані ливарні радіуси R 5...8 мм
- 3 Невказані формувачні уклони 2°±15'
- 4 Тріщини і усадочні раковини не допускаються
- 5 Виливки піддають старінню
- 6 Н14; н14; $\frac{H14}{2}$
- 7 Покриття: Емаль ПФ-115, світло-сіра ГОСТ 6465-76.
- ухл 4 крім поверхонь Е і М
- 8 Маркувати ливарним способом позначення деталі. Шрифт 5-ПР3 ГОСТ 26.008-85
- 9 Табувати номер клейма ОТК. Шрифт 6-ПР3 ГОСТ 26.008-85

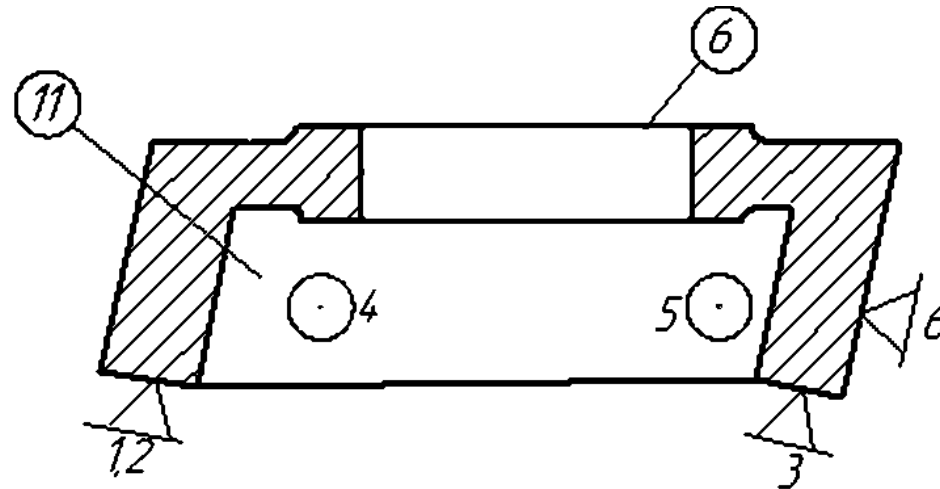
				КО-8 04.00.004			
Зм. Арк.	№ Док.	Підп.	Дата	Стоїлка	Лит.	Маса	Масштаб
Разраб.	Гайда					6,2	1:1
Перев.	Литовий			Аркши	Аркши	1	
Т.контр.	Пронин			СЧ25 ГОСТ 14.12-85			Об'єднання "Чернівецькешмаш"
Н.контр.	Бурсова						
Затв.	Герасименко						

Дубл.														
Взамін.														
Підпис										Зм	Ар	№ док.	Підпис	Дата

1

1

Розробив	Вірстюк			ІФНТУНГ	КО-8.04.00.004	20146.00004			
Перевірів	Шуляр								
Реценз.									
Н. контр.	Шуляр			Стойка			Н		

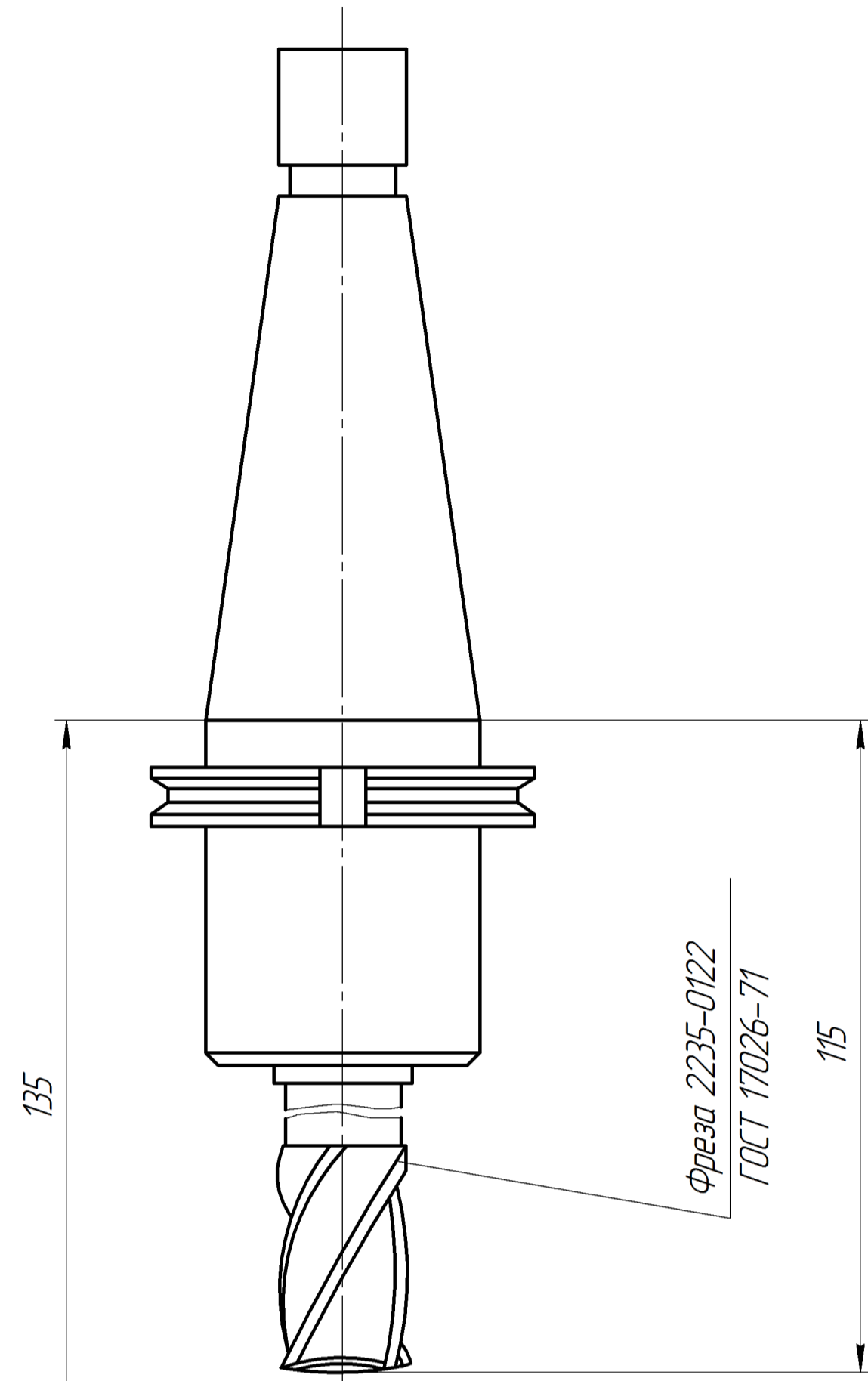
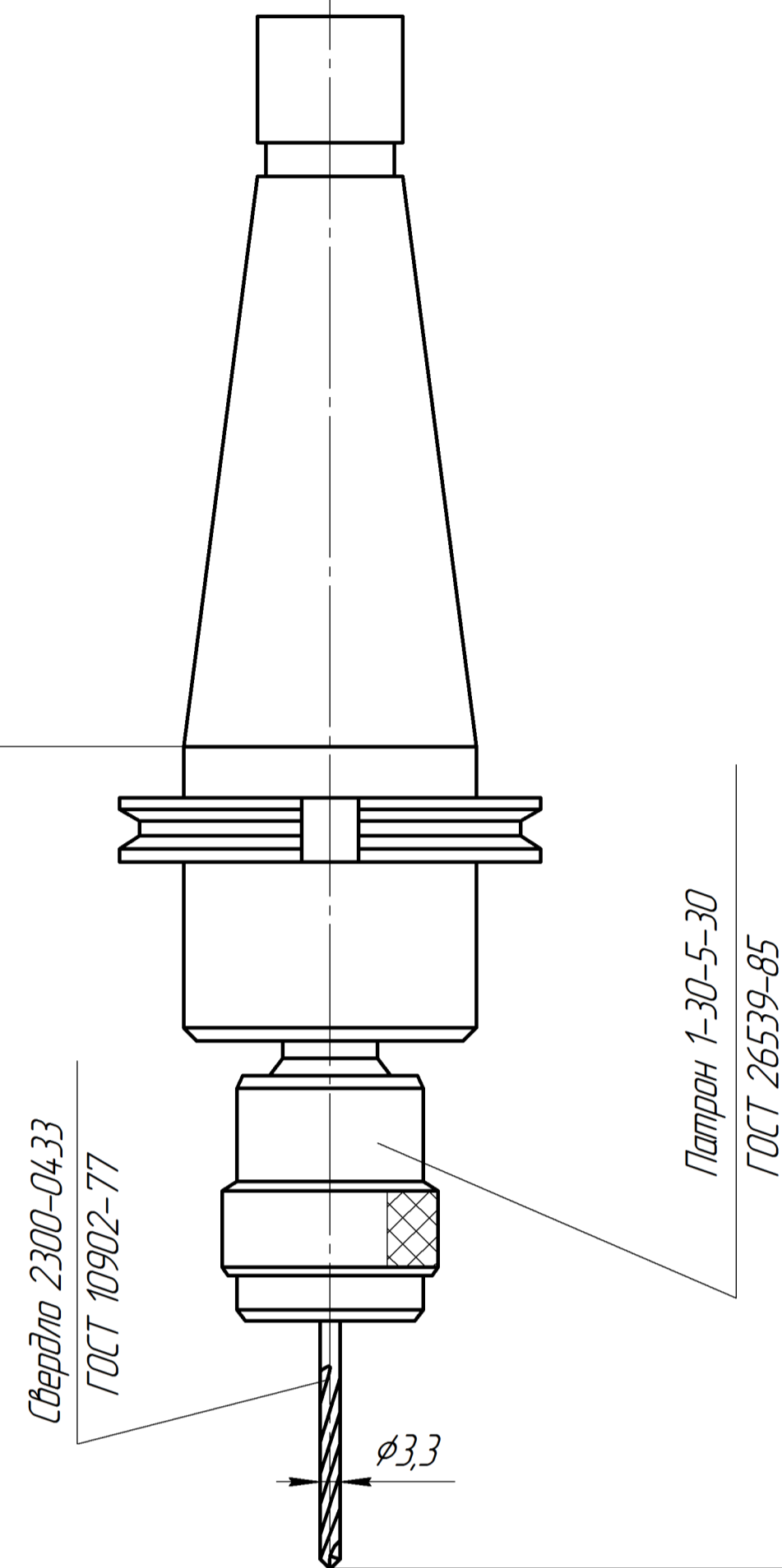
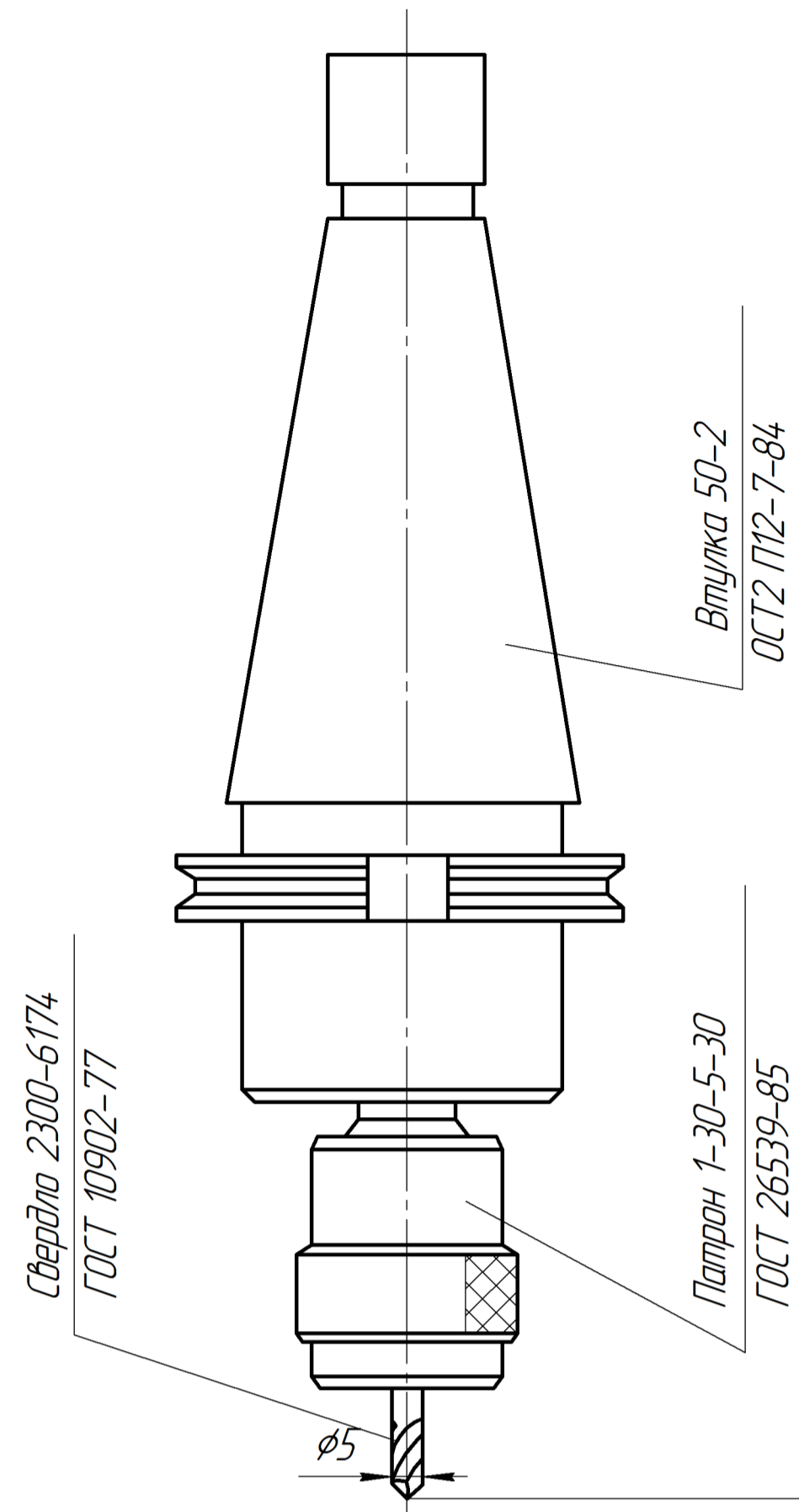
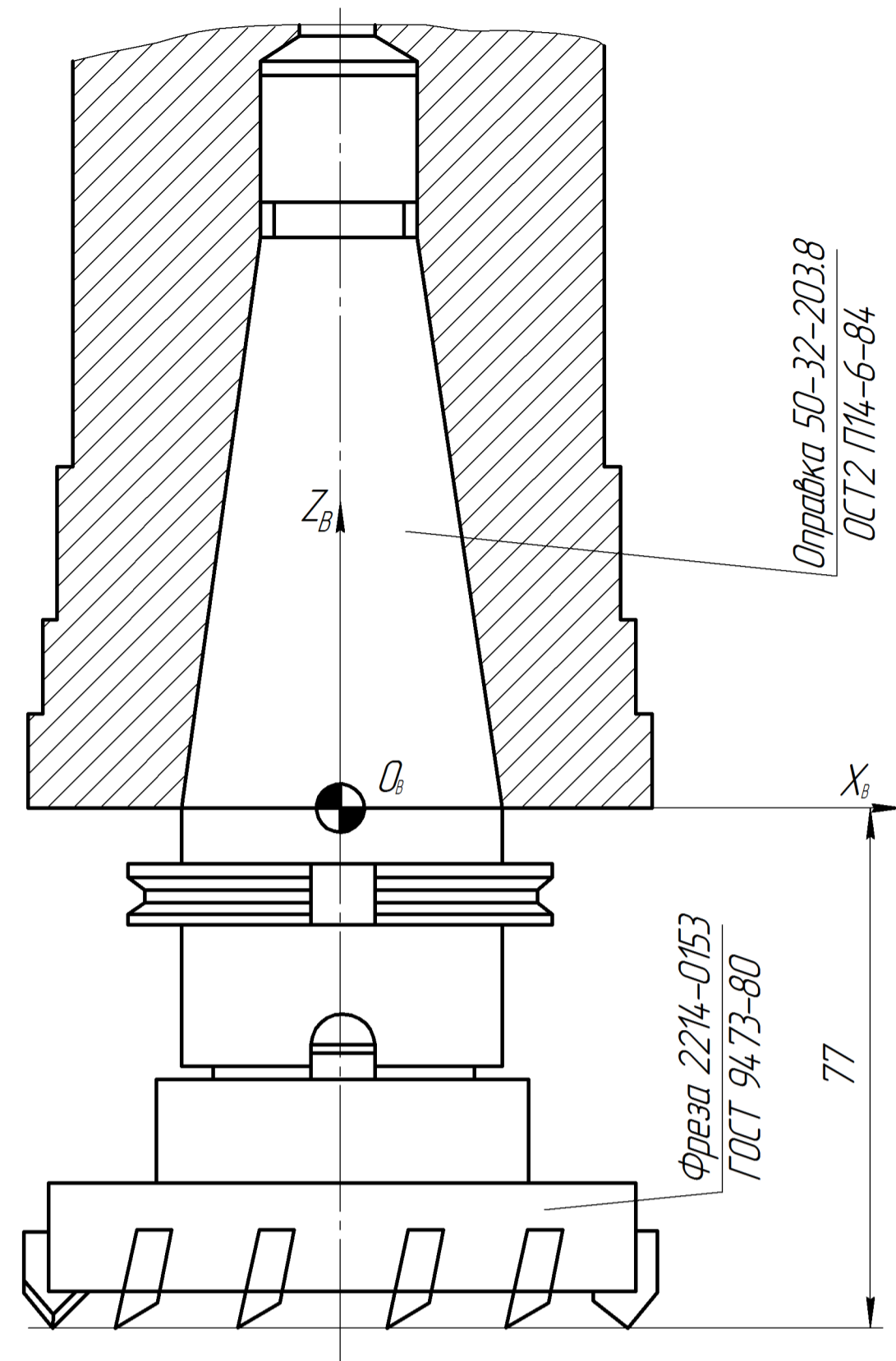


Формат	Зона	Поз.	Позначення	Назва	Кільк	Примітка
				<u>Документація</u>		
*			МР.ПМК-628.03.00.000 СК	Складальне креслення		*2×А1
				<u>Складальні одиниці</u>		
A4		1	МР.ПМК-628.03.01.000	Пневмоциліндр	1	
		2	МР.ПМК-628.03.02.000	Корпус	1	
				<u>Деталі</u>		
		3	МР.ПМК-625.03.00.002	Шток	1	
		4	МР.ПМК-625.03.00.003	Важіль	1	
		5	МР.ПМК-625.03.00.004	Вісь	2	
		6	МР.ПМК-625.03.00.005	Планка	1	
		7	МР.ПМК-625.03.00.006	Упор	2	
		8	МР.ПМК-625.03.00.007	Призма	1	
		9	МР.ПМК-625.03.00.008	Планка	1	
				<u>Стандартні вироби</u>		
		10		Болт М10-6g×50.05	4	
				ГОСТ 7798-70		
		11		Гайка М10-6g.05	4	
				ГОСТ 5927-70		

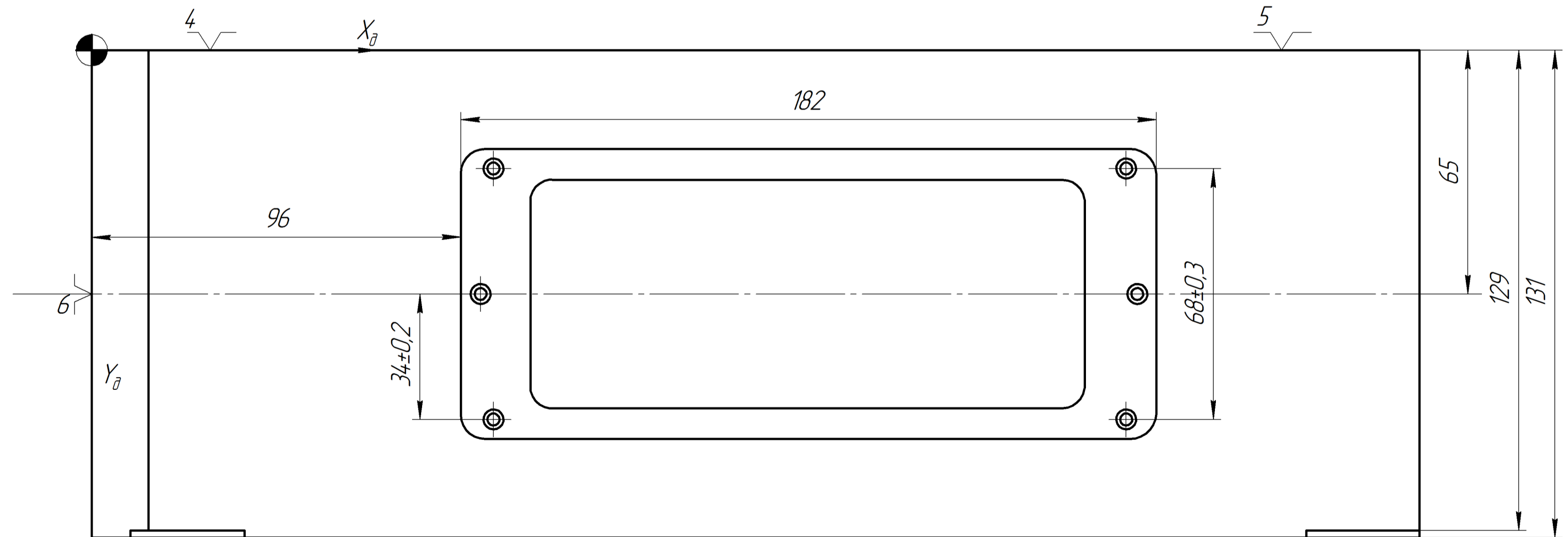
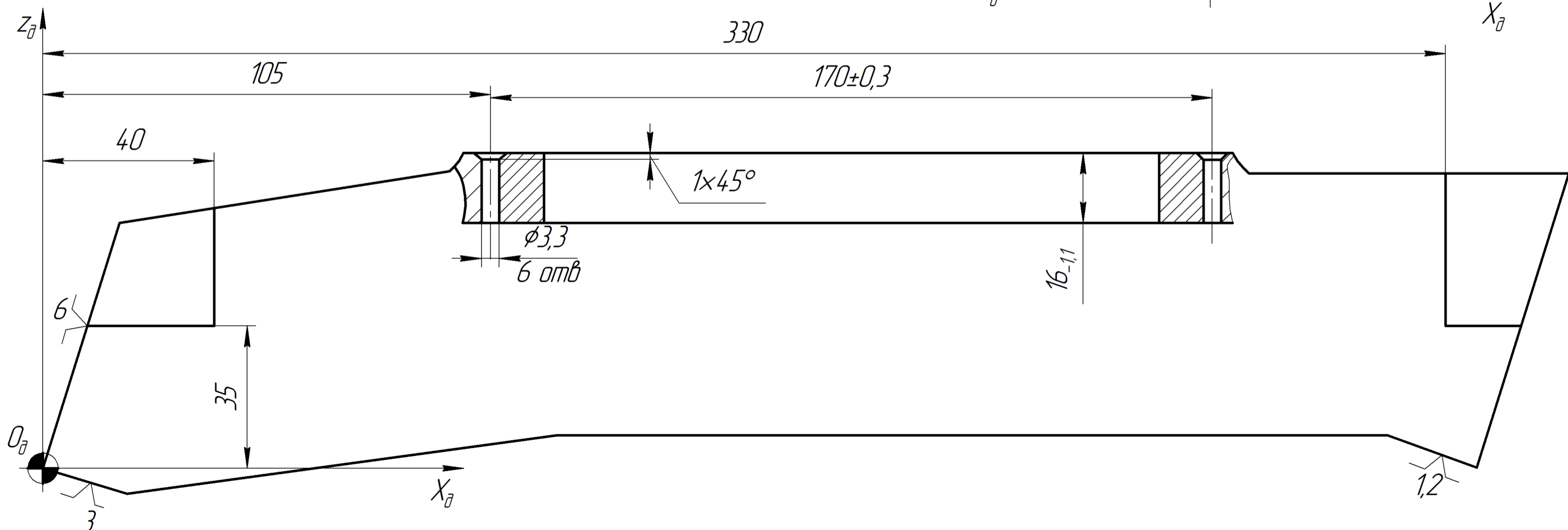
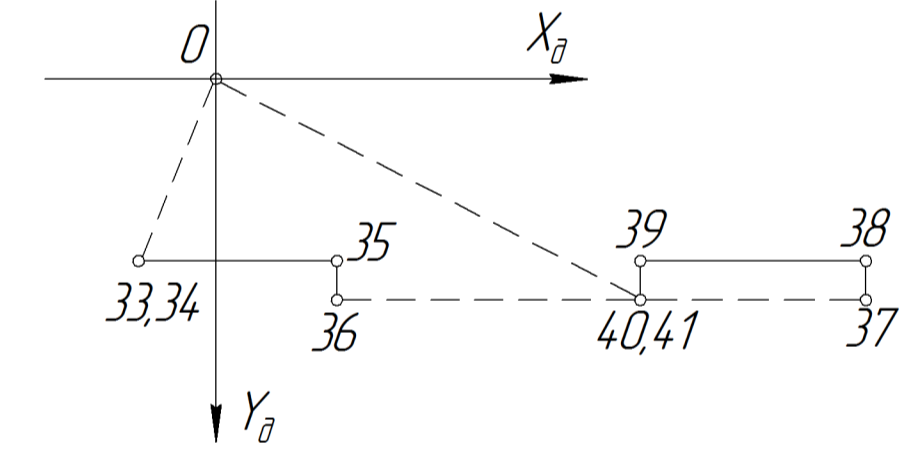
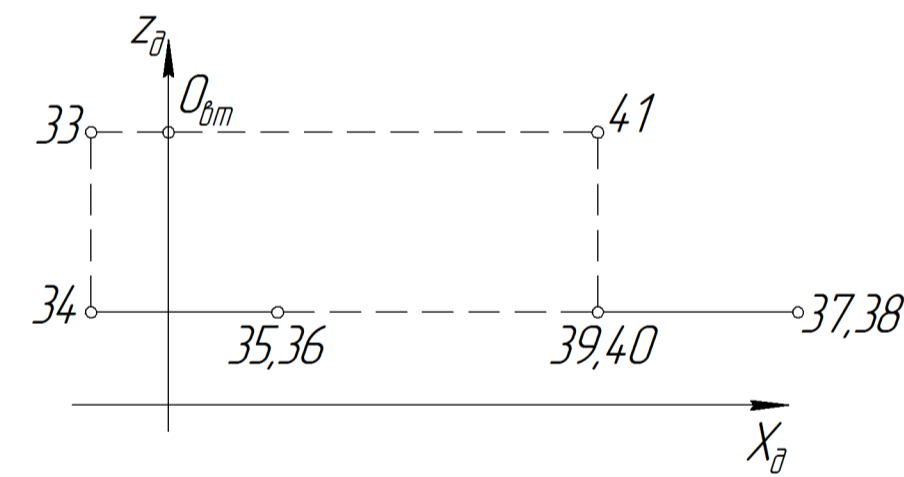
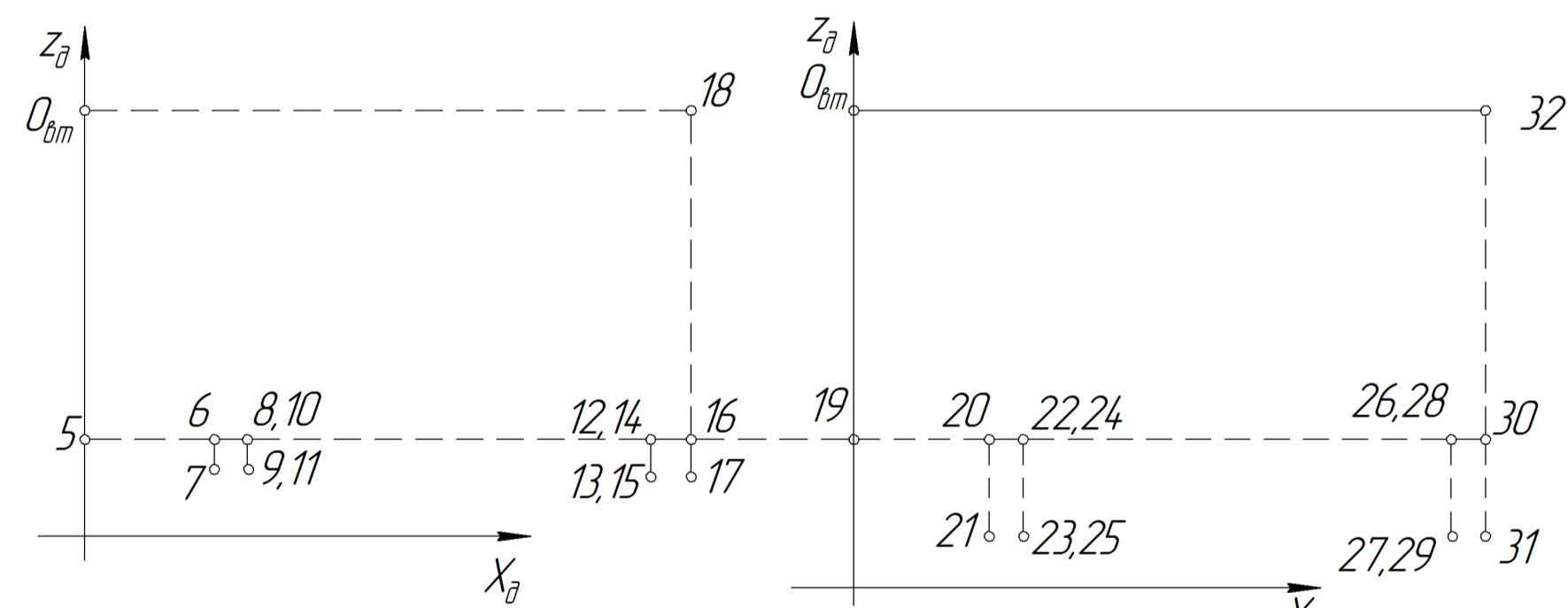
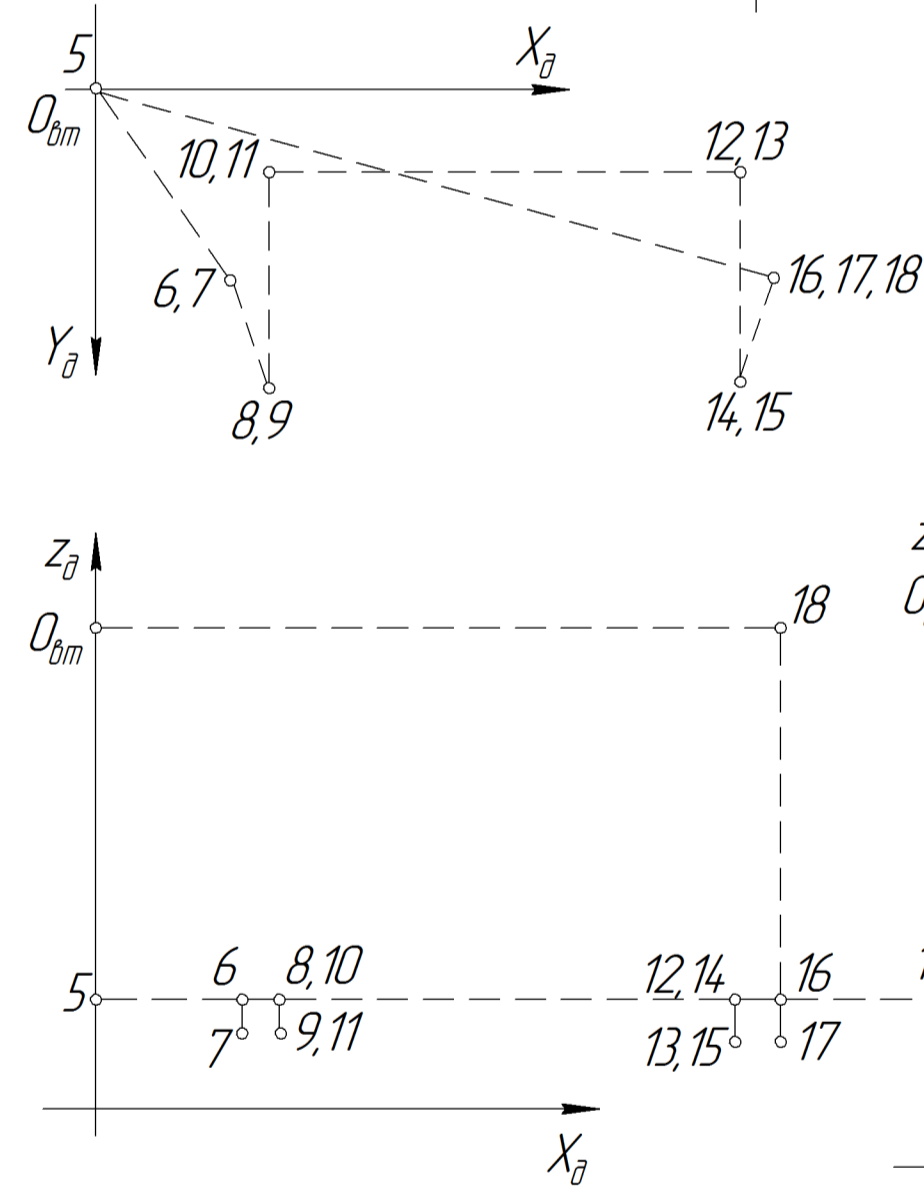
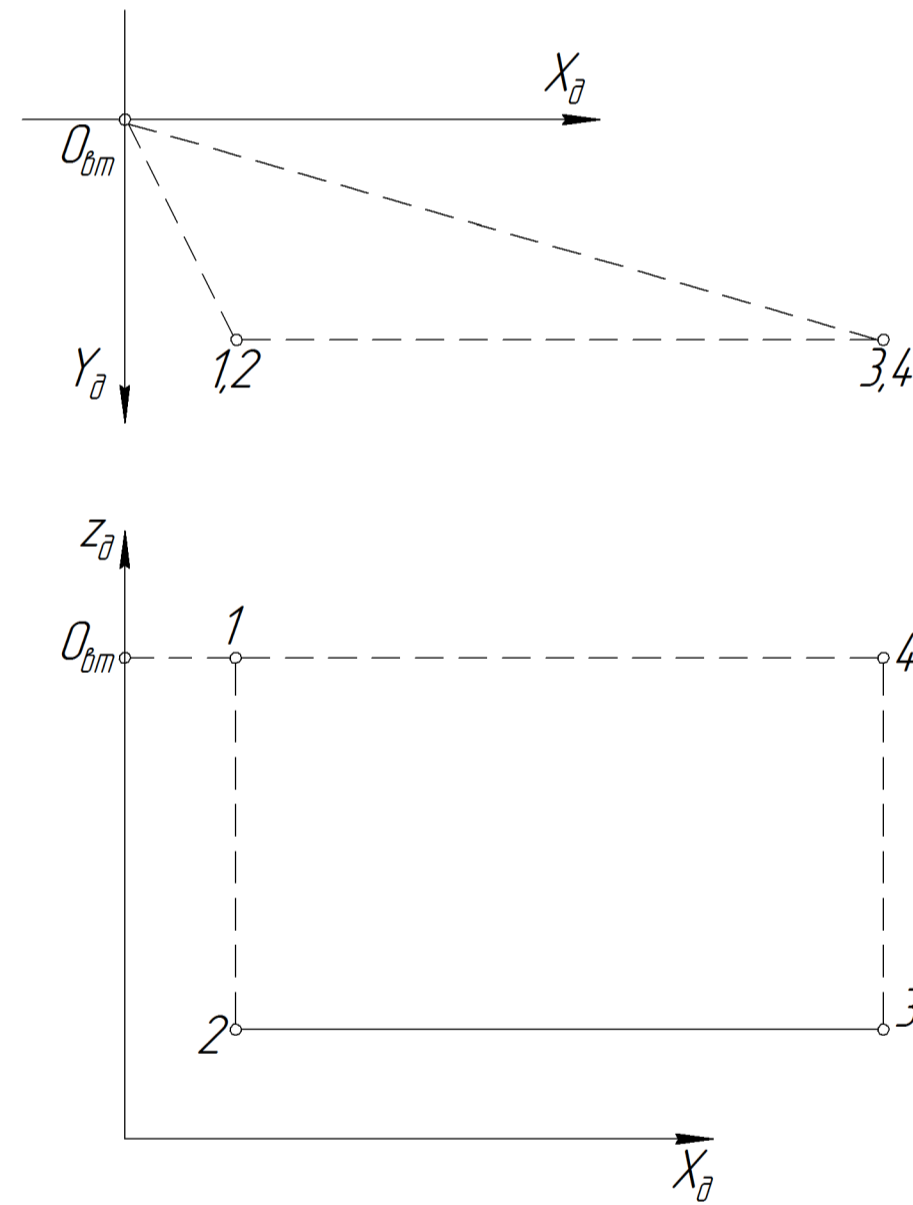
					МР.ПМК-628.03.00.000 ПЗ		
Зм.	Арк.	№ Докум.	Підпис	Дата	Пристрій свердлильний ІФНТУНГ ПМКм-23-1		
Розроб.	Вірстюк						
Перевір.	Шуляр						
Реценз.							
Н.контр.	Шуляр						
Затв.	Панчук				Літ	Аркуш	Аркушів
					н	1	3

Формат	Зона	Поз.	Позначення	Назва	Кільк	Примітка
				Документація		
A1			МР.ПМК-628.04.00.000 СК	Складальне креслення		
				<u>Складальні одиниці</u>		
				<u>Деталі</u>		
		1	МР.ПМК-628.04.00.001	Кронштейн		
		3	МР.ПМК-628.04.00.002	Повір очна плита	1	
		4	МР.ПМК-628.04.00.003	Гвинт	1	
		5	МР.ПМК-628.04.00.004	Індикаторна стійка	1	
		6	МР.ПМК-628.04.00.005	Гвинтовий затискач	1	
				<u>Стандартні деталі</u>		
		7		Гвинт М8-6g×16.05		
				ГОСТ 1491-90	2	
		2		Індикатор МИГП		
				ГОСТ 9696-82	1	

					МР.ПМК-628.04.00.000 ПЗ			
Зм.	Арк.	№ Докум.	Підпис	Дата				
Розроб.	Вірстюк				Пристрій контрольний	Літ	Аркуш	Аркушів
Перевір.	Шуляр					н	3	3
Реценз.						ІФНТУНГ ПМКМ-23-1		
Н.контр.	Шуляр							
Затв.	Панчук							



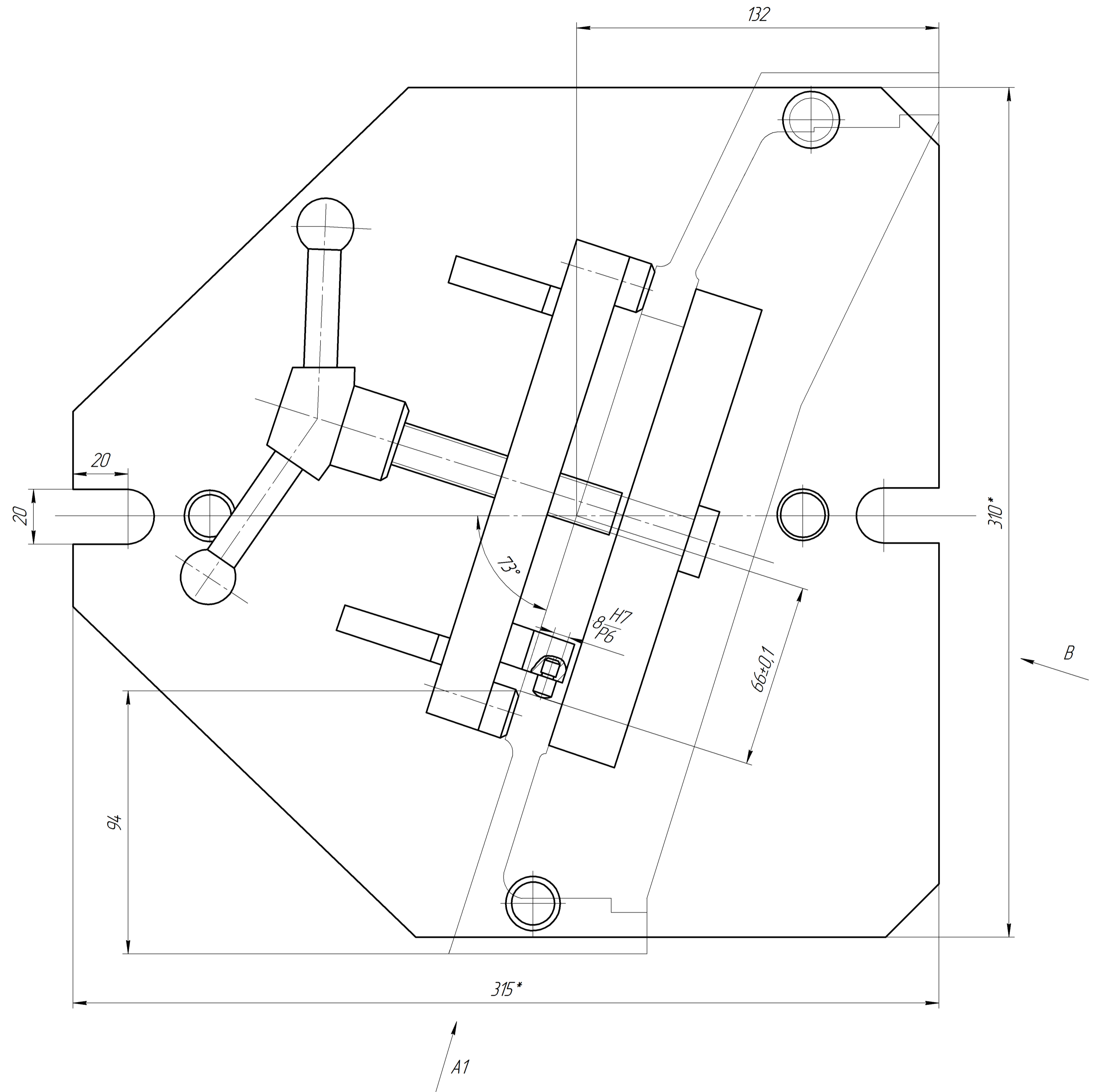
- Швидке переміщення
- Робочий хід



МР.ПМК-628.01.01.000 СХ				Карта налагодження		
Зм.	Арк.	№ Док.	Підп.	Дата	Лит.	Маса
Разраб.	Вістек				Н	-
Перев.	Шляр				Архив	Архив 1
Т.контр.	Шляр				ІФНТУНГ	
Н.контр.	Шляр				ПМКМ-23-1	
Затв.	Панчик					

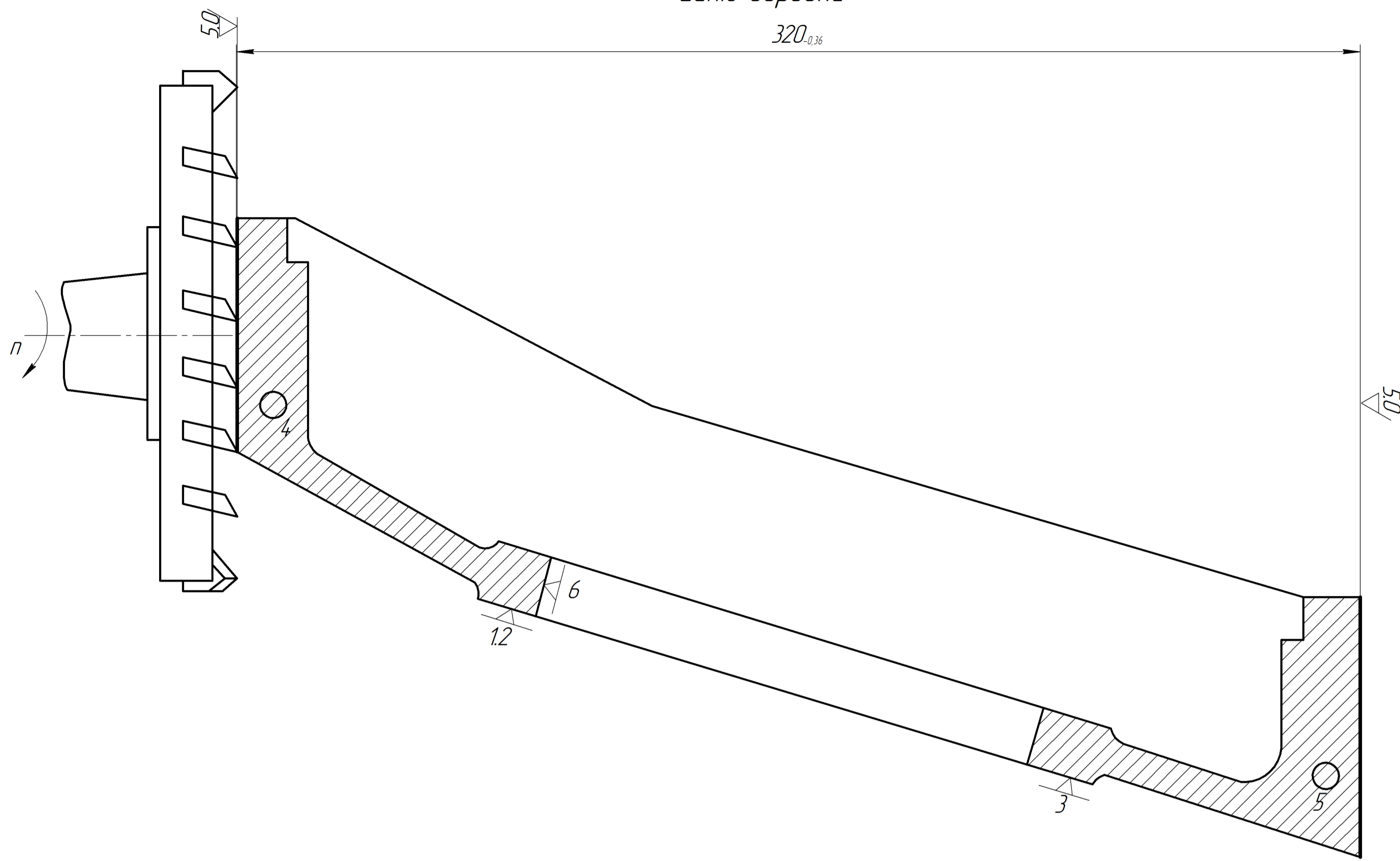
Розрахунково-технологічна карта

Деталь		Операція			Верстат			Система ЧПК			
Стойка КО-8.04.00.004		005 Фрезерна з ЧПК			мод. 6P13PФ3			H33-1M			
Геометрична пропорція					Технологічна інформація						
Ділянка траєкторії	Опорна сторона	X, мм	Y, мм	Z, мм	t, мм	S, мм/ад	S, мм/зуб	S, мм/хв	V, м/хв	n, хв ⁻¹	№ інстр
	0	0	0	400	-	-	-	24,00	-	-	T01
0-1	1	45	65	400	-	-	-	24,00	-	-	
1-2	2	45	65	152	-	-	-	24,00	-	-	
2-3	3	290	65	152	1,3	3,0	0,3	960	120,6	240	
3-4	4	290	65	400	-	-	-	24,00	-	-	
4-0	0	0	0	400	-	-	-	24,00	-	-	T02
0-5	5	0	0	186	-	-	-	24,00	-	-	
5-6	6	105	65	186	-	-	-	24,00	-	-	
6-7	7	105	65	175	2,1	1,1	-	220	27,5	200	
7-6	6	105	65	186	-	-	-	24,00	-	-	
6-8	8	108	31	186	-	-	-	24,00	-	-	
8-9	9	108	31	175	2,1	1,1	-	220	27,5	200	
9-8	8	108	31	186	-	-	-	24,00	-	-	
8-10	10	108	99	186	-	-	-	24,00	-	-	
10-11	11	108	99	175	2,1	1,1	-	220	27,5	200	
11-10	10	108	99	186	-	-	-	24,00	-	-	
10-12	12	274	99	186	-	-	-	24,00	-	-	
12-13	13	274	99	175	2,1	1,1	-	220	27,5	200	
13-12	12	274	99	186	-	-	-	24,00	-	-	
12-14	14	274	31	186	-	-	-	24,00	-	-	
14-15	15	274	31	175	2,1	1,1	-	220	27,5	200	
15-14	14	274	31	186	-	-	-	24,00	-	-	
14-16	16	277	65	186	-	-	-	24,00	-	-	
16-17	17	277	65	175	2,1	1,1	-	220	27,5	200	
17-16	16	277	65	186	-	-	-	24,00	-	-	
16-18	18	277	65	400	-	-	-	24,00	-	-	
18-0	0	0	0	400	-	-	-	24,00	-	-	T03
0-19	19	0	0	209	-	-	-	24,00	-	-	
19-20	20	105	65	209	-	-	-	24,00	-	-	
20-21	21	105	65	183	1,65	0,9	-	180	28	200	
21-20	20	105	65	209	-	-	-	24,00	-	-	
20-22	22	108	31	209	-	-	-	24,00	-	-	
22-23	23	108	31	183	1,65	0,9	-	180	28	200	
23-22	22	108	31	209	-	-	-	24,00	-	-	
22-24	24	108	99	209	-	-	-	24,00	-	-	
24-25	25	108	99	183	1,65	0,9	-	180	28	200	
25-24	24	108	99	209	-	-	-	24,00	-	-	
24-26	26	274	99	209	-	-	-	24,00	-	-	
26-27	27	274	99	183	1,65	0,9	-	180	28	200	
27-26	26	274	99	209	-	-	-	24,00	-	-	
26-28	28	274	31	209	-	-	-	24,00	-	-	
28-29	29	274	31	183	1,65	0,9	-	180	28	200	
29-28	28	274	31	209	-	-	-	24,00	-	-	
28-30	30	277	65	209	-	-	-	24,00	-	-	
30-31	31	277	65	183	1,65	0,9	-	180	28	200	
31-32	32	277	65	400	-	-	-	24,00	-	-	
32-0	0	0	0	400	-	-	-	24,00	-	-	T04
0-33	33	-5	129	400	-	-	-	24,00	-	-	
33-34	34	-5	129	160	-	-	-	24,00	-	-	
34-35	35	40	129	160	1,0	0,4	0,1	250	35,2	560	
35-36	36	40	135	160	-	-	-	24,00	-	-	
36-37	37	370	135	160	-	-	-	24,00	-	-	
37-38	38	370	129	160	-	-	-	24,00	-	-	
38-39	39	330	129	160	1,0	0,4	0,1	250	35,2	560	
39-40	40	330	135	160	-	-	-	24,00	-	-	
40-41	41	330	135	400	-	-	-	24,00	-	-	
41-0	0	0	0	400	-	-	-	24,00	-	-	



МР.ПМК-628.01.02.000 СХ				Лист	Маса	Масштаб
Розрахунково технологічна карта				Н		-
Зм. Арх.	№ Докм.	Підп.	Дата	Архив 1		
Розрад.	Вістек			ІФНТЧНГ		
Левоб.	Шляяр			ПМКМ-23-1		
Т.контр.	Шляяр					
Н.контр.	Шляяр					
Затв.	Ланчик					

Ескіз обробки



Гістограма похибок обробки

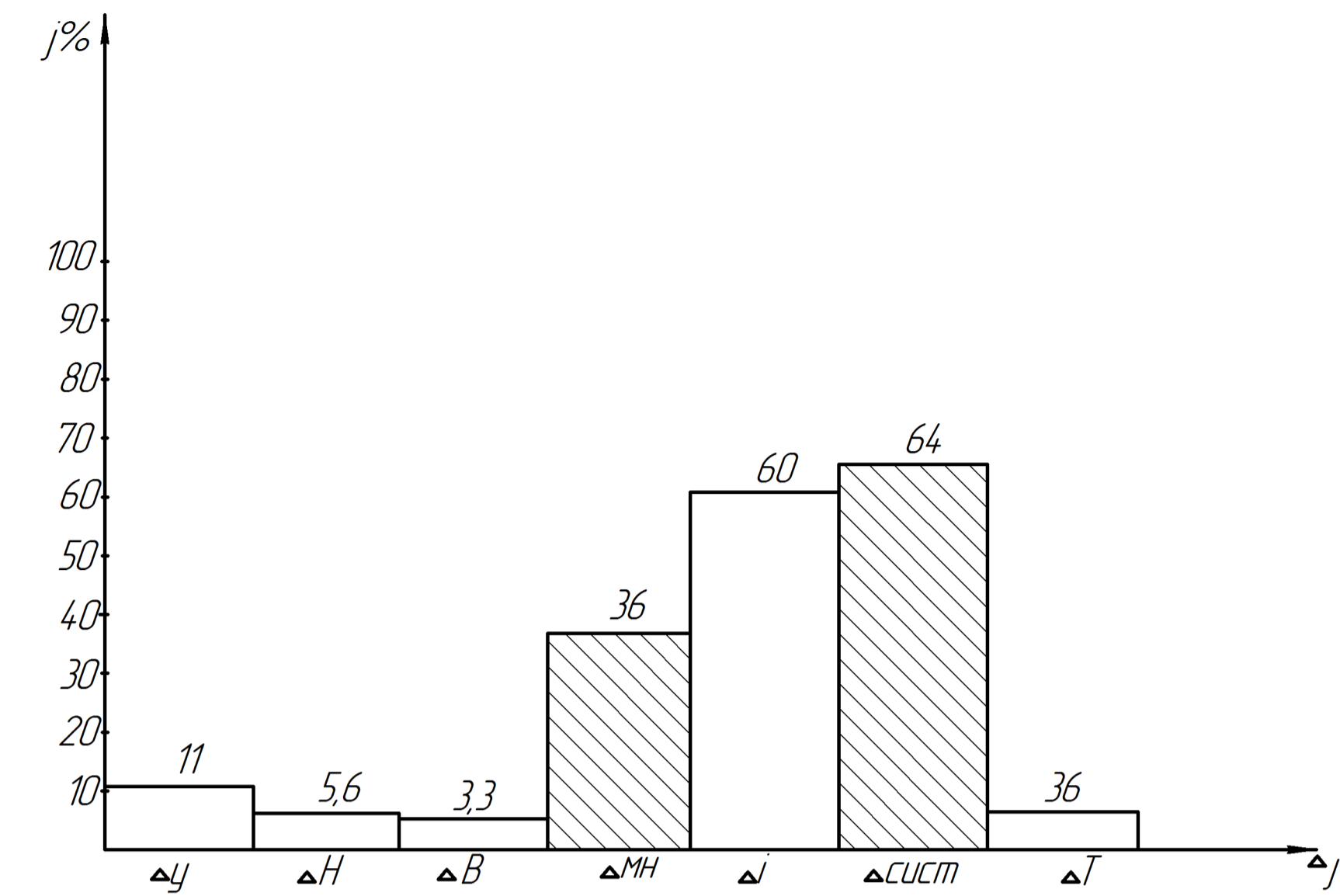
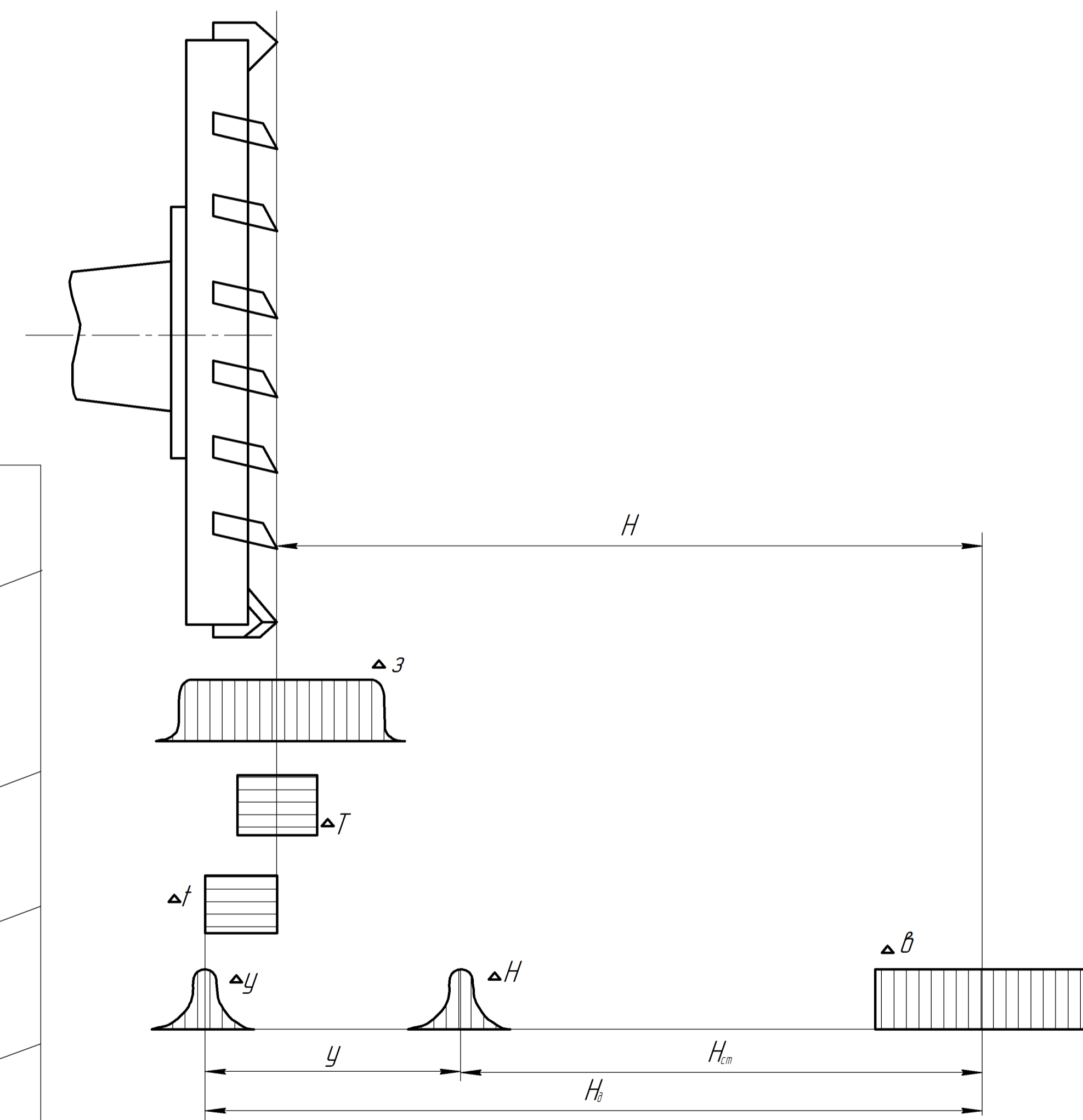
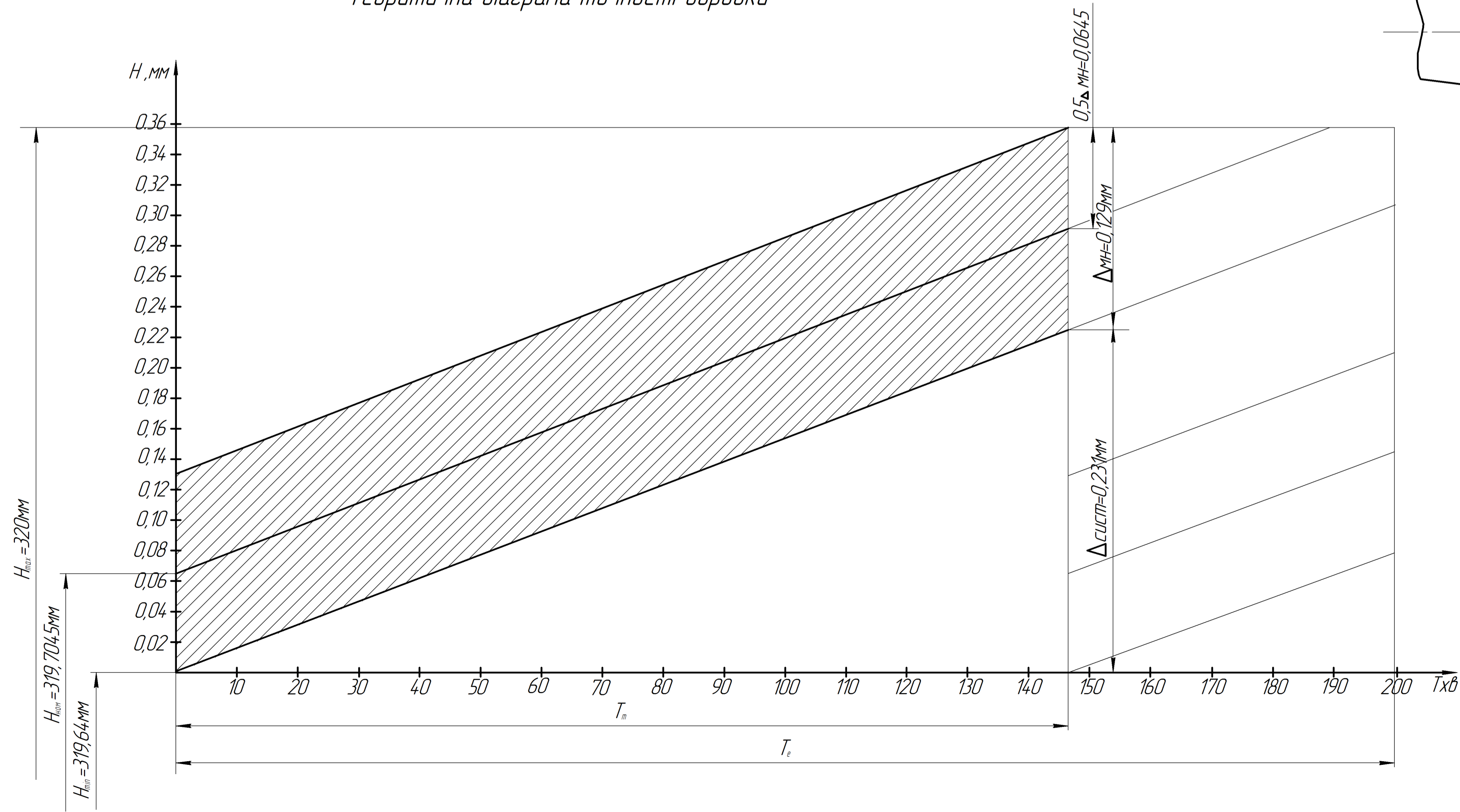


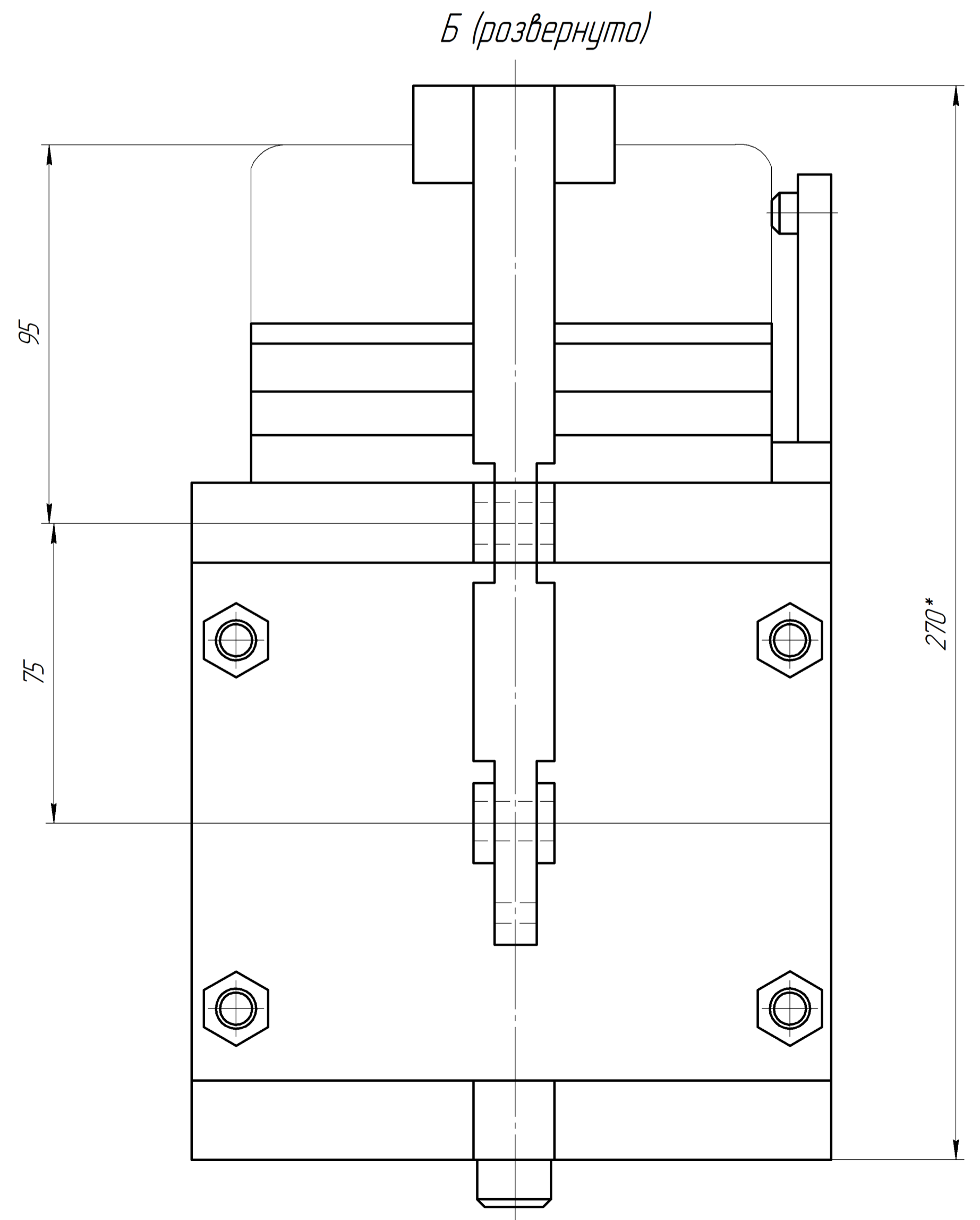
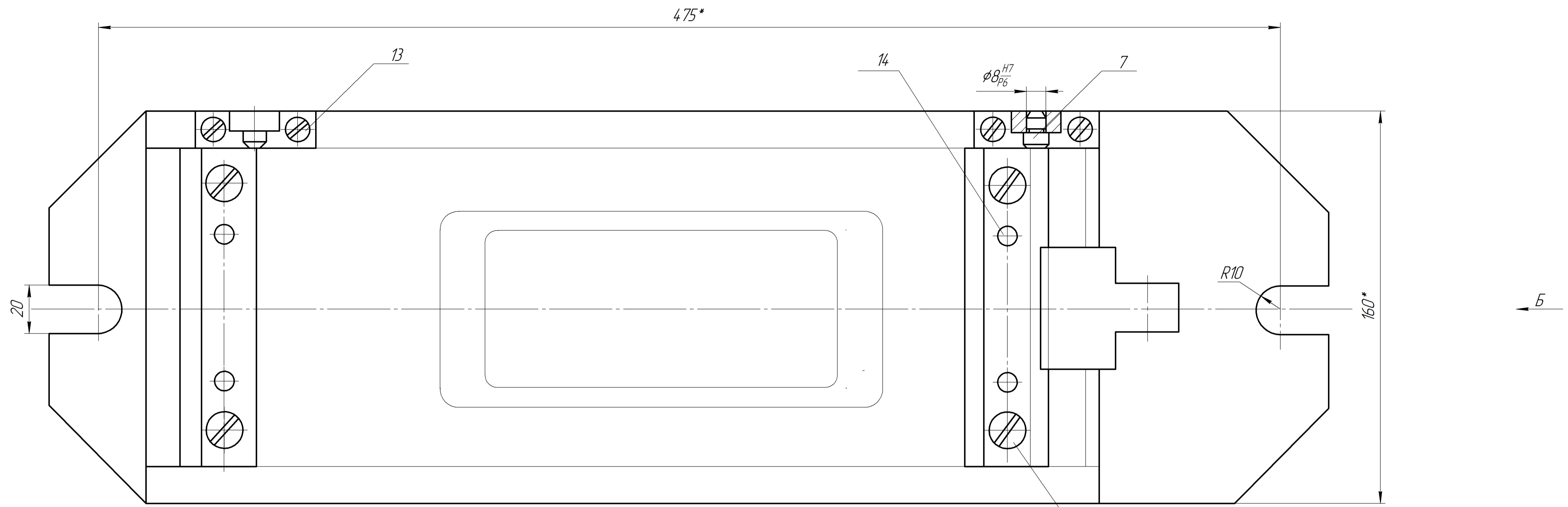
Схема технологічного розмірного ланцюга



Теоритична діаграма точності обробки



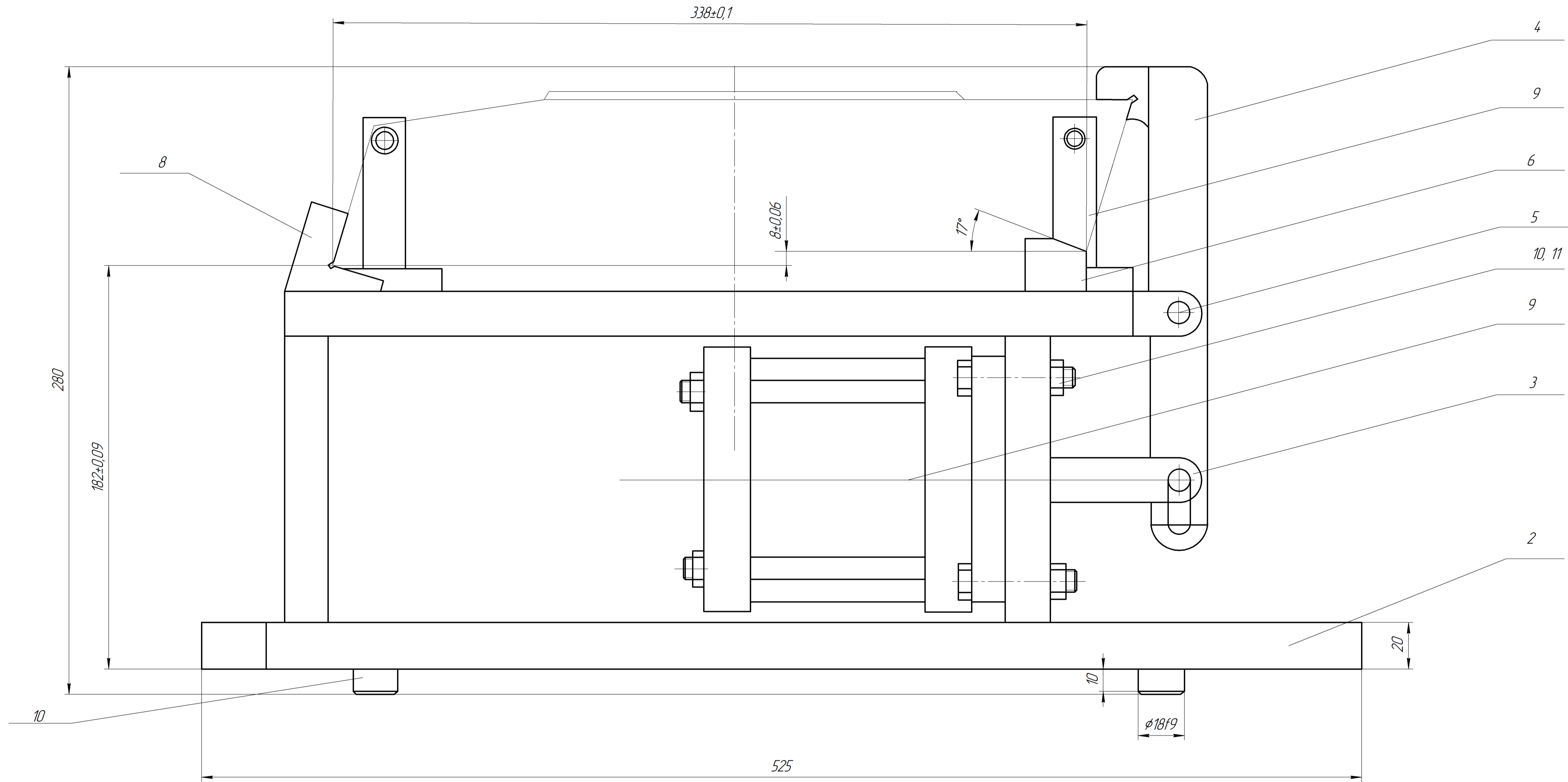
МР.ПМК-628.02.00.000 СХ				Лист	Маса	Масштаб
Аналіз точності				Н		-
				Архив 1		
Зм.	Арх.	№ Док.	Підп.	Дата		
Разр.	Вир.	Шлях				
Лев.	Шлях					
Т.контр.	Шлях					
Н.контр.	Шлях					
Затв.	Ланчик					



12

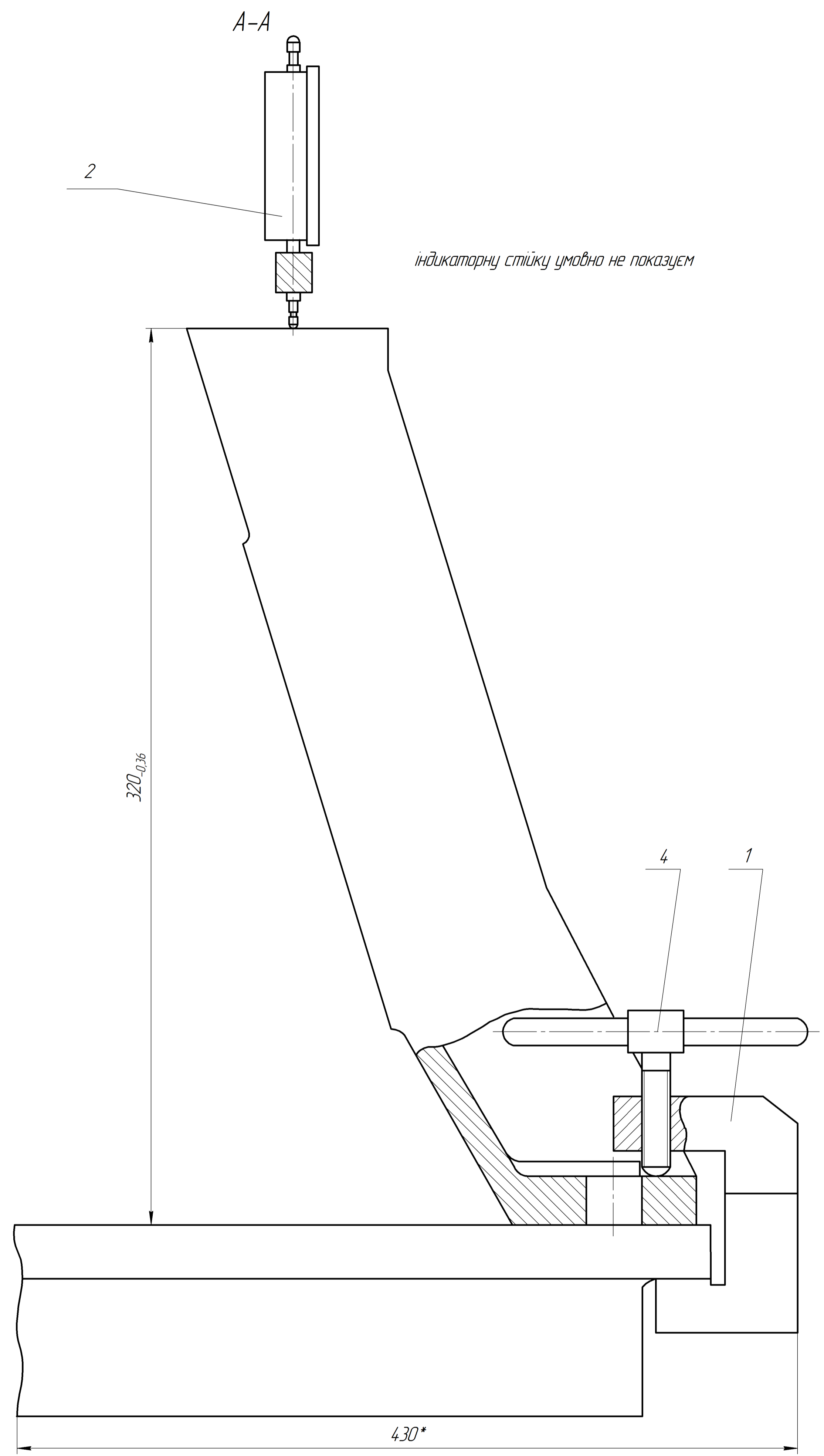
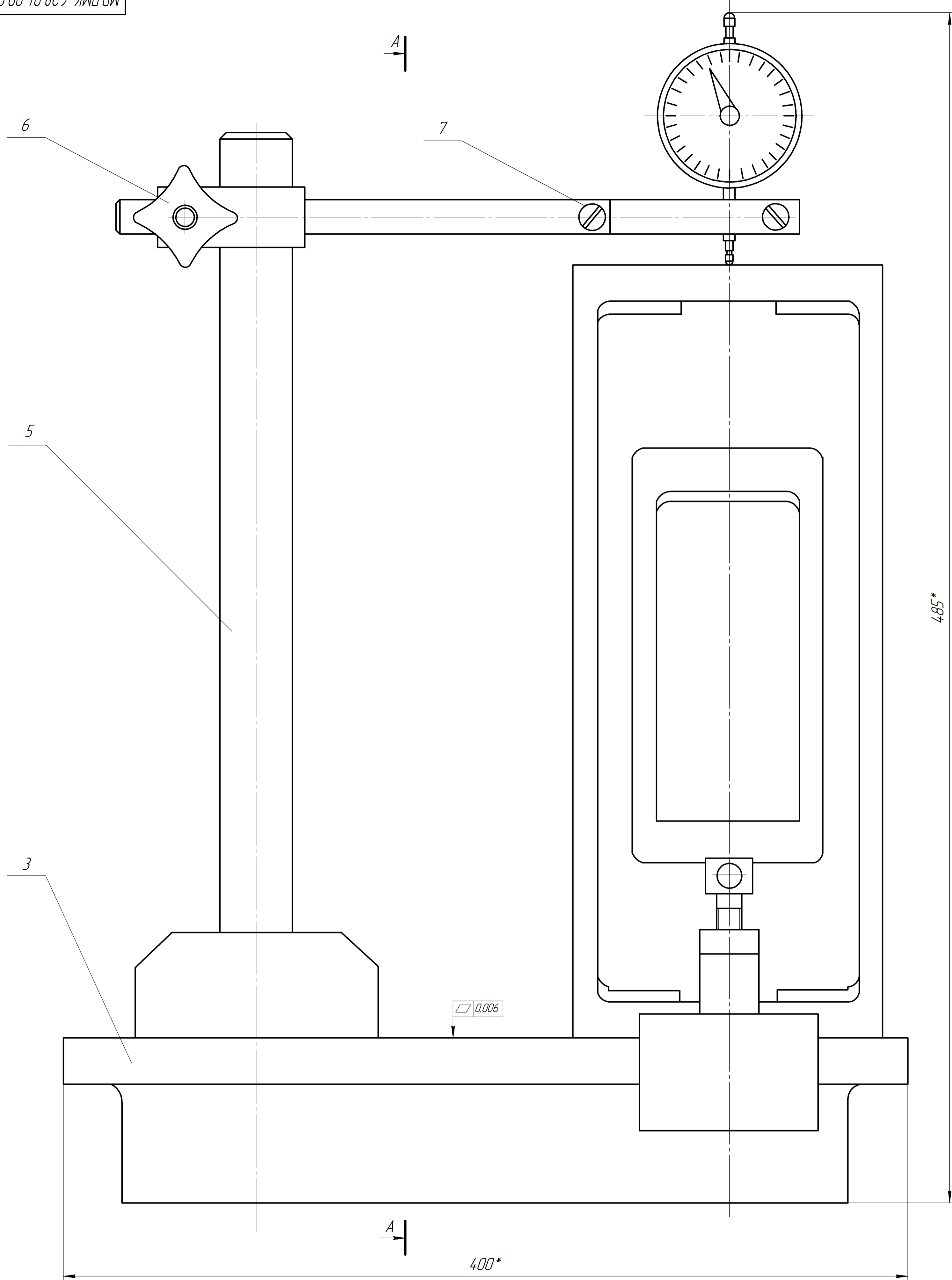
MP.ПМК-628.03.00.000 СК						Лит	Маса	Масштаб
Зм.	Арк.	№ Доким.	Підп.	Дата	Пристрій фрезерний з пневмоприводом			1:1
Розроб.	Вироб.				Н			
Перев.	Щляр				Аркш	Аркш	1	
Т.контр.	Щляр				ІФНТЧНГ			
Н.контр.	Щляр				ПМКМ-23-1			
Затв.	Панчик							

A (аркуш)



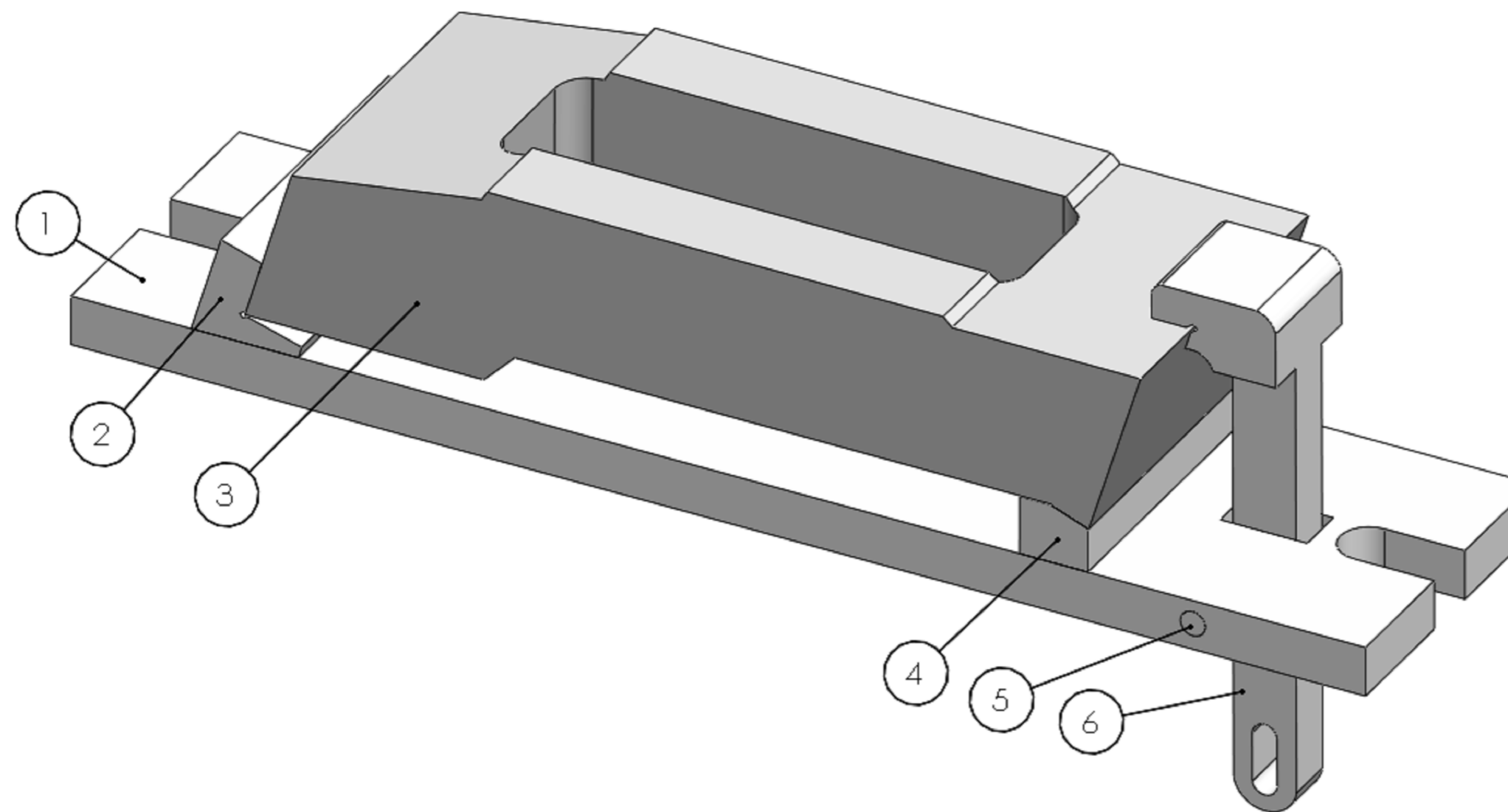
- 1* Розміри для довідок
- 2 Тиск повітря в мережі не менше 0,4 МПа
- 3 Неробочі поверхні фарбувати в зелений колір
- 4 Рух штока повинен бути плавним без заїдань
- 5 Маркувати МР.ПМК-628.03.00.000 СК
- 6 Зусилля закріплення 6180 Н

МР.ПМК-628.03.00.000 СК					Лист	Маса	Масштаб
Зм.	Арк.	№ Доким.	Підп.	Дата	Н		1:1
Розроб.	Вироб.						
Перев.	Шлях				Аркуш	Аркушів	1
Т.контр.	Шлях				ІФНТЧНГ		
Рецензент					ПМКМ-23-1		
Н.контр.	Шлях						
Затв.	Поччик						



1. Пристрій призначений для контролю паралельності площини E відносно Ж
2. Точність вимрювання 0,0094 мм.
3. Допустимі відхилення показів індикатора 0,05 мм.

				MP.ПМК-628.04.00.000 СК			
Зм.	Арк.	№ Доким.	Підп.	Дата	Лит	Маса	Масштаб
Розроб		Виробник			Н		1:1
Перев		Щляяр			Архив	Архив	1
Т.контр.		Щляяр			ІФНТЧНГ		
Н.контр.		Щляяр			ПМКМ-23-1		
Затв.		Панчик					



1 – плита; 2 – упор; 3 – деталь;
4 – опора; 5 – вісь; 6 – важіль

Рисунок 1 – Тривимірна модель для проведення імітаційного моделювання

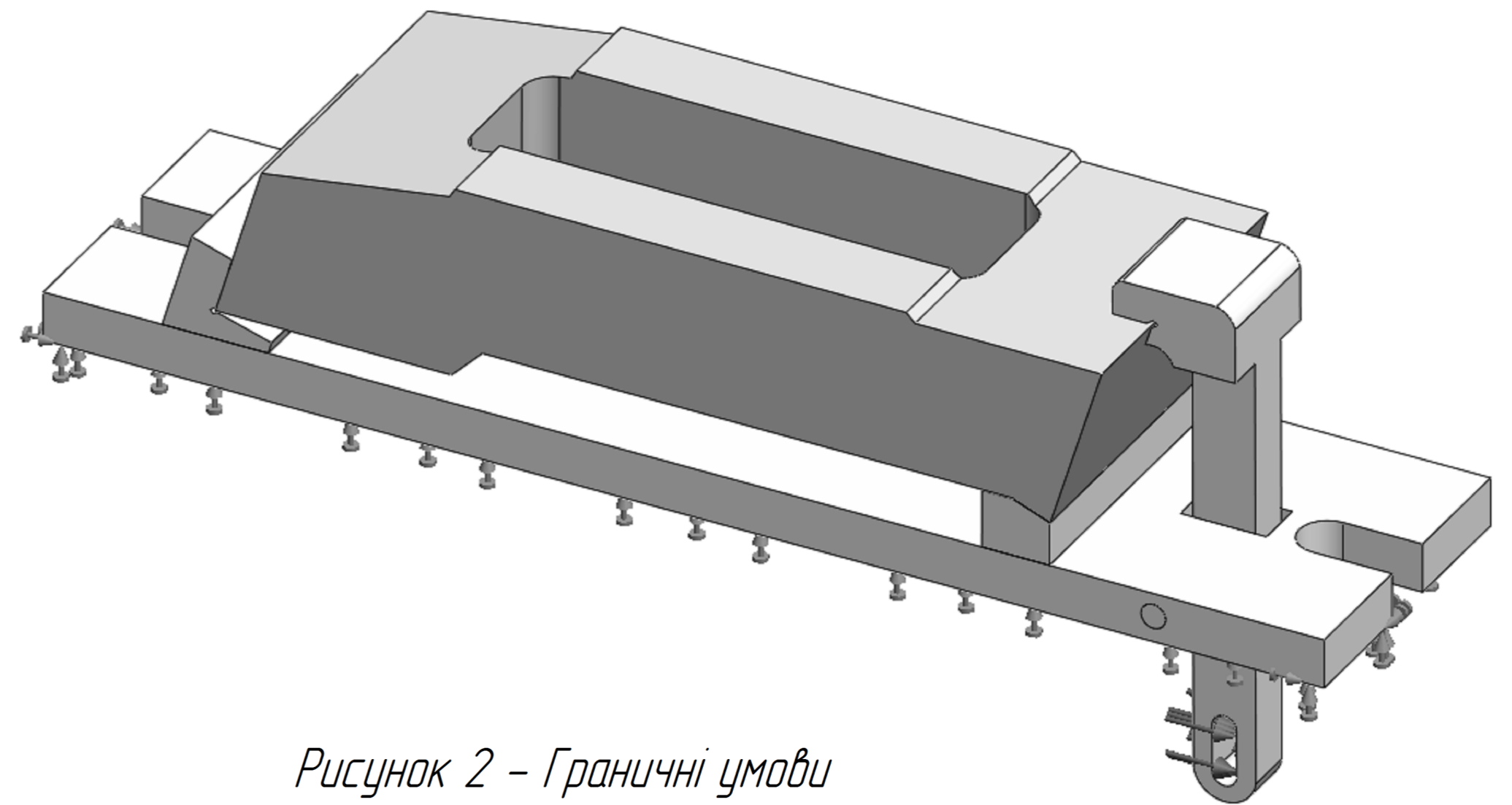


Рисунок 2 – Граничні умови

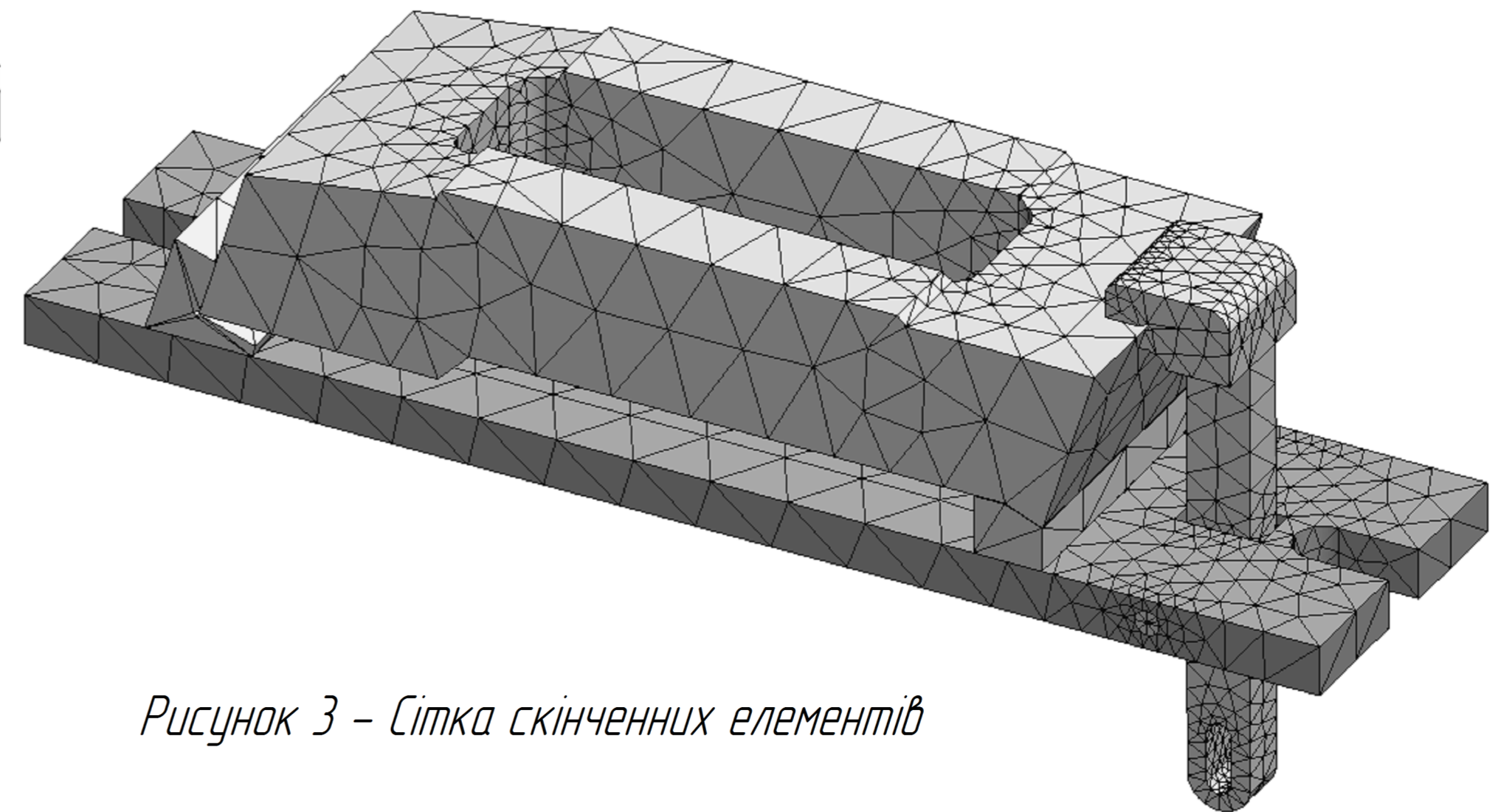


Рисунок 3 – Сітка скінченних елементів

				MP.ПМК-628.05.00.000 СХ			
Зм.	Арк.	№ Докум.	Підп.	Дата	Лит.	Маса	Масштаб
Разраб.		Вістюк			Н		-
Перев.		Шуляр			Аркциш	Аркциш	1
Т.контр.		Шуляр			ІФНТУНГ		
Н.контр.		Шуляр			ПМКм-23-1		
Затв.		Панчик					

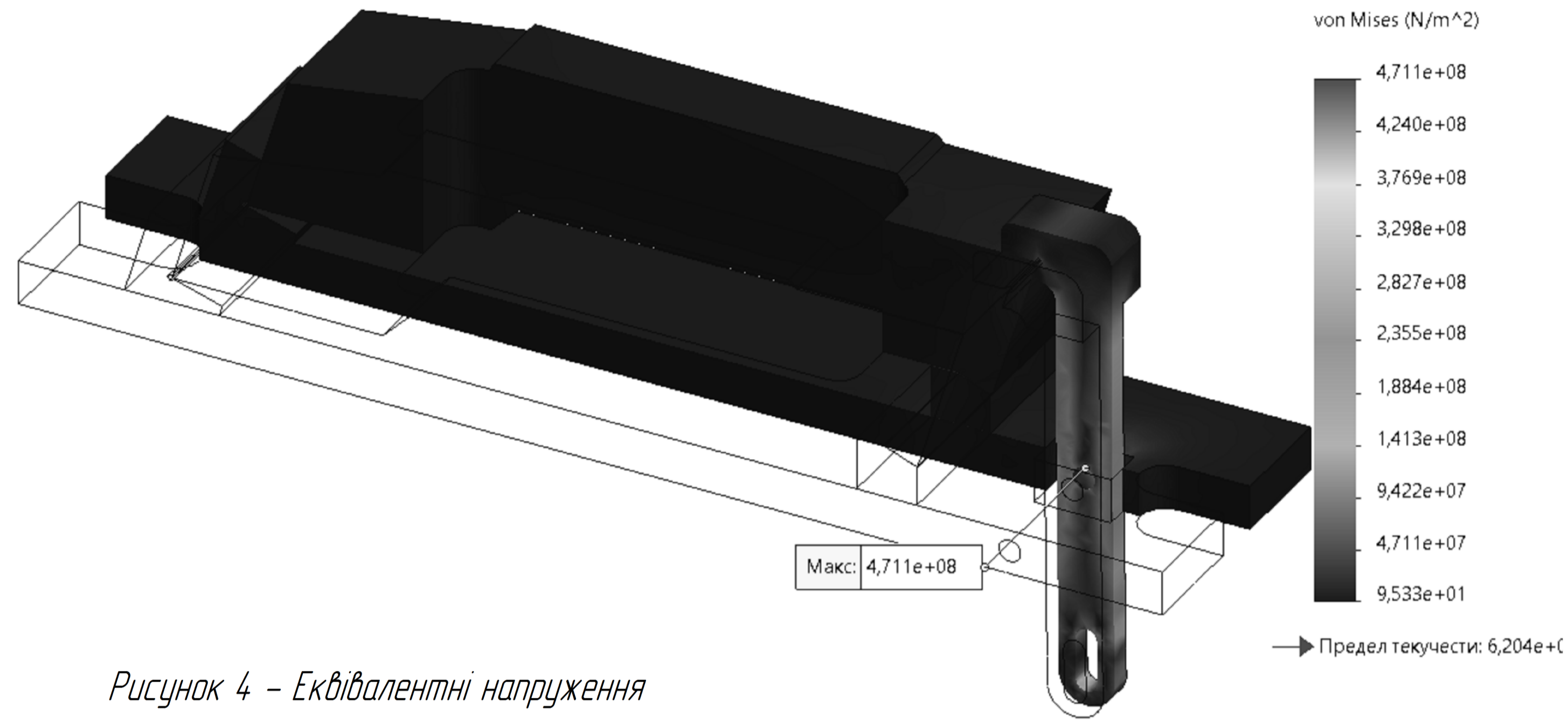


Рисунок 4 – Эквивалентні напруження

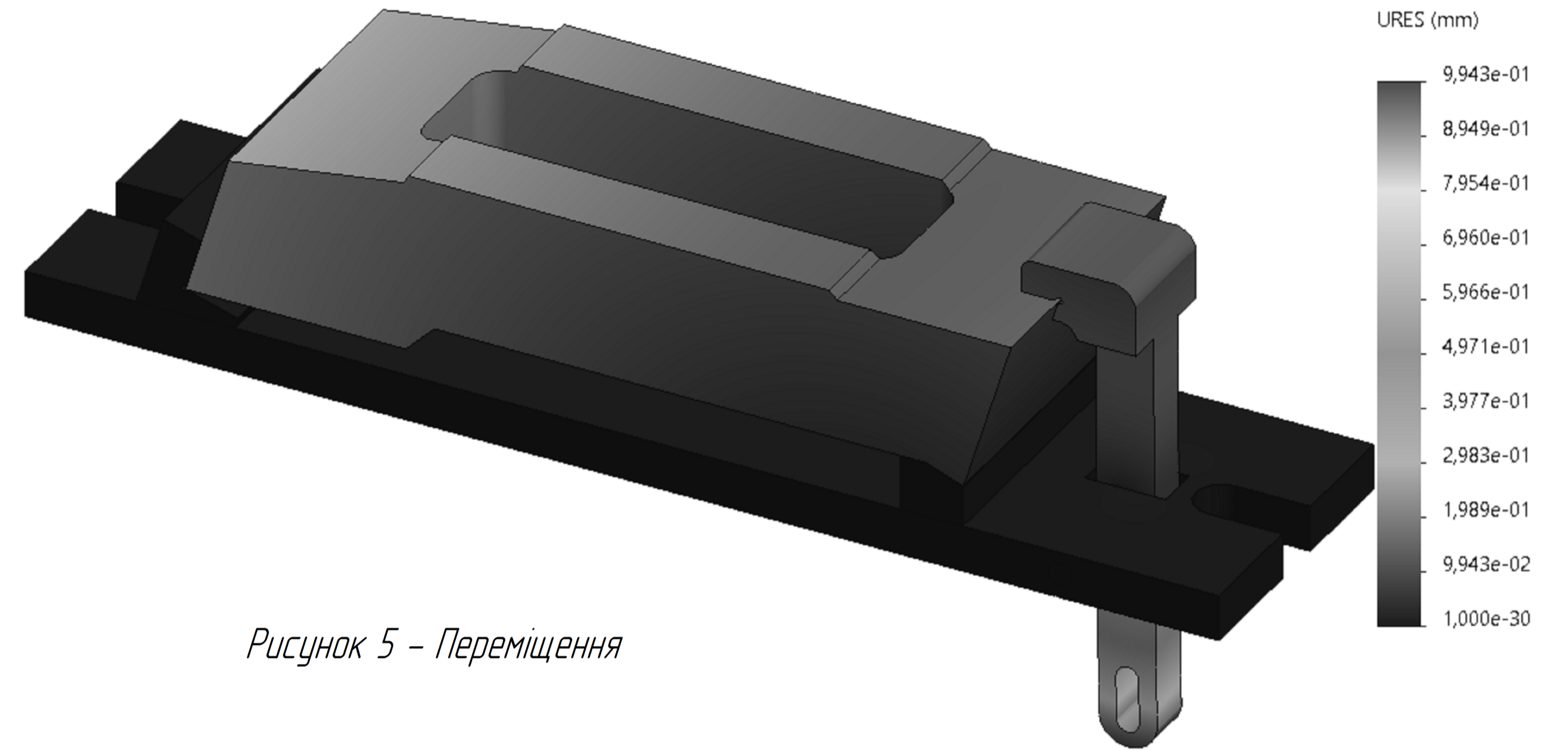


Рисунок 5 – Переміщення

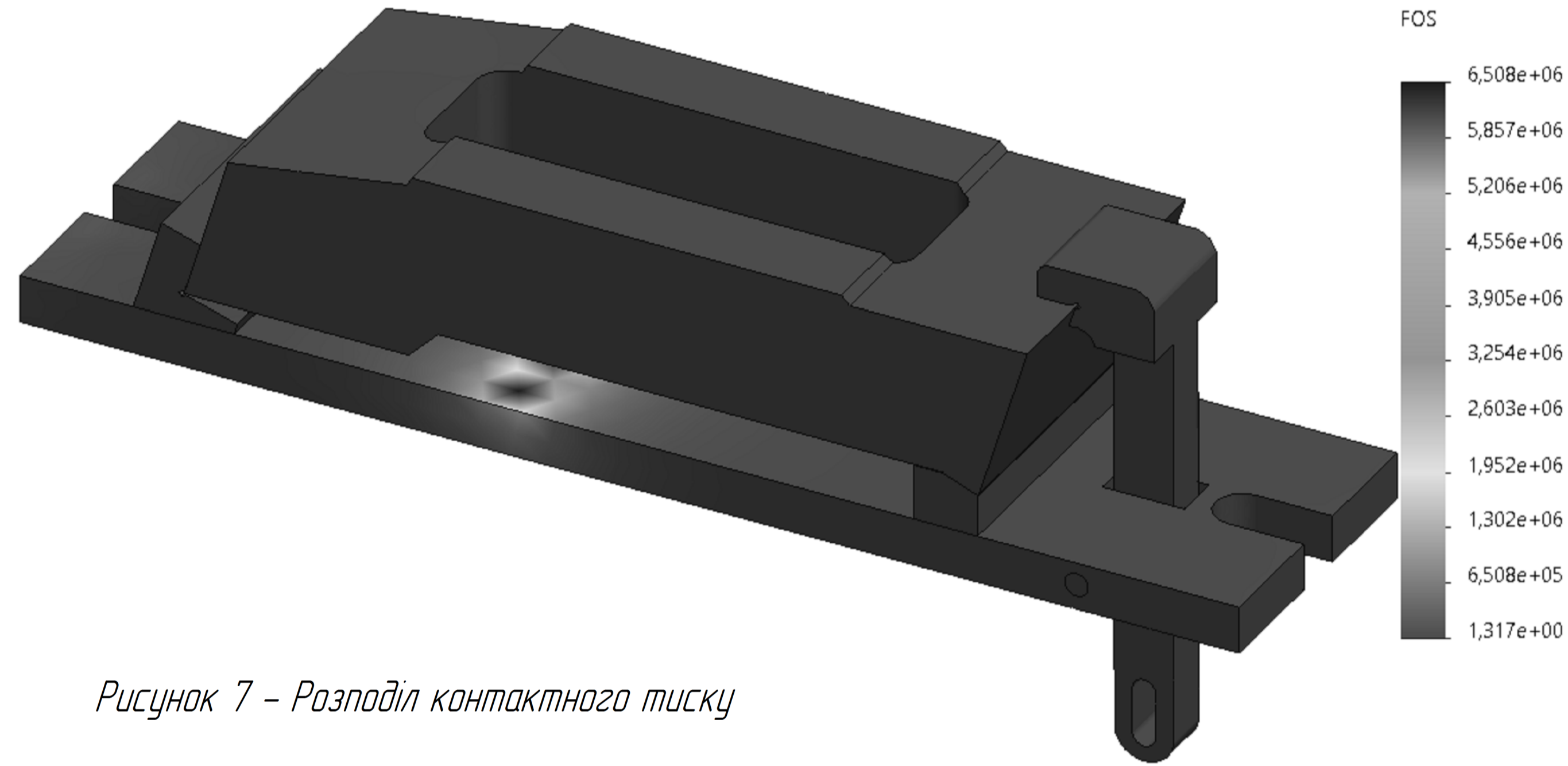


Рисунок 7 – Розподіл контактної тиску

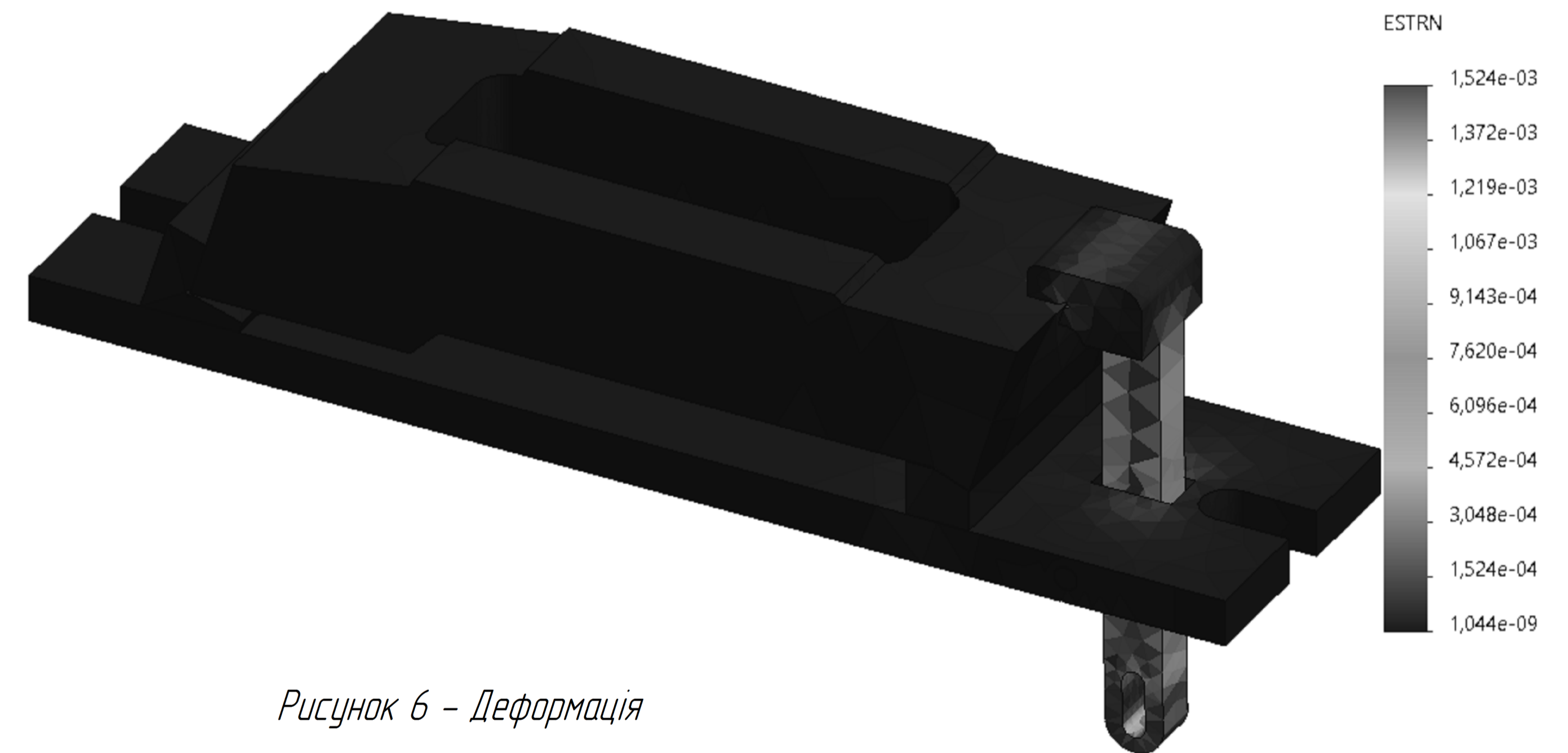


Рисунок 6 – Деформація

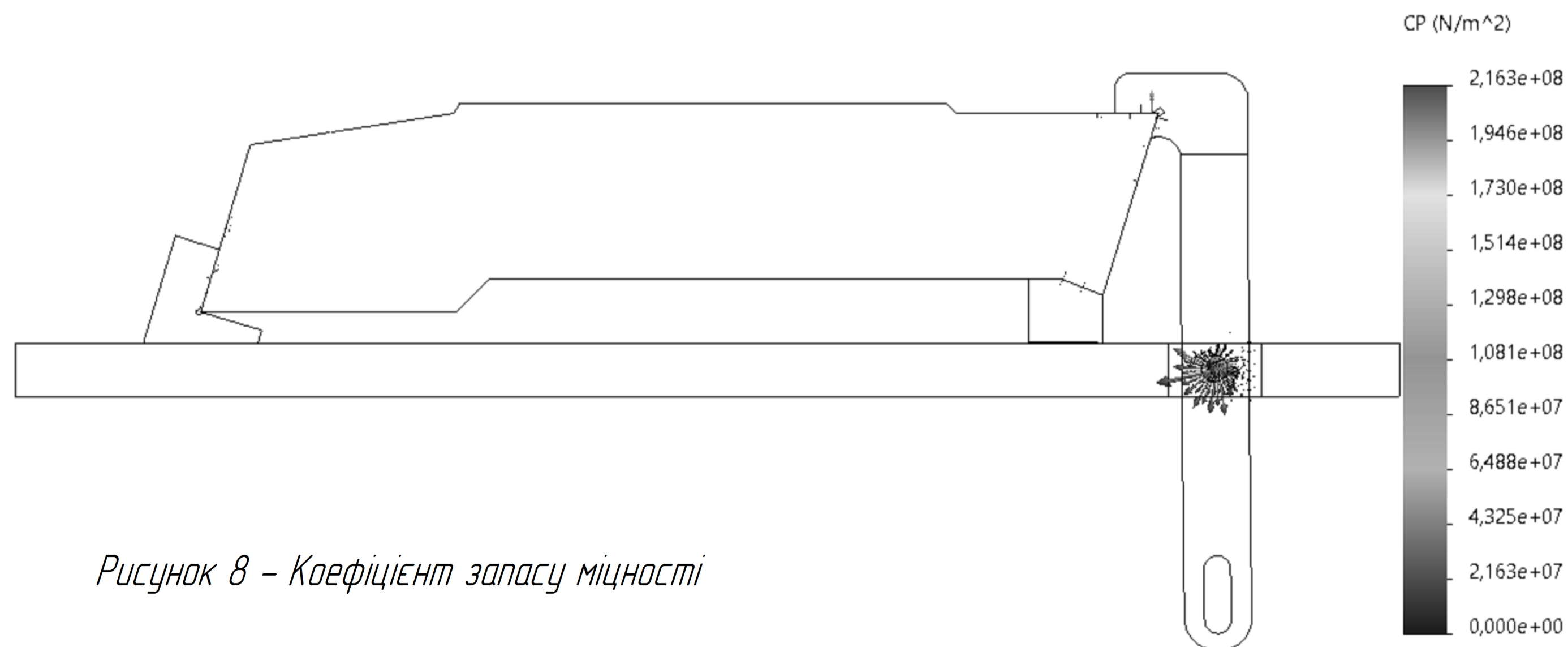


Рисунок 8 – Коефіцієнт запасу міцності

					MP.ПМК-628.06.00.000 СХ			
Зм.	Арх.	№ Доким.	Підп.	Дата	Імітаційне дослідження	Лит	Маса	Масштаб
Розроб.	Вістак					Н		-
Перев.	Щигляр				Архив	Архив	1	
Т.контр.	Щигляр				ІФНТУНГ ПМКМ-23-1			
Н.контр.	Щигляр							
Затв.	Панчик В.Г.							